

ເລີ່ມທູນ.....

ເອກະພາບ: ເບີຍນ.....

ວັນ ເດືອນ ປີ.....

## รายงานการวิจัย

# โครงการวิจัยเรื่อง อิทธิพลของสารกระตุนที่มีต่อหมู่หน้าที่และประสิทธิภาพในการดูดซับของถ่านกัมมันต์ที่ผลิตจากกาแฟ

Influence of Activating Agent on Functional Groups and Adsorption Efficiency of Activated Carbon derived from Coffee Residue

ຄະນະຜູ້ວິຈີຍ

ຜູ້ຂ່າວຍຄາສຕຣາຈາຮຍ໌ ດຣ. ໄຊຍັນຕໍ່ ໄຊຍະ

ຜູ້ຂ່າວຍຄາສຕຣາຈາຮຍ໌ ດຣ. ວຽກຮະນໍ ຈະກຸລຮັງສຣຄໍ

ຜູ້ຂ່າວຍຄາສຕຣາຈາຮຍ໌ ດຣ. ປັກມືພຍ໊ ຕັນທັບທຶນທອງ

RMUTK-CARIT



3 2000 00107834 6

โครงการวิจัยทุนสนับสนุนงานวิจัยของมหาวิทยาลัยเทคโนโลยีราชมงคลกรุงเทพ

งบประมาณแผ่นดิน ປີ พ.ສ. 2550

มหาวิทยาลัยเทคโนโลยีราชมงคลกรุงเทพ

## บทคัดย่อ

การกาแฟจากบริษัท ชาร่า ลี คอฟฟี่แอนด์ที (มอคโกน่า ประเทศไทย) ถูกนำมาประรูปเป็นถ่านกากาแฟด้วยกระบวนการคาร์บอนไซซ์ โดยการแปรผันอุณหภูมิ  $400\text{-}600^{\circ}\text{C}$  และเวลา 1-3 ชั่วโมง ผลวิเคราะห์แสดงให้เห็นพื้นที่ผิวสูงสุดเท่ากับ  $143 \text{ m}^2/\text{g}$  ที่สภาวะ  $600^{\circ}\text{C}$  เป็นเวลา 1 ชั่วโมง ตัวอย่างนี้ถูกนำมากระตุ้นต่อโดยใช้วิธีการกระตุ้นทางเคมีโดยใช้สารกระตุ้น 3 ชนิดได้แก่  $\text{ZnCl}_2$ ,  $\text{NaCl}$  และ  $\text{NaOH}$  โดยการแปรผันอุณหภูมิกระตุ้นที่  $500\text{-}700^{\circ}\text{C}$  และสัดส่วนโดยน้ำหนักระหว่างถ่านกากาแฟต่อสารกระตุ้นเป็น 1:0.5, 1:1 และ 1:1.5 ผลจากเครื่อง SEM แสดงให้เห็นว่า  $\text{ZnCl}_2$  และ  $\text{NaOH}$  สามารถทำให้ถ่านกัมมันต์มีขนาดครุพุนที่สม่ำเสมอ ในขณะที่ผลจากการดูดซับ  $\text{N}_2$  ที่อุณหภูมิ  $77 \text{ K}$  ด้วยเครื่อง Gas sorption analyzer แสดงให้เห็นพื้นที่ผิวที่สูงสุดคือ  $914 \text{ m}^2/\text{g}$  โดยการกระตุ้นด้วย  $\text{ZnCl}_2$  ที่สภาวะ  $600^{\circ}\text{C}$  และสัดส่วนโดยน้ำหนักเป็น 1:1 ในขณะที่  $\text{NaCl}$  และ  $\text{NaOH}$  ให้ค่าพื้นที่ผิวที่ใกล้เคียงกันที่  $300\text{-}330 \text{ m}^2/\text{g}$  โดยประมาณ นอกจากนี้ขนาดครุพุนเฉลี่ยถ่านกัมมันต์ที่เตรียมจาก  $\text{ZnCl}_2$  จะมีขนาดกว้างที่สุดคือ  $2.90\text{-}3.4 \text{ nm}$  ซึ่งอยู่ในช่วงของ Mesopore รองลงมาเป็น  $\text{NaOH}$  และ  $\text{NaCl}$  ซึ่งมีขนาด  $2.32 \text{ nm}$  และ  $1.40 \text{ nm}$  ตามลำดับ ในส่วนการวิเคราะห์ทางเคมีโดยใช้ FTIR พบรหัสทำหน้าที่บนผิวของถ่านที่เตรียมจากสารกระตุ้นทั้ง 3 ชนิดว่า มีหมู่ไฮดรอกซิล ( $\text{O-H}$ ) และหมู่คาร์บอนิก ( $\text{C=O}$ ) เป็นหลัก อย่างไรก็ได้ถ่านที่กระตุ้นด้วย  $\text{NaOH}$  ยังถูกพบโลหะตกค้างอยู่อันเนื่องมาจากการใช้อุณหภูมิในการกระตุ้นต่ำเกินไป



## ABSTRACT

The coffee residue from Sara Lee Coffee and Tea Company (Moccona, Thailand) was derived to charcoal by carbonization process under various conditions of temperature 400-600°C and 1-3 hours. The results showed the highest surface area was 143 m<sup>2</sup>/g at temperature 600°C for 1 h. This sample was processed by chemical activation using three types of activating agent as ZnCl<sub>2</sub>, NaCl and NaOH under various conditions of activating temperature 500-700°C and weight ratio between charcoals and activating agent as 1:0.5, 1:1 and 1:1.5. The SEM results showed ZnCl<sub>2</sub> and NaOH effect to the uniform of pore structure. The adsorption of N<sub>2</sub> at 77K of gas sorption analyzer demonstrated that the highest surface was 914 m<sup>2</sup>/g by using ZnCl<sub>2</sub> under condition 600°C and 1:1 weight ratio. While, the NaCl and NaOH effect to the same amount of surface area as 300-330 m<sup>2</sup>/g, approximately. Additional, the average pore diameter of activated carbon prepared from ZnCl<sub>2</sub> was the largest size as 2.90-3.40 nm and was in range of mesopore. The average pore diameter of activated carbon prepared from NaOH and NaCl were as 2.32 and 1.40 nm, respectively. The result of FTIR showed the poses of stretching of hydroxyl (O-H) and Carbonyl (C=O) groups on each samples. However, the trace metal (COO-M) was found on the surface of activated carbon prepared from NaOH since the activating temperature is too low.

## กิตติกรรมประกาศ

ขอขอบคุณมหาวิทยาลัยเทคโนโลยีราชมงคลกรุงเทพ ที่ได้สนับสนุนทุนวิจัยงบประมาณ  
แผ่นดินประจำปี พ.ศ. 2550



## สารบัญ

	หน้า
กิตติกรรมประกาศ	๑
บทคัดย่อ	๒
ABSTRACT	๓
สารบัญ	๔
รายการตาราง	๕
รายการรูป	๖
<b>บทที่</b>	
<b>1. บทนำ</b>	<b>1</b>
1.1 ความเป็นมาและความสำคัญของปัจุหานิยม	1
1.2 วัตถุประสงค์ของงานวิจัย	2
1.3 ขอบเขตของงานวิจัย	2
1.4 ประโยชน์ที่คาดว่าจะได้รับ	2
<b>2. ทบทวนวรรณกรรม</b>	<b>3</b>
2.1 การไฟฟ้า	3
2.2 ถ่านกัมมันต์	6
<b>3. วิธีการวิจัย</b>	<b>20</b>
3.1 วัสดุและอุปกรณ์	20
3.2 ขั้นตอนการผลิตถ่านกัมมันต์	22
3.3 วิธีการทดสอบสมบัติถ่านกัมมันต์	23
<b>4. ผลการทดลองและอภิปรายผล</b>	<b>24</b>
4.1 อิทธิพลของอุณหภูมิการ์โนไนซ์ที่มีต่อผลได้ และพื้นที่ผิวของถ่านกาฟกาไฟฟ้า	24
4.2 ผลจากเครื่อง SEM	28
4.3 ผลจากเครื่อง Gas Sorption Analyzer	37
4.4 ผลจากเครื่อง Fourier transforms infrared	39
<b>5. สรุปผลการวิจัยและขอเสนอแนะ</b>	<b>42</b>
5.1 สรุปผลการวิจัย	42

บทที่	หน้า
5.2 ข้อเสนอแนะ	43
บรรณานุกรม	44
ภาคผนวก	47
ประวัติคณะกรรมการวิจัย	54



## รายการตาราง

ตาราง	หน้า
2.1 ข้อแตกต่างของการเพฟพันธุ์โรบสตาและพันธุ์อาราบิกา	4
2.2 สมบัติทางกายภาพของซิงค์คลอไรค์	12
2.3 สมบัติของหมู่ทำหน้าที่	16
4.1 ผลได้พื้นที่ผิว ความหนาแน่นจริง และความหนาแน่นปรากฏ ของถ่านจากการเพฟ จากการครึ่โอบในเซชัน	26
4.2 สัญลักษณ์แทนถ่านกัมมันต์ในแต่ละสภาพ	27
4.3 ข้อมูลทางกายภาพของถ่านกัมมันต์แต่ละสภาพการผลิต	38

## รายการรูป

รูป	หน้า
2.1 ส่วนประกอบต่างๆ ของเมล็ดกาแฟ	3
2.2 กระบวนการผลิตกาแฟสำเร็จรูป	5
2.3 กระบวนการผลิตถ่านกัมมันต์	7
2.4 ตัวอย่างหมู่หน้าที่บนผิวถ่านกัมมันต์	15
3.1 ลักษณะของกาแกแฟ	21
3.2 Tube Furnace	21
3.3 Chamber Furnace	22
4.1 อิทธิพลของอุณหภูมิที่มีต่อผลได้ของถ่านกาแกแฟที่เวลาต่างๆ	24
4.2 อิทธิพลของอุณหภูมิที่มีต่อพื้นที่ผิวของถ่านกาแกแฟที่เวลาต่างๆ	25
4.3 SEM ของ 0.5Zn500	28
4.4 SEM ของ 1Zn500	28
4.5 SEM ของ 1.5Zn500	29
4.6 SEM ของ 0.5Zn600	29
4.7 SEM ของ 1Zn600	29
4.8 SEM ของ 1.5Zn600	30
4.9 SEM ของ 0.5Zn700	30
4.10 SEM ของ 1Zn700	30
4.11 SEM ของ 1.5Zn700	31
4.12 SEM ของ 0.5NaCl500	31
4.13 SEM ของ 1NaCl500	31
4.14 SEM ของ 1.5NaCl500	32
4.15 SEM ของ 0.5NaCl600	32
4.16 SEM ของ 1NaCl600	32
4.17 SEM ของ 1.5NaCl600	33
4.18 SEM ของ 0.5NaCl700	33
4.19 SEM ของ 1NaCl700	33

## รายการรูป

รูป

หน้า

4.20 SEM ของ 1.5NaCl700	34
4.21 SEM ของ 0.5NaOH500	34
4.22 SEM ของ 1NaOH500	34
4.23 SEM ของ 1.5NaOH500	35
4.24 SEM ของ 0.5NaOH600	35
4.25 SEM ของ 1NaOH600	35
4.26 SEM ของ 1.5NaOH600	36
4.27 SEM ของ 0.5NaOH700	36
4.28 SEM ของ 1NaOH700	36
4.29 SEM ของ 1.5NaOH700	37
4.30 FTIR สเปกตรัมของถ่านกัมมันต์กระดุnnด้วย $ZnCl_2$	39
4.31 FTIR สเปกตรัมของถ่านกัมมันต์กระดุnnด้วย NaCl	40
4.32 FTIR สเปกตรัมของถ่านกัมมันต์กระดุnnด้วย NaOH	41
A1 แบบจำลองการดูดซับโนเกลูลาชชัน	47
A2 The BET model for adsorption	47

## บทที่ 1

### บทนำ

บทนี้จะกล่าวถึงความเป็นมาและความสำคัญของปัจจุบัน วัตถุประสงค์ ขอบเขตของงานวิจัย และประโยชน์ที่ได้รับจากการวิจัยนี้

#### 1.1 ความเป็นมา และความสำคัญของปัจจุบัน

ในกระบวนการดูดซับ ถ่านกัมมันต์เป็นวัสดุหนึ่งที่มักจะถูกใช้ในกระบวนการ โดยเฉพาะอย่างยิ่งในส่วนของ เช่น การบำบัดของเสียจากโรงงานอุตสาหกรรม (Water treatment) ทั้งในรูปของเหลว และแก๊ส ซึ่งมักจะปราศจากน้ำที่มีสารต้องการแยก (Separation) และการกรอง (Filtration) เป็นต้น ซึ่งประสิทธิภาพในการ ดูดซับของถ่านกัมมันต์ขึ้นอยู่กับปัจจัยหลายประการ เช่น อุณหภูมิ ในการดูดซับ อัตราการป้อนสารถูกดูดซับ โครงสร้างทางกายภาพของถ่านกัมมันต์ และประเภทของหมู่หน้าที่บนผิวของถ่านกัมมันต์ เป็นต้น ซึ่งโดยปกติแล้วโครงสร้างทางกายภาพของถ่านกัมมันต์มักจะขึ้นอยู่กับวัตถุคุณภาพที่ถูกนำมาใช้ ในขณะที่ ประเภทของหมู่หน้าที่มักจะขึ้นอยู่กับ สารเคมีที่ถูกนำมาใช้ในกระบวนการกระตุ้น ซึ่งจากการวิจัยก่อนหน้ามีการนำสารเคมีหลากหลายชนิดมาใช้เป็นสารกระตุ้น ทั้งสารประเภทกรด ( $HCl$ ,  $H_3PO_4$ ) ประเภทเบส ( $NaOH$ ,  $KOH$ ) ซึ่งสารกระตุ้นที่แตกต่างกันนี้จะส่งผลให้ถ่านกัมมันต์ที่ผลิตได้มีความหลากหลายของหมู่หน้าที่ อันจะนำไปสู่การนำไปประยุกต์ใช้ในการดูดซับได้หลากหลายมากขึ้น ประกอบกับในงานวิจัยนี้มุ่งที่จะใช้การแฝง เป็นวัตถุคุณภาพในการผลิตเป็นถ่านกัมมันต์ ซึ่งนอกจาก จะเป็นวัสดุที่เหลือทิ้งจากอุตสาหกรรม เป็นปริมาณมากๆ ต่อปีแล้ว ภาคการแฝงมีความหลากหลายของหมู่หน้าที่ซึ่งปราศจากน้ำที่ได้รับจากการวิเคราะห์ด้วยเครื่อง FTIR ถึง 5 ชนิด ประกอบไปด้วย Hydroxyl Group, Amide Group, Carboxyl Group, Ether Group และ Amine Group จากพื้นฐานดังกล่าว นี่ส่งผลให้ภาคการแฝงเป็นวัสดุที่มีความน่าสนใจในการนำมาทดสอบ ด้วยการกระตุ้นด้วยสารกระตุ้นที่มีความแตกต่างกัน ซึ่งคุณภาพที่ได้รับคือถ่านกัมมันต์ที่ผลิตได้แต่ละสภาวะ น่าจะมีความสามารถในการดูดซับสารที่แตกต่างกันไป เช่น สารมีข้าว สารไม่มีข้าว สี หรือไอโอดินิดต่างๆ เป็นต้น ในงานวิจัยนี้ได้ทดลองผลิตถ่านกัมมันต์โดยใช้วิธีทางเคมี โดยแบ่งเป็นด้วยประเภทๆ ที่น่าจะมีผลต่อสมบัติของถ่านกัมมันต์ ได้แก่ สารเคมีที่ใช้กระตุ้น ปริมาณของสารกระตุ้น อุณหภูมิและเวลาที่ใช้ในการกระตุ้น ซึ่งน่าจะทำให้ได้ถ่านกัมมันต์ที่มีสมบัติแตกต่างกันออกไป ในเชิงหมุ่ทำหน้าที่ที่ปราศจากน้ำที่ได้รับจากการวิจัย

## 1.2 วัตถุประสงค์ของงานวิจัย

- 1.2.1 เพื่อผลิตถ่านกัมมันต์จากกาแฟ
- 1.2.2 เพื่อศึกษาผลของสารกระดูกและเบส ที่มีต่อหมู่หน้าที่และความสามารถในการคุณชับของถ่านกัมมันต์ที่ผลิตได้
- 1.2.3 เพื่อทดสอบสมบัติของถ่านกัมมันต์ที่ผลิตได้ เช่น ค่าพื้นที่ผิว ขนาดเส้นผ่านศูนย์กลางรูพรุนเฉลี่ย หมู่หน้าที่ และความสามารถในการคุณชับ

## 1.3 ขอบเขตของงานวิจัย

การกาแฟจากโรงงานผลิตกาแฟสำเร็จรูปจะถูกนำมาแปรรูปเป็นถ่านกัมมันต์โดยใช้การกระดูกทางเคมี ซึ่งสารเคมีที่ใช้จะเป็นสารประเภทกรด เช่น HCl และ  $H_3PO_4$  และประเภทเบส NaOH และ KOH ซึ่งหลังจากการกระดูกแล้วถ่านกัมมันต์ที่ได้จะถูกนำไปวิเคราะห์ปริมาณพื้นที่ผิวโดยการคุณชับในโทรเจนที่ 77 K และวิเคราะห์แนวโน้มการเกิดหมู่หน้าที่บนผิวถ่านกัมมันต์ ในกรณีที่สารกระดูกเปลี่ยนไป ในส่วนขั้นตอนสุดท้ายถ่านกัมมันต์จะถูกนำไปทดสอบการคุณชับสารประกอบต่างๆ เช่น สารละลายโลหะหนัก สารมีขี้ว สารไม่มีขี้ว และสี เป็นต้น เพื่อตรวจสอบ Affinity ของถ่านกัมมันต์ที่ผลิตได้ต่อสารชนิดต่างๆ เพื่อการนำไปประยุกต์ใช้ได้ถูกต้อง

## 1.4 ประโยชน์ที่คาดว่าจะได้รับ

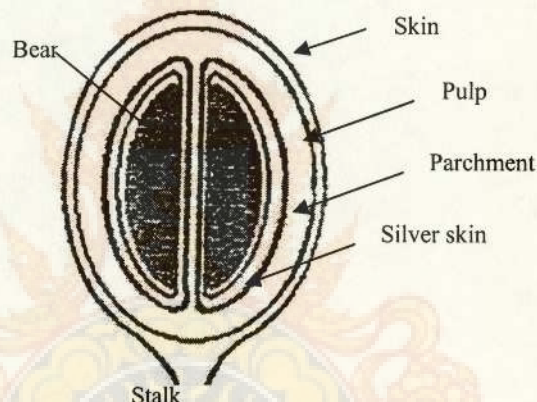
- 1.4.1 สามารถผลิตถ่านกัมมันต์จากกาแฟให้มีลักษณะโครงสร้าง และหมู่ทำหน้าที่ที่หลากหลายเพื่อการประยุกต์ใช้ที่ครอบคลุมยิ่งขึ้น
- 1.4.2 สามารถผลิตถ่านกัมมันต์จากกาแฟให้มีคุณภาพเทียบเท่าหรือดีกว่ามาตรฐาน อุตสาหกรรม
- 1.4.3 สามารถลดปริมาณการนำเข้าถ่านกัมมันต์จากต่างประเทศ และลดปริมาณขยะจากกระบวนการอุตสาหกรรมได้

## บทที่ 2

### ทบทวนวรรณกรรม

#### 2.1 กาแฟ [1, 2]

กาแฟเป็นพืชที่อยู่ในวงศ์ Rubiaceae สายพันธุ์ Coffea มีชื่อทางวิทยาศาสตร์ว่า *Coffea Arabica* L. กาแฟจัดเป็นไม้พุ่ม ส่วนใหญ่มีถิ่นกำเนิดในเขตร้อนและกึ่งร้อนของทวีปแอฟริกา ซึ่งเป็นที่รู้จักกันตั้งแต่ปี ค.ศ. 1820 ผลของการแฟฟแตกต่างๆ ให้สองเมล็ด ลักษณะผลเมื่อยังอ่อนอยู่จะมีสีขาว เมื่อแก่จัดแล้วสีจะเข้มขึ้น และเมื่อสุกจะเปลี่ยนเป็นสีแดงเข้ม แสดงลักษณะของเมล็ดกาแฟได้ดังนี้



รูปที่ 2.1 ส่วนประกอบต่างๆ ของเมล็ดกาแฟ [2]

กาแฟจะติดเป็นผลมีลักษณะคล้ายลูกหว้า ซึ่งภายในผลกาแฟแบ่งออกเป็นสองส่วน ส่วนหนึ่งมีเมล็ดกาแฟ 1 เมล็ด ซึ่งมีลักษณะแบบยาวไปตามรูปของเปลือกหุ้ม ถ้าหากเมล็ดหนึ่งเมล็ดใดลีบ เพราะการผสมพันธุ์ไม่ดี เมล็ดที่เหลืออยู่จะมีรูปกลม ส่วนยาวจะมีรูปโกลงเป็นรูปกระบวนการออกติด เมล็ดที่สุกจะมีสีน้ำตาลปนแดง เมื่อผลสุกแล้วจะเทะเปลี่ยนสีเป็นสีแดงเข้ม จึงได้เมล็ดกาแฟที่มีเปลือกสีขาว (Parchment) หุ้มอยู่ ซึ่งเมื่อขัดออกแล้วจะเหลือเปลือกบางๆ สีขาวที่เรียกว่า Silver skin หุ้มอยู่ภายในเปลือกหุ้นนั่น ซึ่งถ้าผ่านกระบวนการขัดเปลือกหุ้นนั่นจะได้เมล็ดกาแฟที่ใช้บริโภคที่เรียกว่า กาแฟเขียว (Green coffee) หรือ Clean coffee ในปัจจุบันนี้มีกาแฟที่นิยมปลูกกันมาก 2 พันธุ์ใหญ่ๆ คือ พันธุ์อาราบิกา (*Coffea arabica*) และ พันธุ์โรบัสต้า (*Coffea canephora* var *robusta*)

2.1.1 กาแฟพันธุ์อาราบิกา เป็นพันธุ์ที่มีชื่อเรียกหลายชื่อ เช่น บรรษัตเลียน อะบิสสิเนียน และอาราบิกา กาแฟพันธุ์นี้เป็นพันธุ์ที่นิยมปลูกมากที่สุดในโลก มีถิ่นกำเนิดดั้งเดิมแถบบริเวณ

ประเทศไทยเป็นตามลักษณะของชนิดน้ำมัน ให้ผลผลิตสูง มีปริมาณกาแฟอินต์และราชชาติหอมอร่อย โดยมากนิยมนำมาผลิตเป็นกาแฟด้วยวิธี (Roast coffee) การพัฒนาอาราบิกาแบบได้หลายชนิดขึ้นอยู่กับพื้นที่ที่ปลูก เช่น monoculture ปลูกมากบริเวณคาบสมุทรอา拉เบีย นอกจากนี้ยังปลูกได้บริเวณโคลัมเบียและอเมริกากลาง

2.1.2 การพัฒนาโรบัสตา เป็นพันธุ์ที่มีถิ่นกำเนิดจากแอฟริกากลาง มีสมบัติทนทานต่อสภาพดิน ไฟ อากาศ โรคพืช และแมลงได้ดี มีปริมาณกาแฟอินต์สูง และสามารถคงกลิ่นไว้ได้นานกว่าพันธุ์อาราบิกา ให้ผลผลิตสูงกว่า แต่ราชชาติและกลิ่นของพันธุ์โรบัสตาไม่เป็นที่นิยมเท่ากับพันธุ์อาราบิกา จึงนิยมนำไปผลิตเป็นกาแฟผงสำเร็จรูป พันธุ์โรบัสตานี้พบมากในแถบหมู่เกาะชวาและอินโดนีเซีย

ตารางที่ 2.1 ข้อแตกต่างของกาแฟพันธุ์โรบัสต้าและพันธุ์อาราบิกา [3]

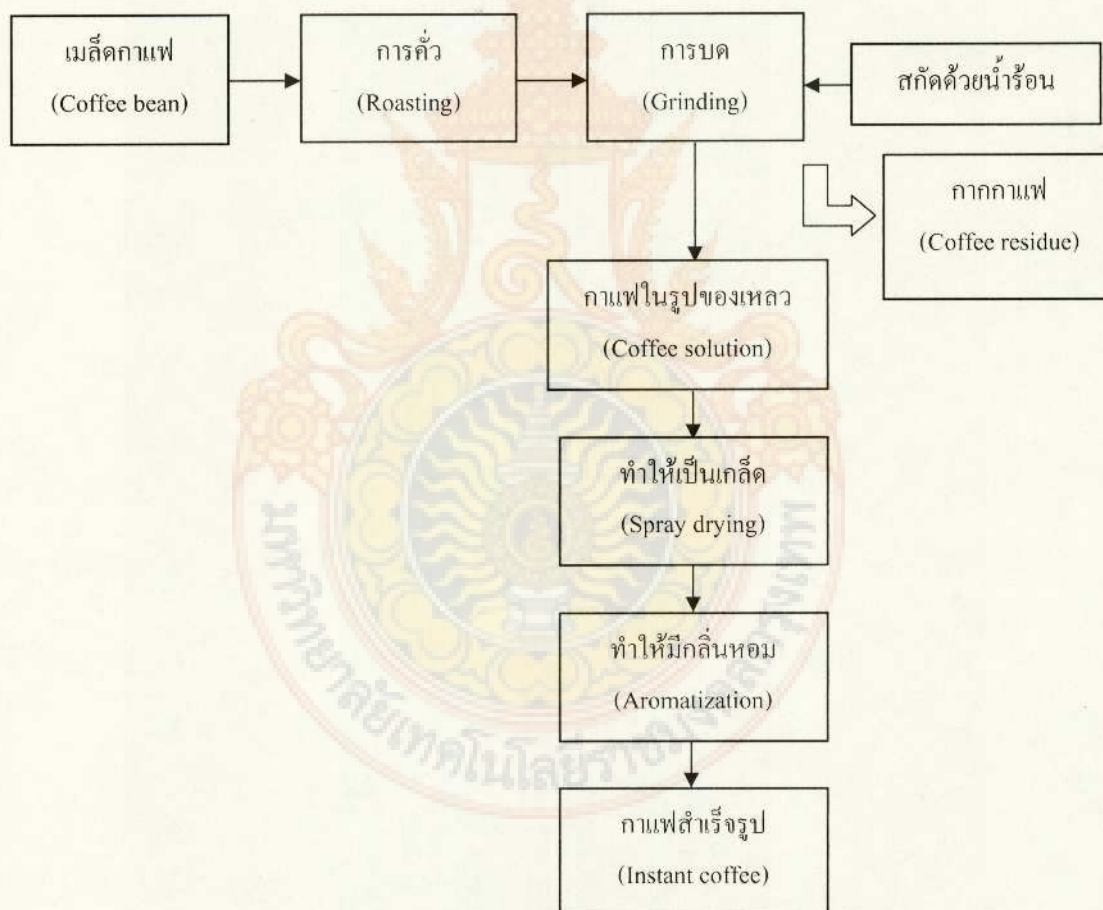
ลักษณะ	พันธุ์อาราบิกา	พันธุ์โรบัสต้า
1. โครงไม้โซน	44	22
2. ระยะเวลาออกดอกออกผลสุก	6-9 เดือน	8-11 เดือน
3. เวลาอกรดออก	หลังฤดูฝน	ไม่แน่นอน
4. ผลสุก	ฤดูหนาว	ตลอดปี
5. ผลผลิต	240-480 kg/ไร่	360-480 kg/ไร่
6. ราก	ลึก	แผ่เป็นบริเวณกว้าง
7. อุณหภูมิการเพาะปลูก	15-25°C	24-34°C
8. ปริมาณน้ำฝนต่อปี	2,000 mm	2,000-3,000 mm
9. พื้นที่เพาะปลูก (จากระดับน้ำทะเล)	1,000-2,000 m	0-700 m
10. ความด้านทานโรค	ปานกลาง	สูง
11. ปริมาณกาแฟอินต์ในผลผลิต	0.8-1.4%	1.7-4.0%
12. ลักษณะผลกาแฟ	แบน	รูปไข่
13. ราชชาติ	มีความเป็นกรด	เข้มข้น

ในประเทศไทยเป็นพื้นที่ที่มีการปลูกกาแฟค่อนข้างมาก โดยร้อยละ 97 ของการปลูกทั้งหมดในประเทศไทยเป็นพันธุ์โรบัสต้าซึ่งปลูกบริเวณแถบภาคใต้ คือ จังหวัดชุมพร นครศรีธรรมราช ยะลา ระนอง และตรัง ส่วนพันธุ์อาราบิกาปลูกเป็นร้อยละ 3 ของการปลูกทั้งหมดในประเทศไทย

ซึ่งปฏิบัติธรรมทางภาคเหนือตอนล่าง โดยองค์ประกอบทางเคมีของกาแฟทั้งสองพันธุ์นี้จำแนกได้ดังนี้

ส่วนเปลือก คือ ส่วนที่เป็นเปลือกสีขาวและส่วนที่เป็นเปลือกหุ้มชั้นในส่วนนี้ก็จะทั้งสองพันธุ์มีองค์ประกอบที่ใกล้เคียงกัน คือ ประกอบด้วยเซลลูโลส เอมิเซลลูโลส แพคติน และลิกนิน ซึ่งคล้ายๆ กับส่วนเปลือกของพืชทั่วๆ ไป

ส่วนเมล็ด คือ ส่วนที่นำไปปรุงหรือเรียกว่า Bean ประกอบด้วยสารระเหย (Volatile matter) คือ สารพวกของromaติก และเซทเทอร์โรไซคลิก โดยเฉพาะคาเฟอีน และประกอบด้วยแร่ธาตุหลายชนิดแต่ที่เป็นหลักๆ คือ โพแทสเซียม แมกนีเซียม และแมงกานีส ในงานวิจัยนี้ใช้กาแฟที่ผ่านจากขั้นตอนการผลิตกาแฟผงสำเร็จรูปแล้ว ซึ่งเรียกว่ากาแฟ residue (Coffee residue) ขั้นตอนการผลิตแสดงดังรูปที่ 2.2



รูปที่ 2.2 กระบวนการผลิตกาแฟสำเร็จรูป [2]

กระบวนการนี้เริ่มต้นจากการนำเมล็ดกาแฟที่กะเทาะเปลือกออกแล้วมาผ่านการคั่ว (Roasting) และวึงบดย่อยขนาด (Grinding) จากนั้นผ่านขั้นการสกัด (Extraction) ด้วยน้ำร้อนที่มีอุณหภูมิ 180°C ภายใต้ความดันสูงโดยเครื่องปฏิกรณ์ที่มี 6 คอมลัมน์ เพื่อให้ได้ผลผลิตของเนื้อกาแฟมากที่สุด และวึงกรองแยกออก ซึ่งของแข็งที่เหลืออยู่ คือ กาแฟ ส่วนของเหลวที่ได้ เรียกว่า น้ำกาแฟ นำไปพักไว้ที่ ลังพัก และวนนำไปผ่านขั้นตอนการอบแห้งแบบจีดพ่น โดยการฉีดน้ำกาแฟออกมาเป็นสาย โดยใช้วาล์วที่หมุนได้ ซึ่งอุณหภูมิถูกควบคุมไว้ที่ 250°C จะทำให้เกิดการระเหยจนกลายเป็นของแข็ง และวึงผ่านการระเหิด (Evaporation) อีกครั้ง เพื่อนำน้ำส่วนเกินออกอีกในขั้นตอนการอบแห้งแบบแห้งแข็ง จนท้ายสุดจะได้กาแฟผงซึ่งสามารถคงคุณภาพที่ได้ทันที แต่ในระหว่างขั้นตอนการสกัดจะถึงการอบแห้งแบบแห้งแข็งจะมีการสูญเสียสารระเหยที่มีกลิ่น ซึ่งทำให้มีกลิ่นหอมหายไปบางส่วน จึงต้องผ่านกระบวนการเติมกลิ่นเพื่อเติมสารเหล่านี้อีกครั้ง ก่อนที่จะมีการบรรจุลงถุงพร้อมกับเติมแก๊สเนื้ออย เช่น คาร์บอนไดออกไซด์ เพื่อลดความเสี่ยงต่อปฏิกริยาออกซิเดชัน (Oxidation reaction)

## 2.2 ถ่านกัมมันต์ (Activated carbon)

ถ่านกัมมันต์สามารถผลิตได้โดยนำวัตถุดินที่มีการรับอนเป็นองค์ประกอบมาผ่านกระบวนการการทำให้เป็นถ่าน (Carbonization) และกระบวนการกระตุ้น (Activation) จนถ่านมีลักษณะเป็นสีดำ มีโครงสร้างที่มีลักษณะเป็นรูพรุน มีพื้นที่ผิวสูง มีสมบัติในการดูดซับสารต่างๆ ได้เป็นอย่างดี [4] การผลิตถ่านกัมมันต์สามารถเริ่มจากวัตถุดินโดยตรงหรือเริ่มจากวัตถุดินที่เป็นถ่านแล้วก็ได้ ซึ่งวัตถุดินที่ใช้ในการผลิตถ่านกัมมันต์ควรจะมีปริมาณการรับอนสูงและขี้เล้าต่ำ วัตถุดินส่วนใหญ่ที่ใช้จะเป็นพอกเซลลูโลสที่มาจากการพืชหรือต้นไม้โดยตรง เช่น ไม้ชนิดต่างๆ หรืออยู่ในรูปของเศษวัสดุ เหลือทั้งทางการเกษตร หรืออุตสาหกรรมต่างๆ เช่น แกลบ กระ吝ะพร้าว ขี้เลือย กระลาเปล์ ชาบอ้อย เปลือกถั่วลิสง ซังข้าวโพด และกาบนาตาล เป็นต้น นอกจากนี้ยังมีพอกถ่านหิน เช่น ลิกไนต์ พีท หรือบิทูมินัส และสิ่งที่เหลือจากการกรั่นน้ำมันปิโตรเลียม เป็นต้น ส่วนวัตถุดินที่มาจากสัตว์น้ำยังมีไม่มากนัก เช่น กระดูกหรือขาสัตว์ เป็นต้น [1] สำหรับวัตถุดินที่ใช้ในการผลิตถ่านกัมมันต์ที่อยู่ในรูปของถ่านน้ำ พบร่วมกับสารเคมี เช่น ฟอร์มัลไดไฮด์ ที่ได้จากการเผาอินทรีย์วัตถุ ซึ่งเราเรียกว่า “ถ่านสังเคราะห์” เป็นส่วนใหญ่ อาจใช้ถ่านที่มีอยู่ในธรรมชาติ เช่น กราไฟต์ และแอน ทราไชต์ [5]

### 2.2.1 กรรมวิธีการผลิตถ่านกัมมันต์ [5]

ในปัจจุบันวิธีการผลิตถ่านกัมมันต์มีอยู่มากมายหลายวิธี ที่ขึ้นอยู่กับว่าวัตถุดินที่ใช้เป็นอะไร และต้องการถ่านกัมมันต์ที่มีสมบัติอย่างไร กรรมวิธีโดยทั่วไปประกอบด้วยขั้นตอนการเตรียมวัตถุดิน เช่น การอบแห้ง การบดแห้ง การทำเป็นเม็ด การเผาที่อุณหภูมิต่ำหรือขั้นตอนทำให้

เป็นถ่าน จากนั้นจึงนำไป處理ด้วยสารเคมี หรือสารออกซิไซด์ต่างๆ เพื่อทำเป็นถ่านกัมมันต์ กระบวนการผลิตแสดงดังรูปที่ 2.3



รูปที่ 2.3 กระบวนการผลิตถ่านกัมมันต์

ในกระบวนการผลิตถ่านกัมมันต์โดยทั่วๆ ไปแบ่งขั้นตอนการผลิตเป็น 2 ขั้นตอน คือ

#### 2.2.1.1 การทำให้เป็นถ่าน [6]

วัตถุประสงค์ของการทำให้เป็นถ่านคือเพื่อกำจัดธาตุต่างๆ ที่ไม่ใช่ คาร์บอนในอินทรีย์วัตถุออกไประถานที่ได้จะมีปริมาณร้อยละของคาร์บอนสูงมาก โดยใช้ หลักการของกระบวนการไฟฟ์โรไรซิส (Pyrolysis) ซึ่งเป็นการย่อยสลายสารอินทรีย์ภายใต้สภาวะ ไร์ออกซิเจนด้วยความร้อน โดยวิธีการเผาอินทรีย์วัตถุหรือวัตถุดิบในที่อันอากาศ การย่อยสลายนี้จะทำ

ให้ชาตุส่วนใหญ่ที่ไม่ใช่คาร์บอน เช่น ไฮโดรเจน และออกซิเจน เกิดการสลายตัวออกเป็นแก๊ส และบางส่วนของคาร์บอนจะถูกเปลี่ยนเป็นแก๊สคาร์บอนมอนอกไซด์ กรณีน้ำส้ม น้ำมันดิน และเมทาโนล เป็นต้น หลุดออกไปทำให้ได้ค่าน ในระยะแรกวัตถุดิบจะถูกทำให้แห้งโดยการไอล ความชื้นหรือน้ำออกไปจนกระทั่งเมื่ออุณหภูมิสูงถึง  $170^{\circ}\text{C}$  อินทรีย์วัตถุบางส่วนจะเริ่มสลายตัวออกเกิดเป็นกรณีน้ำส้ม แก๊สคาร์บอนมอนอกไซด์ และคาร์บอนไดออกไซด์ เมื่ออุณหภูมิสูงขึ้นประมาณ  $270-280^{\circ}\text{C}$  จะเกิดการสลายตัวของสารอินทรีย์พร้อมทั้งให้ความร้อนออกมากกว่า 350°C สิ่งที่ไม่จะเริ่มเปลี่ยนเป็นสีดำโดยปฏิกิริยาการโน๊ไนเซชันของเซลลูโลสและลิกนิน เป็นส่วนใหญ่ พบว่าจะมีการสูญเสียเซลลูโลสอย่างรวดเร็วในช่วงอุณหภูมิ  $300-400^{\circ}\text{C}$  ในขณะที่เกิดน้ำสลายตัวของลิกนินจะเกิดขึ้นอย่างช้าๆ จากการทดลองพบว่าที่อุณหภูมิต่ำกว่า  $400^{\circ}\text{C}$  การสูญเสียน้ำส่วนใหญ่ยังไม่สามารถกำจัดไฮโดรเจนและออกซิเจนออกจากวัสดุได้หมด ทำให้ได้ค่านที่มีคุณภาพไม่ดีหรือที่เรียกว่าหัวค่าน ถ้าทำค่านที่อุณหภูมิต่ำกว่า  $600^{\circ}\text{C}$  พบว่าปริมาณรอยละของคาร์บอนของค่านที่ได้เพิ่มขึ้น แต่ถ้าทำค่านที่อุณหภูมิสูงกว่า  $600^{\circ}\text{C}$  จะทำให้ได้ค่านต่ำกว่าที่อุณหภูมิ  $600^{\circ}\text{C}$  หาก ดังนั้นช่วงอุณหภูมิที่เหมาะสมในการผลิตค่าน เพื่อให้ได้ผลผลิตและประสิทธิภาพในการแปรสภาพวัตถุดิบอินทรีย์ให้เป็นค่านสูงสุดคือ ช่วงอุณหภูมิ  $400-600^{\circ}\text{C}$  และควรเผาค่านให้เกิดปฏิกิริยาการสลายตัวด้วยความร้อนที่สูงสุดโดยเร็ว เพื่อลดการสูญเสียของสารที่สลายตัวเนื่องจากความร้อน และควรควบคุมความสม่ำเสมอของความร้อนและอุณหภูมิของการทำให้เป็นค่านให้คงที่ จึงจะได้ค่านที่มีคุณภาพดี ซึ่งมีลักษณะดังนี้คือ

- มีสีดำสม่ำเสมอ
- มีลักษณะแข็งเกร็ง ไม่แตกหักง่าย
- เมื่อหักดูส่วนที่หักจะมีผิวน้ำเงา
- ปลายที่หักจะแหลมคม
- เมื่อเคาะหรือตกระยะพื้น ต้องมีเสียงดังกังวานคล้ายโลหะ
- ปราศจากผงฝุ่นและไม่มีขี้ถ้าหรือส่วนที่ยังไม่เป็นค่านติดอยู่
- มีปริมาณคาร์บอนคงตัวอยู่มาก มีความชื้นต่ำ ( $5-10\%$ )

อย่างไรก็ตามค่านที่ได้จากขั้นตอนนี้มีความสามารถในการดูดซับน้ำได้มาก เพราะมีพื้นที่ผิวจำเพาะหรือรูพรุนน้อย และยังมีน้ำมันดินบางส่วนติดค้างอยู่ภายในรูพรุนหรือเกาะอยู่ตามผิวดอกค่าน จึงจำเป็นต้องนำค่านจากขั้นตอนนี้ไปผ่านกระบวนการกระดุ้นเพื่อเพิ่มความสามารถในการดูดซับ ดังนั้นการกระดุ้นจึงเป็นเพียงการพัฒนาโครงสร้างให้เป็นไปทางเดียวกับการทำให้เป็นค่านเท่านั้น

### 2.2.1.2 การกระตุ้น [6, 7]

การกระตุ้นเป็นการนำถ่านที่ได้จากการบวนการทำให้เป็นถ่านมากระตุ้นด้วยสารที่เหมาะสมซึ่งส่วนใหญ่เป็นแก๊สหรือไอ เพื่อทำปฏิกิริยากับน้ำมันดิน และอะตอมของการบอนบางส่วนในผลึกของถ่านให้หลุดออกไประและเกิดส่วนที่มีอำนาจในการดูดซับขึ้นมาแทน ทำให้ถ่านมีรูพรุนและมีพื้นที่ผิวที่มีอิเล็กตรอนอิสระมากขึ้น รูพรุนที่ได้จากการบวนการกระตุ้นนี้จะมีขนาดเล็ก ซึ่งเหมาะสมสำหรับการดูดกลืน ไอ และแก๊สพิษ แก๊สออกซิไดส์ที่นิยมใช้ได้แก่ ไอ้น้ำ คาร์บอนไดออกไซด์ และออกซิเจนจากอากาศ

การกระตุ้นมี 2 กระบวนการ คือ กระบวนการกระตุ้นทางฟิสิกส์และกระบวนการกระตุ้นทางเคมี

#### 2.2.1.2.1 กระบวนการกระตุ้นทางฟิสิกส์ [7]

เป็นการผลิตถ่านกัมมันต์โดยที่ผิวของคาร์บอนมีการเปลี่ยนแปลงทางฟิสิกส์ เช่น การขัดเรียงตัวใหม่ซึ่งจะทำให้ถ่านเพิ่มความสามารถในการดูดซับสูงขึ้น แก๊สที่นิยมใช้ในการออกซิไดส์ ได้แก่ ไอ้น้ำอิมตัวขึ้นยอด แก๊สคาร์บอนไดออกไซด์ และแก๊สออกซิเจน โดยใช้ร่วมกับความร้อน ปฏิกิริยาการกระตุ้นอาจเกิดจากการใช้ความร้อนเพียงอย่างเดียว แต่ต้องใช้อุณหภูมิสูงถึง  $1,200^{\circ}\text{C}$  แต่ถ่านกัมมันต์ที่ได้จะมีคุณภาพต่ำกว่าถ่านกัมมันต์ที่ได้โดยกระตุ้นด้วยแก๊สออกซิไดส์ ปัจจัยที่มีผลต่อการกระตุ้นด้วยแก๊สออกซิไดส์ คือ

- สมบัติทางเคมีและความเข้มข้นของแก๊สออกซิไดส์ที่ใช้
- อุณหภูมิขณะเกิดปฏิกิริยา
- ระยะเวลาของปฏิกิริยา
- ชนิดและปริมาณของวัตถุดิบที่ใช้

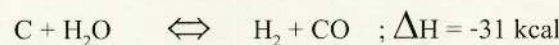
อุณหภูมิที่ใช้ในการกระตุ้นไม่สามารถกำหนดได้แน่นอน แต่มักไม่เกิน  $1,000^{\circ}\text{C}$  เพราะถ้าใช้อุณหภูมิสูงกว่า  $1,000^{\circ}\text{C}$  จะทำให้อำนาจการดูดซับของถ่านลดลง อุณหภูมิที่ใช้ทั่วไปอยู่ในช่วง  $800\text{--}900^{\circ}\text{C}$  แต่ก็มีบางที่ใช้อุณหภูมิต่ำกว่า  $600^{\circ}\text{C}$

ข้อดีของการกระตุ้นด้วยแก๊สออกซิไดส์ คือ ไม่มีสารเคมีตกค้าง ข้อเสีย คือ ต้องใช้อุณหภูมิสูงกว่าการกระตุ้นด้วยสารเคมี

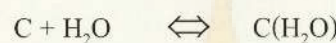
กระบวนการนี้แก๊สที่เป็นตัวออกซิไดส์ เช่น คาร์บอนไดออกไซด์ ไอ้น้ำ และอากาศ จะไปทำให้คาร์บอนไดออกไซด์เกิดปฏิกิริยา กับน้ำมันดิน และอะตอมของการบอนบางส่วนในผลึกเพิ่มรูพรุนให้กว้างขึ้นและเพิ่มพื้นที่ผิวมากขึ้น

### ก. การกระตุ้นด้วยไอน้ำ [6]

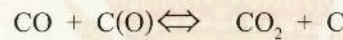
การใช้ไอน้ำเป็นตัวออกซิไซด์ในที่นี้ หมายถึง ไอน้ำร้อน (*Super heated steam*) ปฏิกิริยาที่เกิดเป็นแบบดูดความร้อน และเป็นปฏิกิริยาเคมีที่ซับซ้อนขึ้น แต่โดยทั่วไปแล้วจะสมมติให้เป็นปฏิกิริยาแก๊สชีฟิเกชัน (*Gasification*) ของถ่าน ดังสมการ



กลไกของปฏิกิริยา คือ



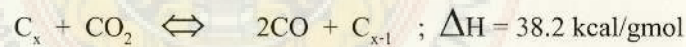
$\text{H}_2$  และ  $\text{CO}$  ที่เกิดขึ้นส่วนใหญ่จะหลุดออกไป ทำให้เกิดรูพรุน แต่  $\text{CO}$  ส่วนหนึ่งจะทำปฏิกิริยาให้  $\text{CO}_2$  และ  $\text{C}$  ดังสมการข้างล่างนี้



การกระตุ้นด้วยไอน้ำมีข้อดี คือ ราคาถูกและไม่มีสารเคมีตกค้าง แต่ต้องมีอุณหภูมิสูงพอที่จะทำให้อัตราการออกซิไซด์เกิดอย่างรวดเร็ว แต่อุณหภูมิสูงกว่า  $1,000^\circ\text{C}$  การดูดซับของถ่านที่ได้จะลดลง

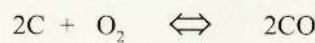
### ข. การกระตุ้นด้วยแก๊สคาร์บอนไดออกไซด์

การกระตุ้นนี้คล้ายกับการกระตุ้นด้วยไอน้ำ ซึ่งอุณหภูมิที่ใช้อยู่ในช่วง  $800-900^\circ\text{C}$  โดยใช้แก๊สคาร์บอนไดออกไซด์ทำปฏิกิริยากับถ่านซึ่งเกิดปฏิกิริยาแบบคายความร้อนขึ้น ดังสมการ



### ค. การกระตุ้นด้วยแก๊สออกซิเจนหรืออากาศ [6]

ปฏิกิริยานี้อาศัยออกซิเจนในอากาศเป็นตัวออกซิไซด์ ควร์บอน ทำให้เกิดแก๊สคาร์บอนไดออกไซด์ เกิดปฏิกิริยาแบบคายความร้อนที่ง่าย และเร็วกว่าการกระตุ้นด้วยไอน้ำกับการกระตุ้นด้วยแก๊สคาร์บอนไดออกไซด์ ปฏิกิริยาแสดงดังสมการ



การกระตุนด้วยอากาศใช้กันน้อยมาก เนื่องจากการควบคุมอุณหภูมิให้อ่ายในสภาวะที่ต้องการทำได้ยากกว่ากรณีเกิดปฏิกิริยาแบบดุดความร้อน นอกจากนี้ออกซิเจนอาจทำให้ผิวของถ่านไหมเป็นผลให้เกิดการสูญเสียอย่างมาก

ข้อดีของการกระตุนทางฟิสิกส์นี้ คือ หลังจากผ่านกระบวนการกระตุนถ่านกัมมันต์ที่ได้สามารถนำไปใช้งานได้ทันที โดยไม่มีปัญหาในการกำจัดสารเคมีที่ตกค้างอยู่ ข้อเสียของการกระตุนทางฟิสิกส์ คือ ต้องใช้อุณหภูมิในการเผาไหม้ค่อนข้างสูงมากกว่าการกระตุนทางเคมีซึ่งเป็นการสืบเปลือยเชื้อเพลิง สำหรับรูพรุนของถ่านกัมมันต์ที่ได้จากการกระตุนทางฟิสิกส์จะมีรูพรุนขนาดเล็กกว่าถ่านกัมมันต์ที่กระตุนด้วยวิธีทางเคมี ซึ่งหมายความว่าสำหรับใช้คุณภาพและไอลรือแก๊สพิเศษได้ดี

#### 4. การกระตุนด้วยแก๊สไฮเดรชัน

แก๊สไฮเดรชันจะประกอบด้วยแก๊สชนิดต่างๆ จำนวนมาก many ที่มีสมบัติในการกระตุนถ่านให้เป็นถ่านกัมมันต์ เช่น แก๊สคาร์บอนไดออกไซด์ แก๊สออกซิเจน และไอน้ำ นอกจากนี้ยังเป็นการนำเอาแก๊สที่ปล่อยทิ้งไปกลับมาใช้ประโยชน์ทำให้ประหยัดในเรื่องเชื้อเพลิงและเศษกระดาษ

##### 2.2.1.2.2 กระบวนการกระตุนทางเคมี

เป็นวิธีการผลิตถ่านกัมมันต์โดยสารกระตุนจะทำปฏิกิริยา กับผิวcarbonyl โดยมีความร้อนเป็นตัวเร่งปฏิกิริยา สารเคมีที่นิยมใช้ในการกระตุนมากที่สุด คือ ชิงค์คลอไรด์ หรือโพแทสเซียมชัลไฟไซยาโนด์ ส่วนสารเคมีชนิดอื่นที่เป็นกรด คือ กรดฟอฟอริก หรือกรดชัลฟิวอิก ที่เป็นต่างจะเป็นไฮดรอกไซด์ของพลาโนโลหะอัลคาไลน์ นอกจากนี้ยังมีแมกนีเซียมคลอไรด์

#### ก. การผลิตถ่านกัมมันต์โดยใช้ชิงค์คลอไรด์ [8]

สารประกอบชิงค์คลอไรด์นี้ เป็นสารดูดความชื้นที่นิยมใช้เพื่อพื้นที่ผิวของถ่านกัมมันต์ มีลักษณะเป็นของแข็งสีขาว มีความหนาแน่น  $2.91 \text{ g/cm}^3$  มีน้ำหนักโมเลกุลประมาณ  $136.28 \text{ มัลกุล}$  ในรูปไฮดรอลิก ลักษณะสมบัติอื่นๆ แสดงดังในตารางที่ 2.2

ชิงค์คลอไรด์ที่นิยมใช้ส่วนมากอยู่ในรูปสารละลายที่มีความเข้มข้นสูง อัตราส่วนที่ใช้ คือ สารละลายที่มีความเข้มข้นประมาณ  $0.5 \text{ ถึง } 4$  ส่วนต่อน้ำหนักของวัตถุคิดที่แห้ง 1 ส่วน อาจมีการเติมกรดไฮดรคลอริก หรือกรดฟอฟอริกลงไปเล็กน้อย จากนั้นนำไปเผาในท่ออบอากาศซึ่งมีอุณหภูมิสูงประมาณ  $600-700^\circ\text{C}$  แต่ถ้าเก็บมีผู้ใช้อุณหภูมิต่ำเพียง  $400^\circ\text{C}$  และอาจถึง  $900^\circ\text{C}$  ถ่านที่ได้ต้องนำไปล้างด้วยน้ำและกรดไฮดรคลอริกเจือจาง เพื่อเอาชิงค์คลอไรด์ที่เหลือและสาร Basic zinc chloride ที่เกิดในปฏิกิริยาออกไประดับ

## ตารางที่ 2.2 สมบัติทางกายภาพของซิงค์คลอไพร์ค์

สมบัติทางกายภาพ	
ความหนาแน่น ( $\text{g/cm}^3$ )	2.91
จุดเดือด ณ ความดันบรรยายกาศ ( $^\circ\text{C}$ )	756
จุดหลอมเหลว ณ ความดันบรรยายกาศ ( $^\circ\text{C}$ )	275
ความร้อนในการหลอมเหลว ( $\text{cal/mol}$ )	5,540
ความร้อนในการระเหย ( $\text{cal/mol}$ )	28,700
ความสูงความร้อน ณ อุณหภูมิ $25^\circ\text{C}$ ( $\text{cal/mol}\cdot^\circ\text{C}$ )	18.3
ความสามารถในการละลาย ณ อุณหภูมิ $25^\circ\text{C}$ ( $\text{g}/100 \text{ g H}_2\text{O}$ )	432
ความสามารถในการละลาย ณ อุณหภูมิ $100^\circ\text{C}$ ( $\text{g}/100 \text{ g H}_2\text{O}$ )	614

### ข. การผลิตถ่านกัมมันต์โดยใช้กรดฟอสฟอริก

กระบวนการผลิตถ่านกัมมันต์นี้อาจใช้กรดซัลฟิวริกแทนได้แต่คุณภาพของถ่านกัมมันต์ที่ได้จะน้อยกว่า ตัวอย่างการผลิตด้วยวิธีนี้ เช่น การผลิตถ่านกัมมันต์จากดินพุหรือขี้เลื่อย กระบวนการกระตุนนี้เกิดจากการดูดนำของกรดฟอสฟอริกซึ่งคล้ายกับการกระตุนโดยใช้ซิงค์คลอไพร์ค์ ถ่านกัมมันต์ที่ได้ควรนำไปเผาที่อุณหภูมิ  $800\text{-}900^\circ\text{C}$  อีกประมาณ 2-8 ชั่วโมง ซึ่งจะเกิดการออกซิไดส์คาร์บอน กรดฟอสฟอริกสามารถนำกลับมาใช้ใหม่ได้อีกและยังใช้เป็นสารช่วยในการกระตุนได้ เช่น หลังจากที่ผลิตถ่านกัมมันต์โดยการกระตุนด้วยไอน้ำจะนำถ่านที่ได้ไปแช่ในกรดฟอสฟอริกเข้มข้น เพื่อช่วยให้ถ่านกัมมันต์ที่ได้มีสมบัติดีขึ้น

### ค. การผลิตถ่านกัมมันต์โดยใช้โซเดียมไฮดรอกไซด์

โซเดียมไฮดรอกไซด์เป็นสารเคมีที่มีสภาพเป็นด่าง การกระตุนต้องใช้กรดไฮดรคลอริกช่วยในการทำให้มีสภาพเป็นกาก การกระตุนคล้ายกับการใช้ซิงค์คลอไพร์ค์โดยการกระตุนเพื่อช่วยให้ถ่านกัมมันต์มีการดูดซับที่ดี โดยระหว่างกรดกับเบสน์แบบสูงให้พื้นที่ผิวดีกว่า ข้อดีของการวนการกระตุนทางเคมี คือ เกิดการแทรกซึมอย่างทั่วถึง ได้รูพรุนก่อนข้างใหญ่ และใช้อุณหภูมิในการเผาใหม่มาก ข้อเสียของการวนการกระตุนทางเคมีคือ จะต้องถังสารเคมีที่ใช้ในการกระตุนซึ่งติดต่อมาให้หมด ไม่ให้เหลือถังอญี่เหลย เพื่อความปลอดภัยในการนำไปใช้งาน จึงนับว่าเป็นการสิ้นเปลืองทั้งเวลาและแรงงาน นอกจากนี้สารเคมีบางชนิดที่ใช้ยังมีฤทธิ์กัดกร่อนภาชนะบรรจุ หรือเครื่องมือที่ใช้ในการผลิต เป็นเหตุให้อาชญากรรมใช้งานของภาชนะเหล่านั้นสิ้น ใช้ได้ไม่นานเท่าที่ควร ดังนั้นการผลิตด้วยวิธีนี้จึงจำเป็นต้องเลือกใช้ภาชนะที่ผลิตด้วยวัสดุพิเศษที่ทนกรดหรือด่าง

#### ๔. กระบวนการกระตุ้นด้วยวิธีผสม (เคมี-ฟิสิกส์) [6]

เป็นการแปรสภาพสารที่มีการรับอนเป็นองค์ประกอบหลักให้เป็นถ่าน โดยวิธีการ์โนในเซชันอินทรีย์วัตถุกับเกลือของกรดอนินทรีย์ แล้วนำถ่านที่ได้นี้ไปกระตุ้นด้วยไอน้ำหรือแก๊สคาร์บอนไดออกไซด์ สารเคมีที่นิยมใช้ ได้แก่ โพแทสเซียมคาร์บอนเนต กรดฟอฟอริก และโพแทสเซียมซัลเฟต เป็นต้น สารอนินทรีย์ที่ผสมลงไปจะกระจายอยู่ทั่วไปในถ่านซึ่งจะทำหน้าที่เป็นตัวออกซิไดส์ตัวของมันเอง หรือเกิดการสลายตัวให้กับแก๊สคาร์บอนไดออกไซด์ที่อุณหภูมิสูง โดยแก๊สคาร์บอนไดออกไซด์ที่ได้นี้จะไปทำปฏิกิริยา กับสารบ่อนต่อไปอีก วิธีนี้มีข้อดีกว่าการกระตุ้นด้วยวิธีทางฟิสิกส์ คือ ตัวออกซิไดส์จะกระจายอยู่อย่างสม่ำเสมอทั่งภายในและภายนอกถ่าน สารเคมีที่นิยมใช้ คือ ไอโอดเรนฟอสเฟต เป็นสารที่สามารถทำให้เซลลูโลสมีการพองตัวได้ดีกว่าซิงค์คลอไรด์ และยังเป็นตัวออกซิไดส์ด้วย ในขณะที่ซิงค์คลอไรด์ไม่มีสมบัติเป็นตัวออกซิไดส์ ดังนั้นซิงค์คลอไรด์จึงต้องผสมกับวัตถุดินหรืออินทรีย์ก่อนการทำให้เป็นถ่าน ส่วนไอโอดเรนฟอสเฟตอาจเติมก่อนหรือหลังการทำให้เป็นถ่านก็ได้

##### 2.2.2 ชนิดของถ่านกัมมันต์ [6, 7, 9]

ชนิดของถ่านกัมมันต์สามารถแบ่งออกได้โดยใช้หลักต่างๆ ขึ้นอยู่กับความ สะอาดของผู้ใช้งาน ตัวอย่างการแบ่งชนิดของถ่านกัมมันต์ได้แก่

###### 2.2.2.1 แบ่งตามชนิดของตัวกระตุ้น

ก. กระตุ้นทางเคมี เป็นถ่านกัมมันต์ที่ได้จากการใช้สารเคมีทำปฏิกิริยา กับผิวของสารบอน มักเป็นถ่านกัมมันต์ที่มีรูพรุนขนาดใหญ่ สารกระตุ้นที่ใช้ เช่น ซิงค์คลอไรด์

ข. กระตุ้นทางฟิสิกส์ เป็นถ่านกัมมันต์ที่ได้จากการใช้แก๊สออกซิไดส์ เช่น ไอน้ำและสารบอนไดออกไซด์ ถ่านกัมมันต์ที่ได้จะมีรูพรุนขนาดเล็กนิยมใช้ในการดูดซับ แก๊สและไอระเหย

###### 2.2.2.2 แบ่งตามขนาดของรูพรุน

ก. รูพรุนขนาดเล็ก เป็นถ่านกัมมันต์ที่มีรัศมีของรูพรุนประมาณ 1 nm มักนำไปใช้กับการดูดซับแก๊สหรือไอระเหย

ข. รูพรุนขนาดกลาง เป็นถ่านกัมมันต์ที่มีรัศมีของรูพรุนประมาณ 1-100 nm มักนำไปใช้ประโยชน์สำหรับดูดซับสารที่มีโมเลกุลใหญ่ เช่น การฟอกสี

ค. รูพรุนขนาดใหญ่ เป็นถ่านกัมมันต์ที่มีรัศมีของรูพรุนมากกว่า 100 nm โดยปกติไม่มีความสำคัญในการดูดซับสารต่างๆ แต่จะเป็นตัวช่วยให้สารที่ถูกดูดซับนั้นสามารถ เคลื่อนที่ผ่านไปยังรูพรุนเล็กได้ง่ายขึ้น

### 2.2.2.3 แบ่งตามความหนาแน่นของถ่านกัมมันต์

ก. ความหนาแน่นต่ำ มักใช้ในภาวะที่เป็นสารละลาย เช่น พอกสีน้ำยางดินหรือทำนำ้ให้บริสุทธิ์

ข. ความหนาแน่นสูง ใช้ในการดูดซับแก๊สหรือไอะโรเยห์

### 2.2.2.4 แบ่งตามชนิดของสารที่ถูกดูดซับ ได้แก่

ก. สารที่ถูกดูดซับเป็นแก๊ส เป็นถ่านกัมมันต์ที่ใช้คุณแก๊สพิษ กลิ่นและไอของสารอินทรีย์

ข. สารที่ถูกดูดซับเป็นสี เป็นถ่านกัมมันต์ที่ใช้ในการฟอกสี

ค. สารที่ถูกดูดซับเป็นโลหะ เป็นถ่านกัมมันต์ที่ใช้ในการแยกพลาสติกต่างๆ เช่น ถ่านที่ใช้ในการแยกทอง เงิน และแพลทินัมออกจากแร่

### 2.2.2.5 แบ่งตามสภาพที่ใช้

ก. ประเภทที่ดูดซับแก๊ส โดยมากมักถูกใช้ในการทำแก๊สให้บริสุทธิ์ เช่น การนำตัวทำละลายกลับมาใช้ใหม่ การแยกแก๊ส หรือการนำไปใส่ในถังกรอง

ข. ประเภทที่ดูดซับของเหลว ถูกนำมาใช้กับงานฟอกสีและสารที่มีลักษณะเหลว

### 2.2.2.6 แบ่งตามรูปร่างและขนาดอนุภาค

ก. ประเภทเป็นผง มีลักษณะเป็นเม็ดละเอียดมาก ขนาดเล็กกว่า  $100 \mu\text{m}$  โดยเฉลี่ยมีขนาดเส้นผ่านศูนย์กลางประมาณ  $15-20 \mu\text{m}$  ด้วยเหตุนี้จึงมีพื้นที่ผิวภายนอกมาก ระยะทางการแพร่กระจายน้อย อัตราการดูดซับจึงมีมาก ซึ่งเตรียมได้จากปัจจัยเดียว

ข. ประเภทเป็นเม็ด มีลักษณะเป็นเม็ดเล็กแต่มีขนาดใหญ่กว่าประเภทเป็นผง ทำให้มีผิวภายนอกน้อยกว่า การแพร่ของตัวถูกดูดซับเป็นปัจจัยสำคัญในการดูดซับ ส่วนใหญ่แล้วนิยมใช้ในระบบบำบัดน้ำเสีย ซึ่งเตรียมได้จากผลิตภัณฑ์ปีโตรเลียม เช่น บิทูเมนและถ่านหินลิกไนต์

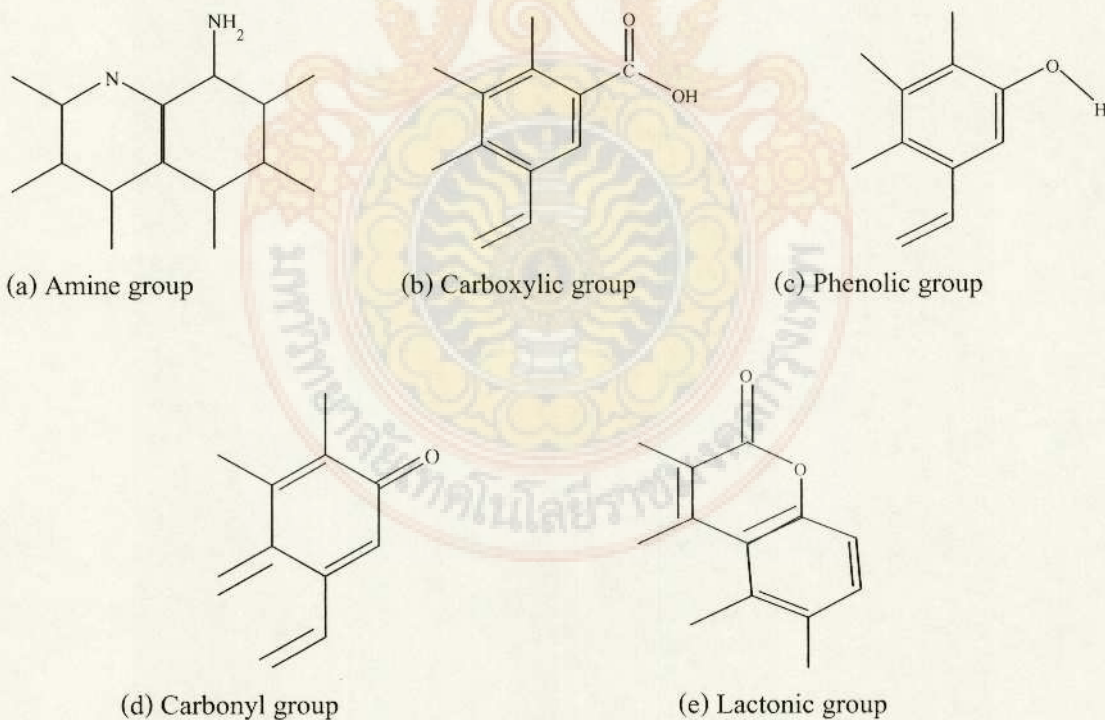
### 2.2.3 โครงสร้างและสมบัติทางเคมีของถ่านกัมมันต์ [9]

ลักษณะ โครงสร้างและสมบัติทางเคมีของถ่านกัมมันต์คล้ายกับกราไฟต์ คือ แบบ Microcrystalline โดยที่แต่ละอะตอมของคาร์บอนยึดเหนี่ยวกันด้วยพันธะ โคเวเลนต์ แต่จะมีความเป็นระเบียบในการจัดเรียงตัวต่ำกว่า และลักษณะ โครงสร้างจะมีหลายลักษณะซึ่งอยู่กับวัตถุดินที่นำมาผลิต และสิ่งปนเปื้อนที่เกิดขึ้นในระหว่างกระบวนการผลิต นอกจากจะมีผลกระทบต่อการรับอนได้ยังพบว่ามีผลกระทบของชาตุอื่น เช่น ไฮโดรเจน ออกซิเจน และอาเซนิคออกไซด์ ในโครงสร้าง ชั้นเพอร์ที่สร้างพันธะเคมีกับการรับอนและมีความสำคัญกับสมบัติเฉพาะตัวของถ่านกัมมันต์ เช่น ลักษณะความเป็น

กรด-เบส ความมีข้าว-ไม่มีข้าวซึ่งมีผลต่อสมดุลการคุณชับดี้วาย อะตอนของชาตุอินๆ เหล่านี้จะเรียกว่า หมู่หน้าที่ บนผิวถ่านกัมมันต์เตะละชนิดจะมีหลายๆ หมู่หน้าที่ที่แตกต่างกันไป โดยทั่วไปผิวดวงถ่านกัมมันต์เกิดเป็นหมู่หน้าที่ชนิดต่างๆ จะเกิดระหว่างอะตอนของการรืบอนกับออกซิเจนที่เรียกว่า ผิวออกไซด์ มีอยู่ 2 ชนิด กือ

ก. ชนิดที่เป็นกรด มักจะเกิดในถ่านกัมมันต์ที่กระตุนด้วยอุณหภูมิไม่สูงมากนักประมาณ 400-500°C หมู่หน้าที่ที่เก่าอยู่บนผิวของถ่านกัมมันต์นี้จะมีสมบัติคล้ายกรดได้แก่ คาร์บอนิล ฟีโนลิก แอลกโ Tolnic และคีโตก เป็นต้น ดังแสดงในรูปที่ 2.4 โครงสร้างทางเคมีของถ่านกัมมันต์แบบนี้ค่อนข้างเสถียรแม้จะอยู่ในสภาวะกาศ โดยทั่วไปจะเสถียรที่อุณหภูมิต่ำกว่า 200°C ถ้าอุณหภูมิสูงกว่า 200°C เล็กน้อย จะมีการสลายตัวเป็นแก๊สคาร์บอนไดออกไซด์ และไอน้ำหลุดออกไป และถ้าอุณหภูมิสูงกว่านี้มากๆ จะเกิดการสลายตัวให้แก๊สคาร์บอนไดออกไซด์ และแก๊สไฮโดรเจน

๖. ชนิดที่เป็นค่าง มักจะเกิดในถ่านกัมมันต์ที่กระตุนด้วยอุณหภูมิ 800-900°C หมุนนำไปที่ท่อญี่ปุ่นผิวถ่านกัมมันต์สามารถดูดซับโมเลกุลของกรดได้ดี ได้แก่ ไฮดรอกไซด์ และคาร์บอนเนต เป็นต้น



รูปที่ 2.4 ตัวอย่างหมู่หน้าที่บนผิวถ่านกัมมันต์

ตารางที่ 2.3 สมบัติของหมู่หน้าที่

หมู่หน้าที่	สมบัติ	ลักษณะ
Carboxylic group	สภาพข้าว	มีข้าว
	แรงยึดเหนี่ยวระหว่างโมเลกุล	พันธะไฮdroเจนและแรงแวงเดอร์วาลส์
	ความเป็นกรด-เบส	มีความเป็นกรด
Phenolic group	จุดเดือด	จุดเดือดสูง
	สภาพข้าว	มีข้าว
	แรงยึดเหนี่ยวระหว่างโมเลกุล	พันธะไฮdroเจนและแรงแวงเดอร์วาลส์
Lactonic group	ความเป็นกรด-เบส	มีความเป็นกรด
	จุดเดือด	จุดเดือดสูง
	สภาพข้าว	มีข้าว
Carbonyl group	แรงยึดเหนี่ยวระหว่างโมเลกุล	แรงแวงเดอร์วาลส์
	ความเป็นกรด-เบส	มีความเป็นกรด
	จุดเดือด	จุดเดือดต่ำ
Amine group	สภาพข้าว	มีข้าว
	แรงยึดเหนี่ยวระหว่างโมเลกุล	พันธะไฮdroเจนแรงแวงเดอร์วาลส์
	ความเป็นกรด-เบส	มีความเป็นกรด
	จุดเดือด	จุดเดือดสูง

จากการที่ผู้วิจัยได้ทำการศึกษางานวิจัยที่เกี่ยวข้องกับงานวิจัยนี้ พบว่ามีผู้วิจัยหลายท่านได้ทำการทดลองไว้ก่อนหน้านี้ ได้แก่

เกรรา นูตาลีย และคณะ [11] ได้ทำการทดลองนำพีทที่ผ่านร่องขนาด 60 เมช มาพรมกับแป้งมันสำปะหลังสุก (แป้ง 15 g ในน้ำ 390 mL) โดยใช้น้ำหนักแป้งร้อยละ 5 ของน้ำหนักคินพู แห้งอัดให้เป็นเม็ด อบให้แห้งที่อุณหภูมิ 110°C นำไปคาร์บอนไนซ์ที่อุณหภูมิ 500°C จนนั่นนำไปกระตุ้นในเตาเผาแบบหมุนที่มีเส้นผ่านศูนย์กลางของเบด 10 cm. และยาว 35 cm. ที่อุณหภูมิ 800

และ  $900^{\circ}\text{C}$  แปรเวลาที่ 1, 2, 3, และ 4 ชั่วโมง ผ่านความดันไอน้ำ  $20 \text{ lb/in}^2$  พนว่าที่อุณหภูมิ  $900^{\circ}\text{C}$  เป็นเวลา 4 ชั่วโมง ถ่านกัมมันต์ที่ได้มีสมบัติดังนี้ คือ ค่าไอโอดีน  $1,200 \text{ mg/g}$  ค่าการคุณซับเมธิลีนบสู  $296 \text{ mg/g}$  พื้นที่ผิว  $881 \text{ m}^2/\text{g}$  และผลิตภัณฑ์ที่ได้คิดเป็นร้อยละ 8

นเรศ จันทร์เทียน และคณะ [12] ได้ทำการศึกษาความเป็นไปได้ที่จะนำกระดาษ-toned มาผลิตถ่านกัมมันต์ โดยใช้ไอน้ำอิ่มตัวของยิ่งในเครื่องแอคติเวเตอร์แบบฟลูอิโอดีซ์เบด และใช้ชิ้นคงคลอไรด์ในเครื่องแอคติเวเตอร์แบบเบนดิ่ง การผลิตถ่านกัมมันต์ด้วยไอน้ำอิ่มตัวของยิ่งในเครื่อง แอคติเวเตอร์แบบฟลูอิโอดีซ์เบด ทดลองโดยทำการคราร์บอนไซด์ในช่องกระดาษ-toned ในเตาเผาไฟฟ้า ที่ อุณหภูมิ  $300^{\circ}\text{C}$  เป็นเวลา 2 ชั่วโมง ขนาดอนุภาค  $2\text{-}5 \text{ mm}$ . กระตุ้นด้วยไอน้ำอิ่มตัวของยิ่งในเครื่อง แอคติเวเตอร์แบบฟลูอิโอดีซ์เบด ซึ่งมีลักษณะเป็นท่อทรงกระบอกที่ทำการแต่งแต่แลส เบอร์ 316 หนา  $4 \text{ mm}$ . เส้นผ่านศูนย์กลาง  $12 \text{ cm}$ . สูง  $50 \text{ cm}$ . ที่อุณหภูมิ  $900^{\circ}\text{C}$  เป็นเวลา 1 ชั่วโมง ถ่านกัมมันต์ที่ได้ มีสมบัติดังนี้ คือ ค่าการคุณซับเมธิลีนบสู  $0.2 \text{ mg/g}$  ค่าการคุณซับไอโอดีน  $600 \text{ mg/g}$  สำรวจการ ผลิตถ่านกัมมันต์ด้วยชิ้นคงคลอไรด์ในเครื่องปฏิกรณ์แบบเบนดิ่ง ทดลองโดยการโรบินช์ช่องกระดาษ-toned ในเครื่องคราร์บอนไซด์ในเซอร์ที่ อุณหภูมิ  $300^{\circ}\text{C}$  เป็นเวลา 2 ชั่วโมง นำมาคัดขนาด  $2\text{-}5 \text{ mm}$ . แล้วแช่ในสารละลายชิ้นคงคลอไรด์ เพิ่มน้ำร้อยละ 50 โดยใช้ถ่าน  $3 \text{ g}$  ต่อสารละลายชิ้นคงคลอไรด์  $9 \text{ mL}$  นำไปกระตุ้นในเตาเผา ที่อุณหภูมิ  $500^{\circ}\text{C}$  เป็นเวลา 30 นาที ถ่านกัมมันต์ที่ได้มีสมบัติดังนี้ คือ ค่าการคุณซับเมธิลีนบสู  $362\text{-}376 \text{ mg/g}$  ค่าการคุณซับไอโอดีน  $1088\text{-}1117 \text{ mg/g}$

นิชชรี นิลนันท์ [7] ได้ทำการทดลองผลิตถ่านกัมมันต์จากไม้ไก่ด้วยวิธีการกระตุ้น ด้วยไอน้ำร้อนของยิ่งกับแก๊สคาร์บอน ไดออกไซด์ สภาพที่เหมาะสมในการคราร์บอนไซด์ที่ อุณหภูมิ  $300^{\circ}\text{C}$  เป็นเวลา 1 ชั่วโมง และทำการกระตุ้นที่อุณหภูมิ  $850^{\circ}\text{C}$  เป็นเวลา 60 นาที ขนาด อนุภาค  $0.6\text{-}1.2 \text{ mm}$  โดยใช้ไอน้ำร้อนของยิ่งกับแก๊สคาร์บอน ไดออกไซด์ในอัตราไฟล  $5 \text{ L/min}$  ถ่านกัมมันต์ที่ได้มีสมบัติดังนี้ คือ ค่าการคุณซับไอโอดีน  $675 \text{ mg/g}$  ค่าการคุณซับเมธิลีนบสู  $254 \text{ mg/g}$  ค่าความหนาแน่น  $0.32 \text{ g/cm}^3$  และพื้นที่ผิว  $640 \text{ m}^2/\text{g}$

บุญชัย ตระกูลมหาชัย [13] ได้ทำการทดลองผลิตถ่านกัมมันต์จากกระดาษ-toned ด้วยวิธี ทางฟิสิกส์ พนว่าสภาพที่เหมาะสม คือ ใช้ถ่านกระดาษ-toned ในการคราร์บอนไซด์ที่ อุณหภูมิ  $500^{\circ}\text{C}$  เป็น เวลา 2 ชั่วโมง ใช้ขนาดอนุภาค  $1.19\text{-}1.68 \text{ mm}$  กระตุ้นด้วยแก๊สเพรสเซมที่ได้จากการเผาไหม้หนามัน ดีเซลกับไอน้ำอิ่มตัวของยิ่ง ที่มีความเร็ว  $6.44 \text{ m/s}$  ในฟลูอิโอดีซ์เบด พนว่าถ่านกัมมันต์ที่ได้มีสมบัติ ดังนี้ คือ พื้นที่ผิว  $1,800\text{-}1,900 \text{ m}^2/\text{g}$  ค่าไอโอดีน  $1,000\text{-}1,300 \text{ mg/g}$  ค่าการคุณซับเมธิลีนบสู  $250\text{-}350 \text{ mg/g}$  ค่าถ้าร้อยละ  $10\text{-}15$  โดยน้ำหนัก และค่าร้อยละของผลิตภัณฑ์ที่ได้  $30\text{-}40$

ภัตรา ปัญญาวัฒนกิจ [14] ได้ทำการทดลองผลิตถ่านกัมมันต์จากกระดาษปาล์ม พนว่า สภาพที่เหมาะสมในการคราร์บอนไซด์ คือ อุณหภูมิ  $400^{\circ}\text{C}$  เป็นเวลา 1 ชั่วโมง ถ่านกระดาษปาล์มที่ได้มี

สมบัติดังนี้ คือ ผลไดร์ร้อยละ 32 ปริมาณเดาร้อยละ 6 ปริมาณสารระเหยร้อยละ 28 และปริมาณการบ่อนองค์ตัวร้อยละ 64 ส่วนสภาวะที่ใช้ในการกระตุ้น คือ อุณหภูมิ  $900^{\circ}\text{C}$  เป็นเวลา 1 ชั่วโมง ใช้ถ่านขนาด 0.36-0.85 mm ถ่านกัมมันต์ที่ได้มีสมบัติดังนี้ คือ ผลไดร์ร้อยละ 19 ความหนาแน่นเชิงปริมาตร  $0.53 \text{ g/cm}^3$  ค่าการดูดซับไอโอดีน  $779 \text{ mg/g}$  ค่าการดูดซับเมทิลีนบัลู  $137 \text{ mg/g}$  พื้นที่ผิว Rutheniumทั้งหมด  $670 \text{ m}^2/\text{g}$  มีประสิทธิภาพในการดูดซับอยู่ในช่วง  $147 \pm 0$  และ  $117 \pm 6 \text{ mg/g}$  ของการดูดซับไดโครเมตไออ่อน สารละลายน้ำ pH = 1 และ pH = 2

วรรณา ประชาศิริกุล [15] ได้ทำการทดลองผลิตถ่านกัมมันต์จากกล้าปalemน้ำมันโดยกระตุ้นด้วยแก๊สคาร์บอนไดออกไซด์ พบว่าสภาวะที่เหมาะสมในการการ์โบไนซ์ คือ อุณหภูมิ  $400^{\circ}\text{C}$  เป็นเวลา 60 นาที อัตราการไหลของแก๊สคาร์บอนไดออกไซด์  $0.2 \text{ L/min}$  ขนาดอนุภาคของถ่าน 1.2-2.4 mm ถ่านกัมมันต์ที่ได้มีสมบัติดังนี้ คือ ค่าการดูดซับไอโอดีน  $411 \text{ mg/g}$  ค่าการดูดซับเมทิลีนบัลู  $175 \text{ mg/g}$  ค่าความหนาแน่นป Rakqu  $0.52 \text{ g/cm}^3$  และพื้นที่ผิว BET  $476 \text{ m}^2/\text{g}$

สมใจ ขาวพันธุ์งาม [16] ได้ทำการทดลองผลิตถ่านกัมมันต์จากเกลนโดยการกระตุ้นด้วยไอน้ำและโซเดียมไฮดรอกไซด์ พบว่าสภาวะที่เหมาะสมของการกระตุ้นด้วยไอน้ำ คือ อุณหภูมิ  $700^{\circ}\text{C}$  เป็นเวลา 1 ชั่วโมง ถ่านกัมมันต์ที่ได้มีสมบัติดังนี้ คือ พื้นที่ผิว  $421 \text{ m}^2/\text{g}$  ปริมาณการดูดซับของเหลวโทลูอินและไอระเหยโทลูอินร้อยละ 12 และ 8 โดยน้ำหนัก ส่วนสภาวะที่เหมาะสมที่ใช้ในการกระตุ้นด้วยโซเดียมไฮดรอกไซด์ คือ อุณหภูมิ  $500^{\circ}\text{C}$  เป็นเวลา 30 นาที ถ่านกัมมันต์ที่ได้มีสมบัติดังนี้ คือ พื้นที่ผิว  $347 \text{ m}^2/\text{g}$  ปริมาณการดูดซับของเหลวโทลูอินร้อยละ 26 และ 52 โดยน้ำหนัก จากการทดลอง พบว่าถ่านกัมมันต์จากเกลนโดยการกระตุ้นด้วยโซเดียมไฮดรอกไซด์มีปริมาณการดูดซับไอระเหยโทลูอินสูงกว่าถ่านกัมมันต์ที่กระตุ้นด้วยไอน้ำ

อรุณ ขาวเมืองน้อย และศุภลักษณ์ กิตชัย [17] ได้ทำการทดลองผลิตถ่านกัมมันต์จากกล้าปalemน้ำมันโดยการการ์โบไนซ์ และกระตุ้นด้วยไอน้ำยิ่งขวดในเบคนิ่ง โดยทำการการ์โบไนซ์ ในช่วงอุณหภูมิ  $400\text{-}500^{\circ}\text{C}$  เป็นเวลา 5-11 ชั่วโมง พบว่าสภาวะที่เหมาะสมสำหรับการการ์โบไนซ์ คือ อุณหภูมิเบ肯  $400^{\circ}\text{C}$  เป็นเวลา 9 ชั่วโมง ถ่านกัมมันต์ที่ได้มีสมบัติดังนี้ คือ ผลิตภัณฑ์เป็นถ่านกล้าร้อยละ 47 ปริมาณการบ่อนองค์ตัวร้อยละ 68 ปริมาณสารระเหยร้อยละ 25 และ ปริมาณเดาร้อยละ 7

อุ่รวรรณ ธรรมรัตนพคุณ [18] ได้ทำการทดลองการบ่อนองค์ตัวร้อยละ 40 ในชั่วโมงในถ่านน้ำมันขนาด 200 L และวันน้ำมกระตุ้นด้วยไอน้ำอิ่มตัวยิ่งขวดในเตาเผาแบบหมุน ที่ทำด้วยเหล็กไร้สนิม ขนาดเส้นผ่าศูนย์กลาง  $10 \text{ cm}$  ปลายแต่ละด้านปิดด้วยตะแกรงเพื่อป้องกันไม่ให้ถ่านหลุดออกไปท่อหมุนในแนวโนนด้วยอัตรา 4 รอบต่อนาที สภาวะที่ใช้คือ ถ่านขนาด  $4\text{-}10 \text{ เมซ}$  ( $2.00\text{-}4.76 \text{ mm}$ ) ครั้งละ 500 อุณหภูมิ  $700\text{-}1,500^{\circ}\text{C}$  ระยะเวลาตั้งแต่ 30, 40, 45, 50, 55, 60, 90, 105, 110 และ 130

นาที จากผลการทดลอง พบร่วมกันกับมันต์ที่ได้มีสมบัติดังนี้ คือ ค่าการดูดซับไออกอีน  $1,540 \text{ mg/g}$  ค่าการดูดซับเมทธิลีนบลู  $5-371 \text{ mg/g}$  ค่าความแข็ง  $30-42$  และความหนาแน่นปูรากญี่ปุ่น  $0.31-0.59 \text{ g/cm}^3$

Guzel, F [19] ได้ทำการศึกษาพิวของถ่านกัมมันต์ชนิดที่เป็นกรด โดยทำการดูดซับ เมทธิลีนบลู และเมลาเมิน พบร่วมกับอุณหภูมิ  $298 \text{ K}$  พิวของถ่านกัมมันต์มีปริมาณของเมทธิลีนบลู มากกว่าเมลาเมิน ทั้งนี้ เพราะว่าเมลาเมินถูกผลักออกจากพิวของถ่านกัมมันต์ ส่วนเมทธิลีนบลูถูกดึงเข้าสู่พิวของถ่านกัมมันต์

Mohd Zobir Hussein และคณะ [20] ได้ทำการทดลองผลิตถ่านกัมมันต์จากเปลือกต้นปาล์ม โดยการกระตุ้นด้วยซิงค์คลอไรด์ และการบ่อนไฮดรอกไซด์ การใช้แก๊สการบ่อนไฮดรอกไซด์เป็นตัวกระตุ้นเพียงอย่างเดียวเท่านั้นที่ทำให้ถ่านกัมมันต์ที่ผลิตได้มีสมบัติเป็นเบส ( $\text{pH}=10$ ) ส่วนการใช้ซิงค์คลอไรด์เป็นตัวร่วมในการกระตุ้นจะทำให้ถ่านกัมมันต์ที่ได้มีสมบัติเป็นกรด ( $\text{pH}$  ประมาณ 6.6) จากการศึกษาพบว่าการใช้ความเข้มข้นของซิงค์คลอไรด์ในช่วงร้อยละ 0-10 จะทำให้ได้รูปrunขนาดเล็ก และเมื่อเพิ่มความเข้มข้นของซิงค์คลอไรด์ขึ้นจะทำให้เกิดการเปลี่ยนแปลงของรูปrunขนาดเล็กไปเป็นรูปrunขนาดกลาง จากการทดลองพบว่ามีความเป็นไปได้ในการผลิตถ่านกัมมันต์จากเปลือกต้นปาล์ม เนื่องจากมีพื้นที่ผิวมากกว่า  $2,000 \text{ m}^2/\text{g}$



## บทที่ ๓

### วิธีการวิจัย

#### 3.1 วัสดุและอุปกรณ์

##### 3.1.1 อุปกรณ์ในการทดลอง ประกอบด้วย

1. กรวยกรอง (Glass funnel)
2. กระดาษกรอง (Whatman filter paper) เบอร์ 2
3. กระดาษลิตมัส
4. ขวดปรับปริมาตร (Volumetric flask) ขนาด 1,000 mL
5. ขวดน้ำกลั่น (Inject bottle)
6. ขวดรูปชنمพู่ (Conical flask) ขนาด 250 mL
7. เครื่องกวนแม่เหล็ก (Magnetic stirrer)
8. เครื่องชั่ง (Balance)
9. ช้อนตักสาร (Spoon)
10. เดซิคเกเตอร์ (Desiccators)
11. เตาอบ (Oven)
12. เตาให้ความร้อน (Hot plate)
13. เตาเผา (Furnace)
14. ถ้วยทนความร้อน (Crucible) ขนาด 50 mL
15. แท่นแก้ว (Stirrer)
16. บีกเกอร์ (Beaker) ขนาด 100, 400, 600 และ 1000 mL
17. หลอดหยด (Dropper)
18. อะลูมิเนียมฟอยล์ (Aluminium foil)

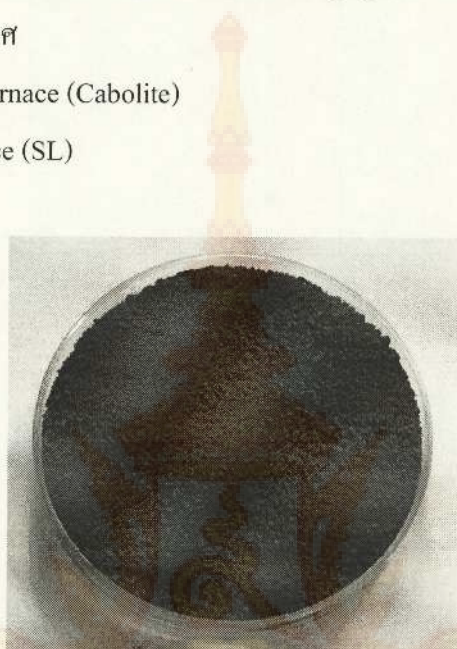
##### 3.1.2 วัสดุและสารเคมี ประกอบด้วย

1. กากกาแฟจากบริษัทชาร์ลี คอฟฟี่ แอนด์ ที (รูปที่ 3.1) ————— ๑๖๗๐
2. ซิงค์คลอไรด์ (Zinc Chloride,  $ZnCl_2$ ) Fluka
3. โซเดียมไฮド록ไซด์ (Sodium Hydroxide, NaOH) UNIVAR

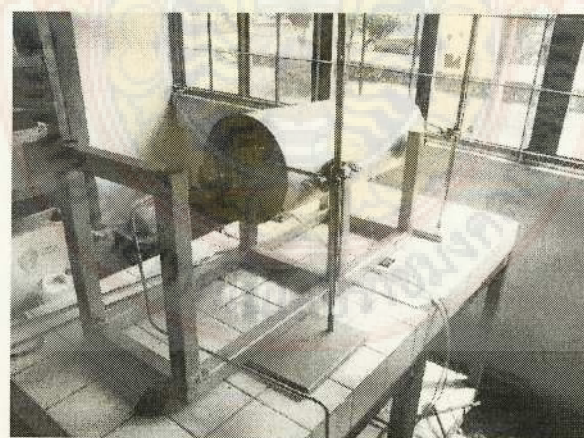
4. โซเดียมคลอไรด์ (Sodium Chloride, NaCl) UNIVAR

3.1.3 เครื่องมือทดลองและเครื่องมือวิเคราะห์

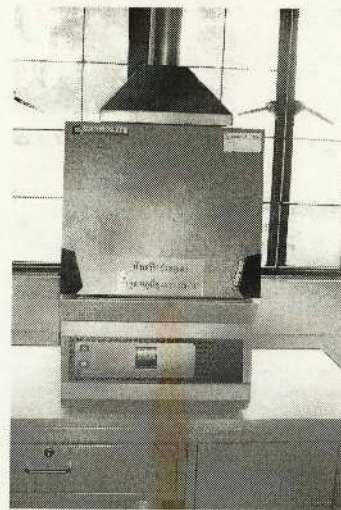
1. เครื่องชั่งละเอียด ทศนิยม 4 ตำแหน่ง
2. แผ่นให้ความร้อนพร้อมที่กวนด้วยแม่เหล็ก
3. เครื่องแก๊สโคมาราฟ (Gas Chromatograph)
4. ปืนสูญญากาศ
5. Chamber Furnace (Cabolite)
6. Tube Furnace (SL)



รูปที่ 3.1 ถักยณะของากกาไฟ



รูปที่ 3.2 Tube Furnace



รูปที่ 3.3 Chamber Furnace

### 3.2 ขั้นตอนการผลิตถ่านกัมมันต์

- 3.2.1 นำกาแกแฟไปคัดขนาดโดยผ่านตะแกรงคัดขนาด เบอร์ 8
- 3.2.2 นำกาแกแฟที่คัดขนาดแล้วไปอบให้แห้งที่อุณหภูมิ  $110^{\circ}\text{C}$  เวลา 3 ชั่วโมง และปล่อยให้เย็นในเดซิเกเตอร์
- 3.2.3 ชั้นกาแกแฟที่ผ่านการอบและคัดขนาดแล้วปริมาณ 50-70 กรัม ใส่ในถ้วยทนความร้อน และปิดฝา
- 3.2.4 เผากาแกแฟที่อุณหภูมิ  $400^{\circ}\text{C}$  เป็นเวลา 1, 2 และ 3 ชั่วโมง และปล่อยให้เย็นในเดซิเกเตอร์
- 3.2.5 ชั้นนำหนักถ่านหลังการเผาและเก็บในภาชนะที่ป้องกันความชื้นได้
- 3.2.6 ทำการทดลองซ้ำในข้อ 3.2.4 โดยเปลี่ยนอุณหภูมิเป็น  $500$  และ  $600^{\circ}\text{C}$  ตามลำดับ
- 3.2.7 วิเคราะห์สมบัติทางกายภาพของถ่านกาแกแฟที่ได้จากการครัวโน๊บในชั้นทั้งหมด 9 ตัวอย่างโดยเครื่อง Gas sorption analyzer เพื่อหาภาวะที่เหมาะสมในการกระศุนให้เป็นถ่านกัมมันต์ในขั้นตอนต่อไป
- 3.2.8 เตรียมวัตถุดิบสำหรับการกระศุน หลังจากทราบภาวะที่เหมาะสมในการครัวโน๊บในชั้นแล้ว โดยการโน๊บในชั้นกาแกแฟที่ภาวะดังกล่าวให้เพียงพอสำหรับการกระศุน แล้วเก็บตัวอย่างที่ได้ในเดซิเกเตอร์

- 3.2.9 นำถ่านกาแกฟที่อบแห้งแล้วผสมกับ  $ZnCl_2$  ในบีกเกอร์ในอัตราส่วนโดยน้ำหนักกาแกฟและ  $ZnCl_2$  เท่ากัน 1:0.5, 1:1 และ 1:1.5 กวนให้เข้ากันเป็นเวลา 10 นาที แล้วปิดให้สนิทด้วยอะลูมิเนียมฟอยล์ จากนั้นแช่ทึ่งไว้ 1 คืน
- 3.2.10 นำถ่านกาแกฟที่ผ่านการแช่สารกระตุ้นแล้วแล้วใส่ลงใน Combustion boat ขนาด 11 cm. และใช้Tube furnace เป็นอุปกรณ์กระตุ้น โดยสร้างสภาพ inert โดยใช้แก๊ส  $N_2$  ควบคุมอุณหภูมิที่  $500^{\circ}C$  เป็นเวลา 3 ชั่วโมง และปล่อยให้เย็นอย่างอิสระ
- 3.2.11 ถ้าง่านาทีได้ด้วยน้ำร้อนหลายครั้ง จนกระหั้นน้ำที่ถ่างถ่านมีสภาพเป็นกลาง ( $pH = 7$ ) ทดสอบความเป็นกลางด้วยกระดาษลิตมัส
- 3.2.12 นำถ่านไปอบให้แห้งที่อุณหภูมิ  $110^{\circ}C$  เวลา 8 ชั่วโมง ปล่อยให้เย็นในเดซิกเกเตอร์
- 3.2.13 ทดสอบช้าตั้งแต่ข้อ 3.3.9 ถึงข้อ 3.3.12 และเปลี่ยนอุณหภูมิการกระตุ้นเป็น  $600^{\circ}C$  และ  $700^{\circ}C$  ตามลำดับ หลังจากขั้นตอนนี้จะได้ถ่านกัมมันต์ที่กระตุ้นด้วย  $ZnCl_2$  จำนวน 9 ตัวอย่าง
- 3.2.14 ทดสอบช้าตั้งแต่ข้อ 3.3.9 ถึงข้อ 3.3.12 แต่เปลี่ยนสารกระตุ้นเป็น NaOH และ NaCl

### 3.3 วิธีการทดสอบสมบัติถ่านกัมมันต์

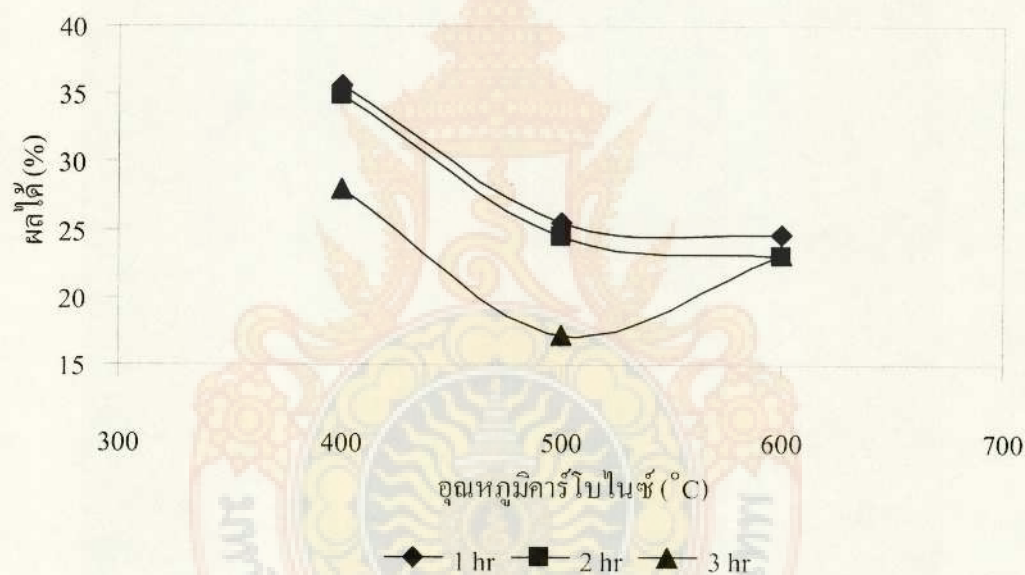
- 3.3.1 วิเคราะห์ข้อมูลเชิงกายภาพของถ่านกัมมันต์ที่ผลิตได้  
โดยเครื่อง Gas sorption analyzer ยี่ห้อ Quantachrom รุ่น Autosorb-1C ที่ภาควิชาเคมี คณะวิทยาศาสตร์ สถาบันเทคโนโลยีพระจอมเกล้าคุณทหารลาดกระบัง
- 3.3.2 วิเคราะห์โครงสร้างของถ่านกัมมันต์ที่ผลิตได้  
โดยกล้องจุลทรรศน์อิเล็กตรอนแบบส่อง粒 (Scanning electron microscope, SEM) ยี่ห้อ JEOL รุ่น JSM-6400 ที่ศูนย์เครื่องมือวิจัยวิทยาศาสตร์และเทคโนโลยี จุฬาลงกรณ์มหาวิทยาลัย
- 3.3.3 วิเคราะห์หมู่หน้าที่ (Functional groups) ของถ่านกัมมันต์ที่ผลิตได้  
โดยเครื่องฟูเรียร์ฟรานฟอร์ม อินฟราเรดスペกโตรมิเตอร์ (Fourier transform infrared, FT-IR) รุ่น 1670x ที่ศูนย์เครื่องมือวิจัยวิทยาศาสตร์และเทคโนโลยี จุฬาลงกรณ์มหาวิทยาลัย

## บทที่ 4

### ผลการทดสอบและอภิปรายผล

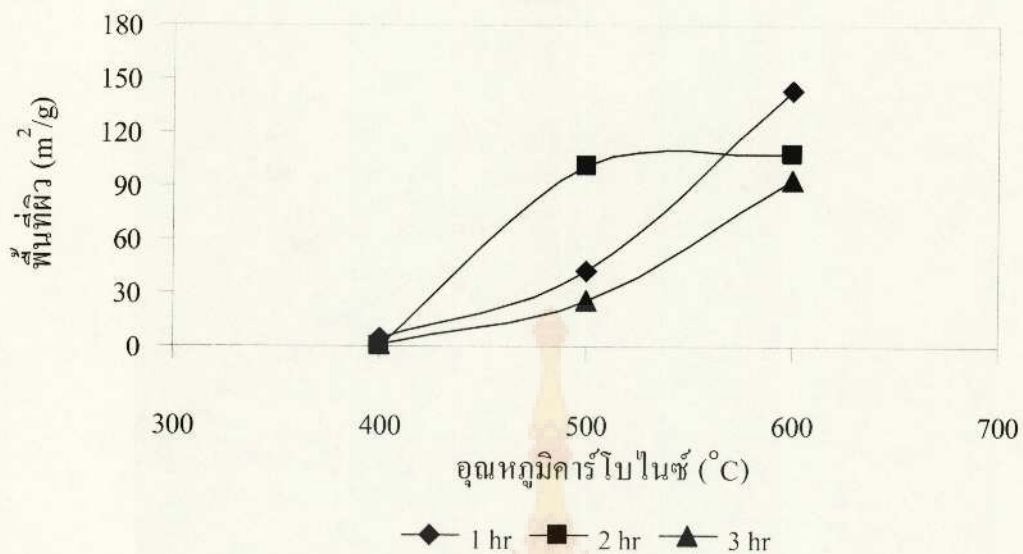
#### 4.1 อิทธิพลของอุณหภูมิการโรบไนซ์ที่มีต่อผลได้ และพื้นที่ผิวของถ่านกาแฟสด

จากการทดสอบผลิตถ่านกัมมันต์จากกาแฟสดโดยมีขั้นตอนแรก คือ การคราร์โบไนซ์ที่ อุณหภูมิ  $400$ ,  $500$  และ  $600^{\circ}\text{C}$  เป็นเวลา  $1$ ,  $2$  และ  $3$  ชั่วโมง หลังจากนั้นนำถ่านกาแฟสดที่ผ่านการคราร์โบไนซ์มาทดสอบสมบัติของถ่านเพื่อหาสภาวะที่เหมาะสมในการระดูน สามารถแสดงผลได้ดังนี้



รูปที่ 4.1 อิทธิพลของอุณหภูมิที่มีต่อผลได้ของถ่านกาแฟสดที่เวลาต่างๆ

จากการทดสอบการคราร์โบไนซ์กาแฟที่อุณหภูมิ  $400$ ,  $500$  และ  $600^{\circ}\text{C}$  เป็นเวลา  $1$ ,  $2$  และ  $3$  ชั่วโมง ผลการทดสอบดังสรุปที่ 4.1 พบว่า เมื่ออุณหภูมิเพิ่มขึ้นผลได้ของถ่านกาแฟสดที่ผ่านการคราร์โบไนซ์แล้วมีแนวโน้มลดลง เช่น การคราร์โบไนซ์ที่อุณหภูมิ  $400$ ,  $500$  และ  $600^{\circ}\text{C}$  เป็นเวลา  $1$  ชั่วโมง ผลได้ของถ่าน คือ  $35.67$ ,  $25.51$  และ  $24.65\%$  ตามลำดับ สำหรับที่อุณหภูมิและเวลาอื่นๆ ก็เป็นเดียวกันนี้ ยกเว้นที่การคราร์โบไนซ์  $600^{\circ}\text{C}$  เวลา  $3$  ชั่วโมง เท่านั้นที่เพิ่มขึ้น ดังนั้น จะเห็นได้ว่า อุณหภูมิและเวลาที่เพิ่มขึ้นมีผลต่อการลดลงของปริมาณถ่านกาแฟสด



รูปที่ 4.2 อิทธิพลของอุณหภูมิที่มีต่อพื้นที่ผิวของถ่านกาแกฟที่เวลาต่างๆ

จากการทดลองかる์โบไนซ์จะได้ถ่านกาแกฟที่สภาพะต่างๆ ซึ่งถ่านกาแกฟที่ได้ทดสอบสมบัติทางกายภาพเพื่อหาสภาพะที่เหมาะสมในการนำไปผลิตเป็นถ่านกัมมันต์ จากการทดสอบ ดังรูปที่ 4.2 จะเห็นได้ว่าพื้นที่ผิวของถ่านกาแกฟมีแนวโน้มเพิ่มขึ้น เช่น อุณหภูมิการบูรพาในชั้น 400, 500 และ 600 °C เป็นเวลา 1 ชั่วโมง จะมีพื้นที่ผิวของถ่านกาแกฟเท่ากับ 5, 43 และ 143 m<sup>2</sup>/g ตามลำดับ และที่อุณหภูมิ และเวลาการกระตุนอื่นก็เป็นเช่นเดียวกันนี้ ดังนั้น จะเห็นได้ว่า อุณหภูมิที่เพิ่มขึ้นมีผลต่อการเพิ่มขึ้นของพื้นที่ผิวถ่านกาแกฟ ซึ่งข้อมูลที่ได้จากการทดลองใน ขั้นตอน Carbonization นี้ถูกรวมไว้ดังตารางที่ 4.1

**ตารางที่ 4.1** ผลได้พื้นที่ผิว ความหนาแน่นจริง และความหนาแน่นปรากฏ ของถ่านจากกาแฟ  
จากการคั่วในเซ็น

ตัวอย่าง	อุณหภูมิ ( $^{\circ}\text{C}$ )	เวลาการคั่วในชั่วโมง (hr)	น้ำหนักกาแฟ (g)	น้ำหนักถ่าน (g)	ผลได (%)	พื้นที่ผิว ( $\text{m}^2/\text{g}$ )	ความ	ความ
							หนาแน่นจริง (g/mL)	หนาแน่นปรากฏ (g/mL)
1		1	89.91	32.07	35.67	4.80	0.75	0.45
2	400	2	84.32	29.38	34.84	0.36	0.76	0.46
3		3	82.93	21.27	28.06	1.31	0.74	0.38
4		1	82.81	21.13	25.51	42.74	0.70	0.39
5	500	2	80.25	19.66	24.50	100.89	0.72	0.37
6		3	80.52	13.80	17.14	25.07	0.69	0.38
7		1	80.50	19.84	24.65	143.16	0.67	0.31
8	600	2	84.09	19.92	22.98	107.46	0.65	0.29
9		3	87.57	17.71	20.22	93.35	0.64	0.30

ดังนี้ในขั้นตอนการเตรียมเป็นถ่านกัมมันต์ วัตถุคิดเห็นที่ใช้ในการผลิตจะเป็นถ่านกาแฟที่ได้จากการคั่ว 1 ชั่วโมง ซึ่งมีผลไดเท่ากับ 24.65% เนื่องจากพื้นที่ผิวของถ่านกาแฟที่ได้มีค่าสูงสุดเท่ากับ  $143 \text{ m}^2/\text{g}$

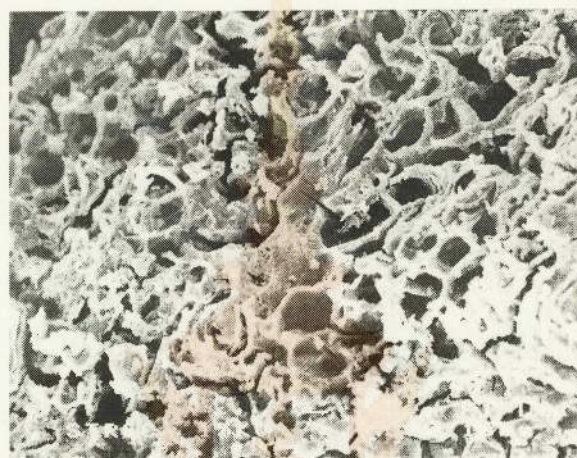
เพื่อให้การจัดเรียงข้อมูลในงานวิจัยนี้เป็นไปอย่างมีระบบ สัญลักษณ์ต่างๆ จึงถูกนำมาใช้เพื่อใช้เรียกแทนตัวอย่างถ่านกัมมันต์ในสภาวะต่างๆ ดังตารางที่ 4.2

ตารางที่ 4.2 สัญลักษณ์แทนถ่านกัมมันต์ในแต่ละสภาพ

ตัวอย่างที่	สารกระตุ้น	อุณหภูมิกระตุ้น ( $^{\circ}\text{C}$ )	สัดส่วนโดยน้ำหนัก ถ่านกาการไฟฟ้า:สารกระตุ้น	สัญลักษณ์
1	$\text{ZnCl}_2$	500	1:0.5	<b>0.5Zn500</b>
2	$\text{ZnCl}_2$	500	1:1	<b>1Zn500</b>
3	$\text{ZnCl}_2$	500	1:1.5	<b>1.5Zn500</b>
4	$\text{ZnCl}_2$	600	1:0.5	<b>0.5Zn600</b>
5	$\text{ZnCl}_2$	600	1:1	<b>1Zn600</b>
6	$\text{ZnCl}_2$	600	1:1.5	<b>1.5Zn600</b>
7	$\text{ZnCl}_2$	700	1:0.5	<b>0.5Zn700</b>
8	$\text{ZnCl}_2$	700	1:1	<b>1Zn700</b>
9	$\text{ZnCl}_2$	700	1:1.5	<b>1.5Zn700</b>
10	$\text{NaCl}$	500	1:0.5	<b>0.5NaCl500</b>
11	$\text{NaCl}$	500	1:1	<b>1NaCl500</b>
12	$\text{NaCl}$	500	1:1.5	<b>1.5NaCl500</b>
13	$\text{NaCl}$	600	1:0.5	<b>0.5NaCl600</b>
14	$\text{NaCl}$	600	1:1	<b>1NaCl600</b>
15	$\text{NaCl}$	600	1:1.5	<b>1.5NaCl600</b>
16	$\text{NaCl}$	700	1:0.5	<b>0.5NaCl700</b>
17	$\text{NaCl}$	700	1:1	<b>1NaCl700</b>
18	$\text{NaCl}$	700	1:1.5	<b>1.5NaCl700</b>
19	$\text{NaOH}$	500	1:0.5	<b>0.5NaOH500</b>
20	$\text{NaOH}$	500	1:1	<b>1NaOH500</b>
21	$\text{NaOH}$	500	1:1.5	<b>1.5NaOH500</b>
22	$\text{NaOH}$	600	1:0.5	<b>0.5NaOH600</b>
23	$\text{NaOH}$	600	1:1	<b>1NaOH600</b>
24	$\text{NaOH}$	600	1:1.5	<b>1.5NaOH600</b>
25	$\text{NaOH}$	700	1:0.5	<b>0.5NaOH700</b>
26	$\text{NaOH}$	700	1:1	<b>1NaOH700</b>
27	$\text{NaOH}$	700	1:1.5	<b>1.5NaOH700</b>

#### 4.2 ผลจากเครื่อง SEM

ถ่านกัมมันต์ที่ผลิตได้จากสภาวะต่างๆ ดังตารางที่ 4.2 ถูกนำวิเคราะห์ด้วยเครื่องกล้องจุลทรรศน์อิเล็กตรอนแบบส่องกราด (Scanning electron microscope, SEM) ซึ่งจะสามารถแสดงโครงสร้างพื้นผิวของถ่านที่เกิดขึ้น รวมทั้งขั้นตอนการใช้ในการอธิบายความรุนแรงของปฏิกิริยาเคมีที่เกิดขึ้นระหว่างถ่านกากกาไฟและสารกระตุนได้ ซึ่งผลจากขยายภาพที่กำลังขยาย 500 เท่า สามารถแสดงได้ดังรูปต่อไปนี้



รูปที่ 4.3 SEM ของ 0.5Zn500



รูปที่ 4.4 SEM ของ 1Zn500



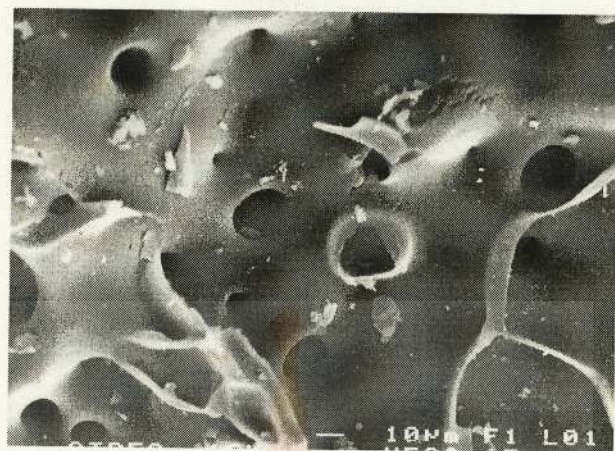
รูปที่ 4.5 SEM ของ 1.5Zn500



รูปที่ 4.6 SEM ของ 0.5Zn600



รูปที่ 4.7 SEM ของ 1Zn600



រูปที่ 4.8 SEM ของ 1.5Zn600



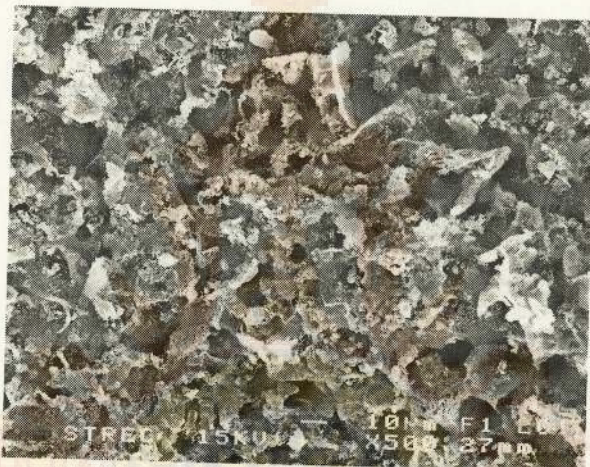
រูปที่ 4.9 SEM ของ 0.5Zn700



រูปที่ 4.10 SEM ของ 1Zn700



รูปที่ 4.11 SEM ของ 1.5Zn700



รูปที่ 4.12 SEM ของ 0.5NaCl500



รูปที่ 4.13 SEM ของ 1NaCl500



รูปที่ 4.14 SEM ของ 1.5NaCl500



รูปที่ 4.15 SEM ของ 0.5NaCl600



รูปที่ 4.16 SEM ของ 1NaCl600



รูปที่ 4.17 SEM ของ 1.5NaCl600



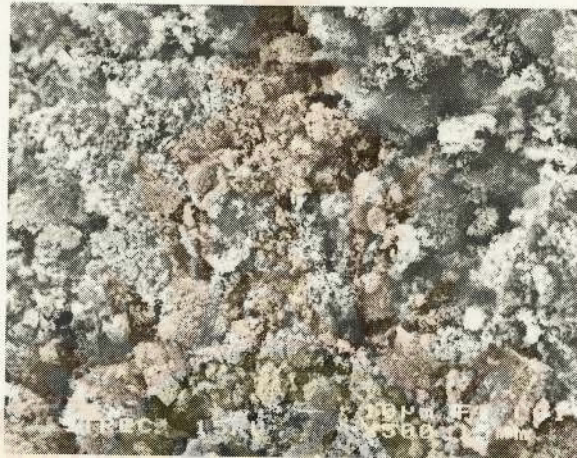
รูปที่ 4.18 SEM ของ 0.5NaCl700



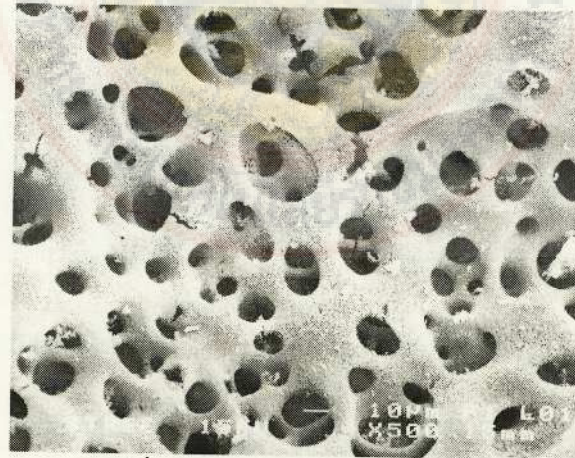
รูปที่ 4.19 SEM ของ 1NaCl700



รูปที่ 4.20 SEM ของ  $1.5\text{NaCl}700$



รูปที่ 4.21 SEM ของ  $0.5\text{NaOH}500$



รูปที่ 4.22 SEM ของ  $1\text{NaOH}500$



รูปที่ 4.23 SEM ของ 1.5NaOH500



รูปที่ 4.24 SEM ของ 0.5NaOH600



รูปที่ 4.25 SEM ของ 1NaOH600



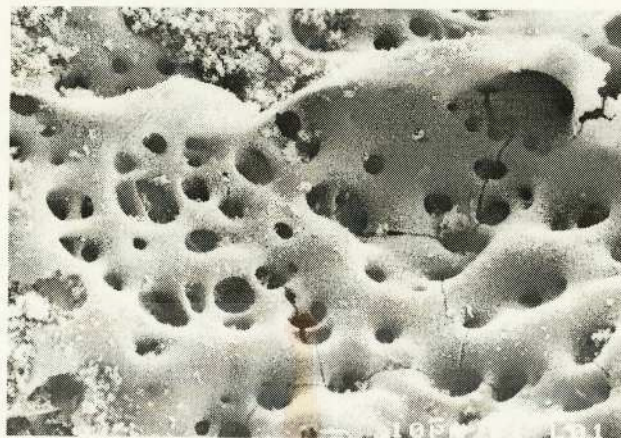
รูปที่ 4.26 SEM ของ 1.5NaOH600



รูปที่ 4.27 SEM ของ 0.5NaOH700



รูปที่ 4.28 SEM ของ 1NaOH700



รูปที่ 4.29 SEM ของ 1.5NaOH700

ผลจากการทดลองด้วยเครื่อง SEM แสดงให้เห็นผลกระทบของสารกระตุน ที่เกิดขึ้นกับผิวถ่านกาแกฟ กล่าวคือสารกระตุน  $ZnCl_2$  (รูปที่ 4.3-4.11) ส่งผลให้เกิดความพรุนอย่างมีระเบียบซึ่งแสดงอย่างเด่นชัดที่สภาวะการกระตุน  $600^{\circ}C$  และสัดส่วนสารกระตุนที่ 1:1 (รูปที่ 4.7) ในขณะที่สารกระตุน NaOH ที่สามารถสร้างรูพรุนบนผิวถ่านกัมมันต์ ได้อย่างเป็นระเบียบเข่นกันในหลายๆ ตัวอย่าง เช่น รูปที่ 4.23, 4.24 หรือ 4.29 เป็นต้น แสดงให้เห็นว่าสารกระตุนทั้งสองชนิดนี้ สร้างผลกระทบอย่างรุนแรงต่อผิวถ่านกัมมันต์ ซึ่งถ้าวิเคราะห์เชิงสมบัติทางเคมี จะพบว่าทั้ง  $ZnCl_2$  และ NaOH เป็นกรดแก่ และเป็นสแก่ ตามลำดับ ในขณะที่การใช้เกลือโซเดียม NaCl สร้างผลกระทบต่อผิวถ่านกัมมันต์ได้น้อย สังเกตได้จากผิวของถ่านกัมมันต์ที่กระตุนด้วย NaCl จะมีความแตกต่างกับผิวถ่านกาแกฟก่อนการกระตุนเพียงเล็กน้อย และรูพรุนที่เกิดขึ้นก็มีความลึกเพียงเล็กน้อยเท่านั้น

#### 4.3 ผลจากการทดลอง Gas Sorption Analyzer

เครื่อง Gas sorption analyzer ยี่ห้อ Quantachrom รุ่น Autosorb-1C ถูกนำมาใช้วิเคราะห์สมบัติทางกายภาพของถ่านกัมมันต์ที่ผลิตได้แต่ละตัวอย่าง ซึ่งอาศัยหลักการคุณซับซ้อน  $N_2$  ที่สภาวะอุณหภูมิ 77 K ข้อมูลการคุณซับและคายซับถูกบันทึกจำนวน 44 จุดและนำมาพลอตกับสมการของ BET เพื่อคำนวนปริมาณพื้นที่ผิว และขนาดรูพรุนเฉลี่ยของถ่าน ข้อมูลจากการกระตุนถ่านทั้ง 27 ตัวอย่างถูกรวมไว้ในตาราง 4.3

ตารางที่ 4.3 ข้อมูลทางกายภาพของถ่านกัมมันต์เต่อและสภาวะการผลิต

อุณหภูมิ (°C)	สารกระตุ้น ถ่านกาแกฟ:	สารกระตุ้น		NaCl		$ZnCl_2$		NaOH	
		สัดส่วนโดย น้ำหนัก	S ( $m^2/g$ )	D (nm)	S ( $m^2/g$ )	D (nm)	S ( $m^2/g$ )	D (nm)	
500	1:0.5	123	1.37	587	3.00	244	2.71		
500	1:1	166	1.35	751	2.90	259	2.94		
500	1:1.5	153	1.40	686	2.95	254	2.41		
600	1:0.5	187	1.37	713	3.02	322	2.53		
600	1:1	317	1.35	914	2.98	165	2.88		
600	1:1.5	264	1.35	858	3.21	254	2.43		
700	1:0.5	206	1.51	676	3.40	305	2.56		
700	1:1	280	1.35	850	3.26	281	2.47		
700	1:1.5	265	1.51	671	3.33	209	2.50		

#### หมายเหตุ

S คือพื้นที่ผิวของถ่านกัมมันต์ ( $m^2/g$ )

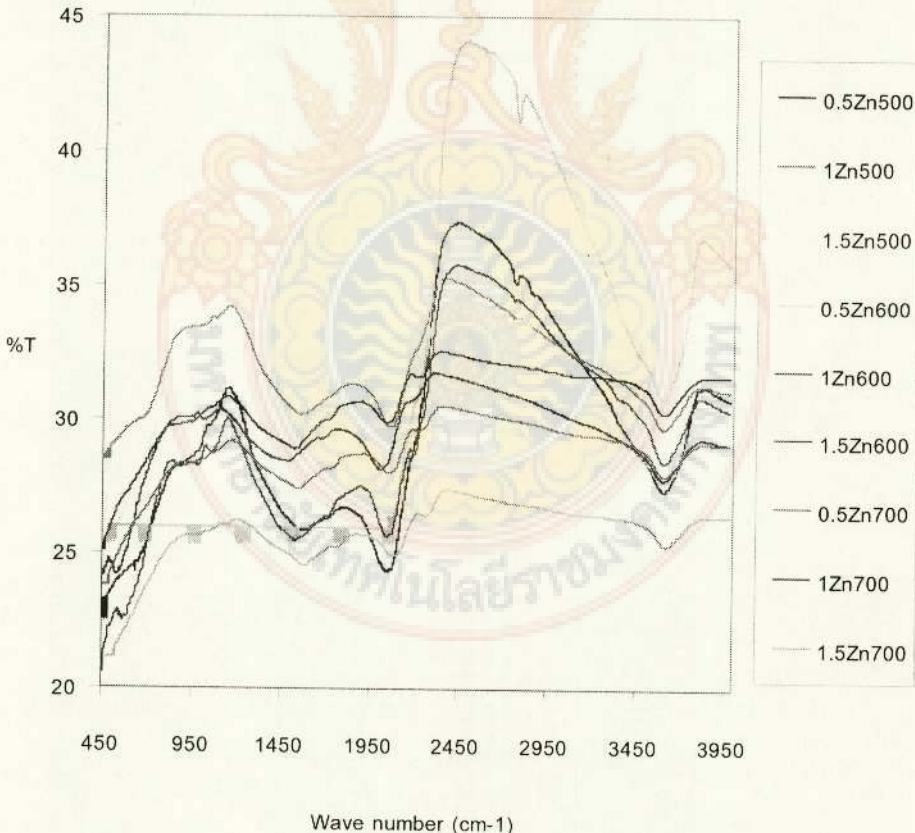
D คือขนาดรูพรุนเฉลี่ยของถ่านกัมมันต์ (nm)

ในการกระตุ้น ซึ่งใช้ NaCl และ  $ZnCl_2$  เป็นสารกระตุ้น พบว่าสารกระตุ้นทั้ง 2 ชนิดส่งผลให้ถ่านกัมมันต์จากกาแกฟที่เกิดขึ้นมีค่าพื้นที่ผิวสูงที่สุด ณ สภาวะเดียวกันคือ ที่อุณหภูมิ  $600^\circ C$  และสัดส่วนของสารกระตุ้นเป็น 1:1 อย่างไรก็ตามข้อสังเกตที่น่าสนใจสำหรับการเปลี่ยนแปลงพื้นที่ผิวตามสัดส่วนของสารกระตุ้นที่เปลี่ยนไป พบว่า ในทุกๆ สภาวะที่ทำการกระตุ้น พื้นที่ผิวของถ่านกัมมันต์จะสูงขึ้นเมื่อเพิ่มสัดส่วนของสารกระตุ้นจาก 1:0.5 เป็น 1:1 และเมื่อเพิ่มขึ้นเป็น 1:1.5 ปริมาณพื้นที่ผิวลดลง นอกจานี้ยังพบว่าสารกระตุ้น NaCl ทำให้รูพรุนของถ่านกัมมันต์อยู่ในช่วงของ Micropore คือ 1.35-1.51 nm ในขณะที่  $ZnCl_2$  ทำให้รูพรุนอยู่ในช่วง Mesopore คือ 2.90-3.4 nm ซึ่งสัมพันธ์กับขนาดโมเลกุลของสารกระตุ้นอย่างมีนัย อย่างไรก็ตามเมื่อนำ NaOH มาเป็นสารกระตุ้น พบว่าปริมาณพื้นที่ผิวเกิดขึ้นน้อย และใกล้เคียงกับการใช้ NaCl กล่าวคือพบปริมาณพื้นที่ผิวสูงสุดที่  $322 m^2/g$  ที่สภาวะ อุณหภูมิ  $600^\circ C$  และสัดส่วนของสารกระตุ้นเป็น 1:0.5 แสดงให้เห็นว่าถึงแม้ภาพจากเครื่อง SEM จะแสดงรูพรุนที่เกิดขึ้นอย่างเป็นระเบียบ จากการกระตุ้น

ด้วย NaOH แต่ปริมาณของพื้นที่ผิวที่น้อบนั้น แสดงให้เห็นว่าปฏิกิริยาการกระตุ้นนี้จะเกิดขึ้น เลขพาที่บ่อบริเวณผิวดองถ่านกัมมันต์เท่านั้น ขณะที่โครงสร้างภายในของถ่านกัมมันต์นั้น ไม่เลกุล ของ NaOH ไม่สามารถทะลุทะลวงเพื่อทำปฏิกิริยาได้ การใช้เวลาในการแช่ถ่าน (Soaking time) ที่นานมากขึ้นอาจจะช่วยให้ปริมาณพื้นที่ผิวที่ผลิตจาก NaOH มีค่ามากขึ้นได้ นอกจากนี้พบว่าถ่าน กัมมันต์ที่ผลิตจาก NaOH นี้จะมีค่ารูปฐานเฉลี่ยอยู่ที่ประมาณ 2.41-2.94 nm ซึ่งเป็นรูปฐานในช่วง Mesopore แต่จะมีขนาดเล็กกว่าการกระตุ้นด้วย  $ZnCl_2$  เล็กน้อย

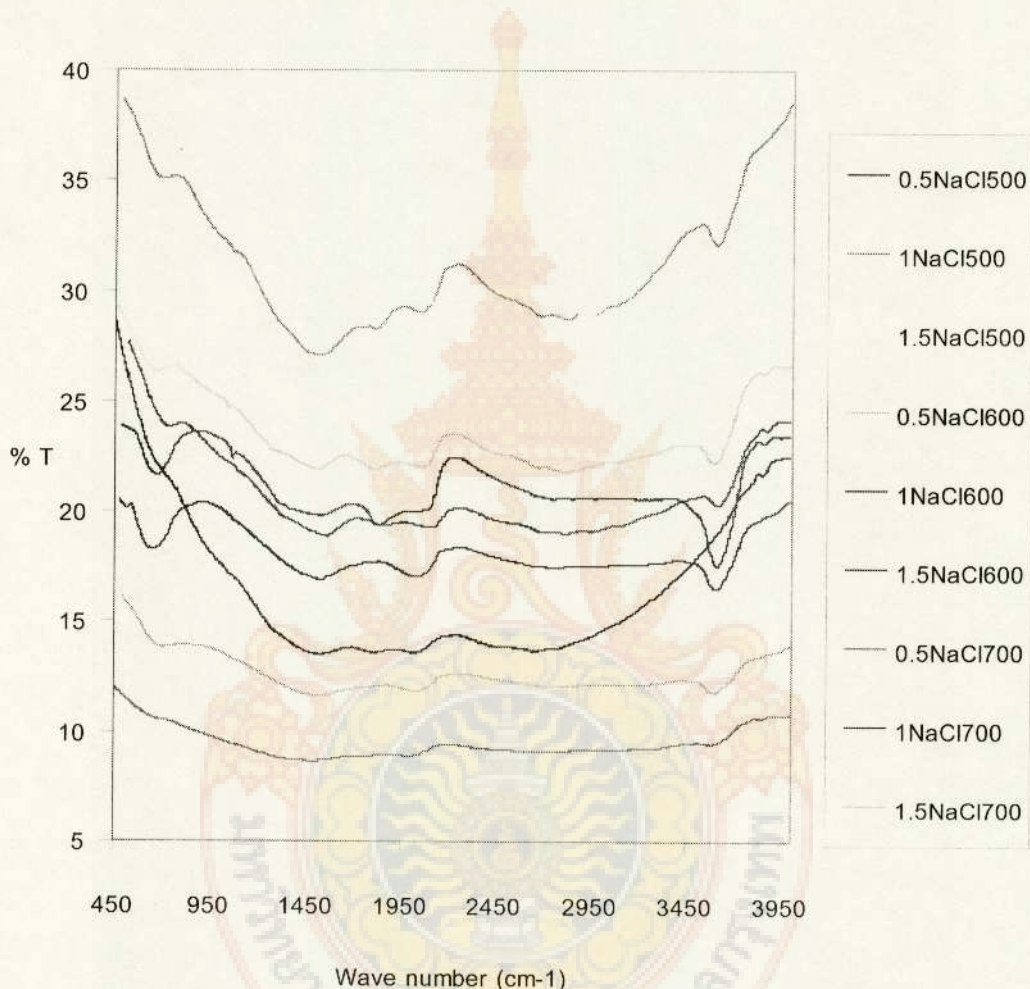
#### 4.4 ผลจากเครื่อง Fourier transforms infrared

เครื่องฟูเรียร์รามฟอร์ม อินฟราเรดスペกโตรมิเตอร์ (Fourier transform infrared, FT-IR) รุ่น 1670x ถูกนำมาใช้เพื่อวิเคราะห์หมู่ทำหน้าที่ของถ่านกัมมันต์แต่ละชนิด ข้อมูลที่ได้จากการส่วนนี้ถือ เป็นข้อมูลที่สำคัญในการประเมิน Affinity ของถ่านกัมมันต์ที่มีต่อสารอุดกุดชับชนิดต่างๆ ซึ่งจาก ผลการทดลองจะแสดงให้เห็นดังรูปต่อไปนี้



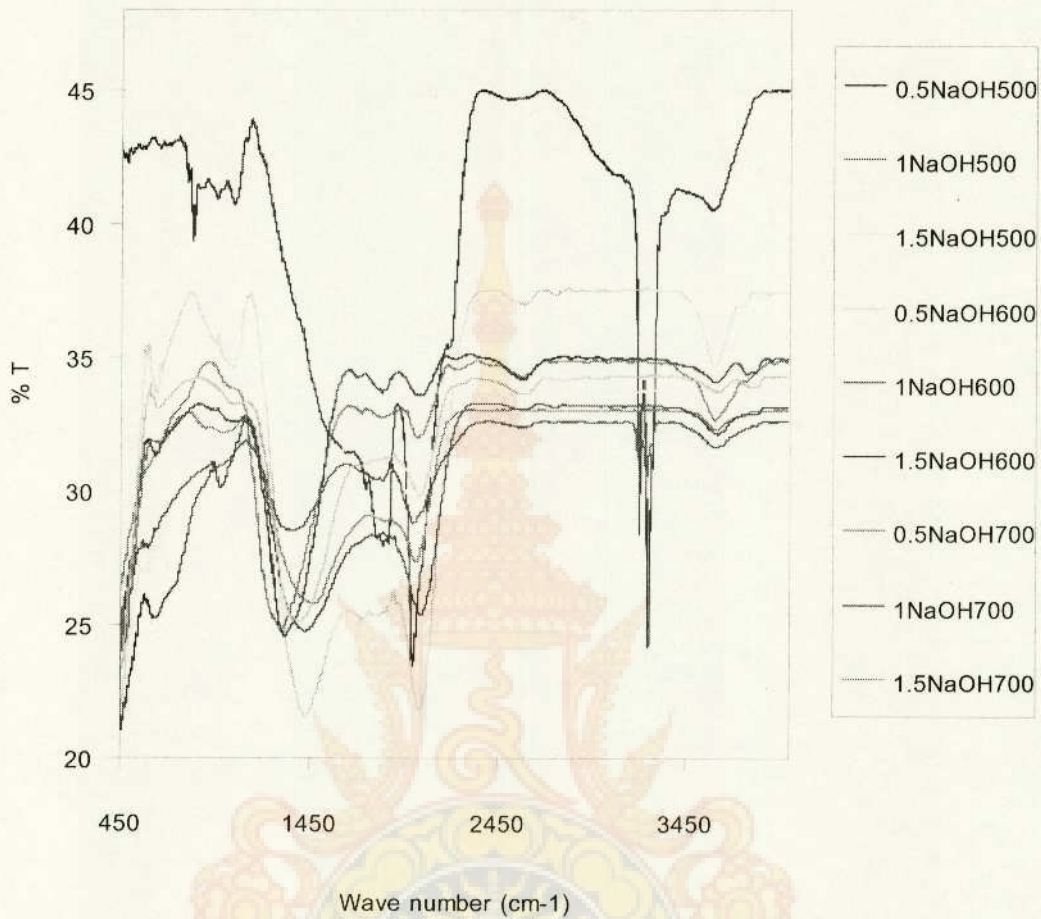
รูปที่ 4.30 FTIR สเปกตรัมของถ่านกัมมันต์กระตุ้นด้วย  $ZnCl_2$

จากผลการทดลองพบว่า ถ่านกัมมันต์ที่ถูกกระศุนด้วย  $ZnCl_2$  จะปราศจากน้ำทำหน้าที่ของไฮดรอกซิล (O-H) ที่  $3,440\text{ cm}^{-1}$  พบน้ำคาร์บอนิล (C=O) ที่  $1600\text{ cm}^{-1}$  และแทนของ -C-O-C- ที่  $1070-1275\text{ cm}^{-1}$  ซึ่งถ้าจะพิจารณาในเชิงปริมาณแล้ว จะพบว่าถ่านที่ถูกเตรียม ณ อุณหภูมิสูง ( $700^\circ C$ ) จะมีปริมาณน้ำทำหน้าที่เหลืออยู่มากกว่าที่อุณหภูมิต่ำ ( $500^\circ C$ ) ซึ่งจะสังเกตได้จากค่า %T จะมีค่าน้อย หรือแสงผ่านได้น้อยนั้นเอง



รูปที่ 4.31 FTIR สเปกตรัมของถ่านกัมมันต์กระศุนด้วย NaCl

ในขณะที่ถ่านกัมมันต์ที่ถูกกระศุนด้วย NaCl จะปราศจากน้ำทำหน้าที่เพียงเล็กน้อยเนื่องจากผลของการไม่รุนแรงในการทำปฏิกิริยาของ NaCl ต่อ คาร์บอน ได้แก่ หมู่ไฮดรอกซิล (O-H) ที่  $3,400\text{ cm}^{-1}$  และหมู่คาร์บอนิล (C=O) ที่  $1600\text{ cm}^{-1}$  ซึ่งพบในปริมาณต่ำมากๆ อย่างไรก็ดีแนวโน้มในเชิงปริมาณก็เป็นเช่นเดียวกับถ่านที่กระศุนด้วย  $ZnCl_2$  คือ ณ อุณหภูมิสูง ( $700^\circ C$ ) จะมีปริมาณน้ำทำหน้าที่เหลืออยู่มากกว่าที่อุณหภูมิต่ำ ( $500^\circ C$ )



รูปที่ 4.32 FTIR สเปกตรัมของถ่านกัมมันต์กระตุ้นด้วย NaOH

ในส่วนของถ่านกัมมันต์ที่เตรียมจาก NaOH จะพบว่า ตัวอย่างที่ 1 (0.5NaOH500) จะปรากฏ noise ของสัญญาณ IR เป็นจำนวนมาก บ่งบอกว่าสารกระตุ้นยังไม่ได้เริ่มทำงานอย่างเต็มประสิทธิภาพเนื่องจากอุณหภูมิในการกระตุ้นอาจต่ำเกินไป อย่างไรก็เดหมู่ทำหน้าที่ ไอดรอกซิด (O-H) ที่  $3,400\text{ cm}^{-1}$  ก็ยังปรากฏในทุกๆ ตัวอย่าง และที่  $1560\text{ cm}^{-1}$  จะยังพบหมู่ COO-M ปรากฏอยู่หมายถึงยังมีโลหะ Na ตกค้างอยู่ ซึ่งนั่นอาจเป็นสาเหตุที่ทำให้ปริมาณพื้นที่ผิว ของถ่านกัมมันต์ที่เตรียมจาก NaOH นี้ มีน้อย ซึ่งอาจต้องอาศัยการเพิ่มอุณหภูมิการกระตุ้นให้มากขึ้นกว่า  $700^{\circ}\text{C}$

## บทที่ 5

### สรุปผลการวิจัยและข้อเสนอแนะ

#### 5.1 สรุปผลการวิจัย

5.1.1 กระบวนการคราบในซึ่กากกาแฟที่เหมาะสมควรใช้อุณหภูมิ  $600^{\circ}\text{C}$  เป็นเวลา 1 ชั่วโมง ซึ่งจะมีผลได้เท่ากับ 24.65% เนื่องจากโครงสร้างพื้นฐานของกาแฟจะประกอบไปด้วยน้ำมัน และสารระเหยเป็นจำนวนมาก ในสภาวะดังกล่าวทำให้ได้ถ่านกาแฟที่มีพื้นที่ผิวสูงสุดเท่ากับ  $143 \text{ m}^2/\text{g}$

5.1.2 หลังจากผ่านกระบวนการกระตุ้น เป็นถ่านกัมมันต์แล้วสามารถสรุปผลการวิจัยได้หลายแนวทางดังนี้

##### - โครงสร้างของรูปธูน

ถ่านกัมมันต์ที่เตรียมจาก  $\text{ZnCl}_2$  และ  $\text{NaOH}$  จะให้โครงสร้างรูปธูนที่มีความเป็นระเบียบ และสม่ำเสมอมากกว่าเตรียมจากเกลือโซเดียม  $\text{NaCl}$  ซึ่งสร้างผลกรอบต่อผิวถ่านกัมมันต์ได้น้อย

##### - พื้นที่ผิวของถ่านกัมมันต์

ถ่านกัมมันต์ที่เตรียมจาก  $\text{ZnCl}_2$  จะให้ปริมาณพื้นที่ผิวมากที่สุดที่  $914 \text{ m}^2/\text{g}$  ที่สภาวะอุณหภูมิ  $600^{\circ}\text{C}$  สัดส่วน 1:1 ในขณะที่สารกระตุ้น  $\text{NaCl}$  และ  $\text{NaOH}$  ให้ปริมาณพื้นที่ผิวที่ใกล้เคียงกันคือ  $300-330 \text{ m}^2/\text{g}$

##### - ขนาดของรูปธูน

ขนาดรูปธูนเฉลี่ยของถ่านแต่ละชนิดมีความแตกต่างกันตามสารกระตุ้นที่ใช้ ซึ่งสามารถเรียงลำดับจากขนาดใหญ่ไปขนาดเล็กได้ดังนี้  $\text{ZnCl}_2 > \text{NaOH} > \text{NaCl}$

##### - หมู่ทำหน้าที่

ถ่านกัมมันต์ที่ถูกกระตุ้นด้วย  $\text{ZnCl}_2$  จะปราศจากหมู่ทำหน้าที่ของ ไฮดรอกซิล ( $\text{O-H}$ ) ที่  $3,440 \text{ cm}^{-1}$  พบนหมู่คาร์บอนิล ( $\text{C=O}$ ) ที่  $1600 \text{ cm}^{-1}$  และแน่นของ  $-\text{C-O-C-}$  ที่  $1070-1275 \text{ cm}^{-1}$

ถ่านกัมมันต์ที่ถูกกระตุ้นด้วย  $\text{NaCl}$  จะปราศจากหมู่ทำหน้าที่เพียงเล็กน้อยเนื่องจากผลของการไม่รุนแรงในการทำปฏิกิริยาของ  $\text{NaCl}$  ต่อ สารอน "ได้แก่หมู่ไฮดรอกซิล ( $\text{O-H}$ ) ที่  $3,400 \text{ cm}^{-1}$  และหมู่คาร์บอนิล ( $\text{C=O}$ ) ที่  $1600 \text{ cm}^{-1}$  ซึ่งพบในปริมาณจำนวนมาก

ถ่านกัมมันต์ที่เตรียมจาก NaOH จะปราศจากอนุพันธ์ทำให้ “ไฮดรอกซิล (O-H) ที่  $3,400\text{ cm}^{-1}$  และที่  $1560\text{ cm}^{-1}$  จะยังพบหมู่ COO-M ปราศจากอนุพันธ์ที่มีโลหะ Na ตกค้างอยู่ ซึ่งเป็นสาเหตุที่ทำให้ปริมาณพื้นที่ผิวของถ่านกัมมันต์ที่เตรียมจาก NaOH นี้ มีน้อย

## 5.2 ข้อเสนอแนะ

5.2.1 ควรปรับอุณหภูมิการกระตุนสำหรับ NaOH ให้มากขึ้น ผลวิจัยอาจเปลี่ยนไปในทางที่ดีขึ้น

5.2.2 คืนหายาเหลืองวัตถุคิดที่ใช้ในการผลิตถ่านกัมมันต์เพิ่มเติม โดยการเพิ่มปริมาณผลได้ให้มากขึ้น

5.2.3 ควรมีการศึกษาเปรียบเทียบประสิทธิภาพการคุ้ดชั้บระหว่างถ่านกัมมันต์จากกาแฟกับถ่านกัมมันต์ที่ใช้ในกระบวนการอุตสาหกรรม โดยจำลองตัวแปรควบคุมตามสภาวะการใช้งานจริง

## บรรณานุกรม

1. บรรจง นวลพลัง, 2530, **กาแฟพืชเศรษฐกิจระหว่างประเทศ**, สำนักพิมพ์ฐานเกษตรกรรม, สำนักอุดมศึกษา, หน้า 8-10.
2. ไชยบันต์ ไชยยะ, 2542, **การพัฒนาออกแบบเม็ดดูดซับเคมีกผลิตจากกาแฟ**, วิทยานิพนธ์ปริญญาวิศวกรรมศาสตร์บัณฑิต สาขาวิศวกรรมเคมี คณะวิศวกรรมศาสตร์ มหาวิทยาลัยเทคโนโลยีพระจอมเกล้าธนบุรี.
3. เบญจมาศ กระจ่างลาย, บริชา ตุ่นยา และเอื้อมพร ของดี, 2545, **การดูดซับโครงเมี่ยมด้วยถ่านกัมมันต์ในฟลูอิไดซ์เบด**, วิทยานิพนธ์ปริญญาวิศวกรรมศาสตร์บัณฑิต สาขาวิศวกรรมเคมี คณะวิศวกรรมศาสตร์ มหาวิทยาลัยเทคโนโลยีพระจอมเกล้าธนบุรี.
4. พลัญช์ โสภณากิจโภคล, 2544, **การผลิตถ่านกัมมันต์จากกลามะพร้าวเพื่อใช้ดูดซับโครงเมี่ยม (IV)**, วิทยานิพนธ์ปริญญาวิศวกรรมศาสตร์บัณฑิต สาขาวิศวกรรมเคมี คณะวิศวกรรมศาสตร์ มหาวิทยาลัยเทคโนโลยีพระจอมเกล้าธนบุรี.
5. วีระพงษ์ กริชพิพรธ์ และสุกัญญา ศรีสถาพร, 2532, **การผลิตถ่านกัมมันต์จากถ่านกะลามะพร้าวด้วยไอน้ำโดยฟลูอิไดเซชั่น**, วิทยานิพนธ์ปริญญาวิศวกรรมศาสตร์บัณฑิต สาขาวิศวกรรมเคมี คณะวิศวกรรมศาสตร์ มหาวิทยาลัยเทคโนโลยีพระจอมเกล้าธนบุรี.
6. คณิต วุฒินะกิจ, นัตรชัย คงเดชอุดมกุล และภูษาณิ มงคลชัยศิลป์, 2540, **การดูดซับโลหะหนักโดยใช้ถ่านกัมมันต์จากกาแฟเมล็ดกาแฟ**, วิทยานิพนธ์ปริญญาวิศวกรรมศาสตร์บัณฑิต สาขาวิศวกรรมเคมี คณะวิศวกรรมศาสตร์ มหาวิทยาลัยเทคโนโลยีพระจอมเกล้าธนบุรี.
7. นิชชารี นิลนันท์, 2540, **การผลิตถ่านกัมมันต์จากไม้ไผ่จากการดัดแปลงกระบวนการด้วยไอน้ำร้อนยิ่งยอดและการรับอนุญาตออกใช้**, วิทยานิพนธ์ปริญญาวิศวกรรมศาสตร์บัณฑิต สาขาวิศวกรรมเคมี คณะวิศวกรรมศาสตร์ มหาวิทยาลัยเทคโนโลยีพระจอมเกล้าธนบุรี.
8. เนลิม ชาวนปิง, 2545, **การปรับปรุงพื้นที่ผิวทางเคมีของถ่านกัมมันต์โดยการออกแบบชิเดชันเพื่อศึกษาความสามารถในการดูดซับอะนีลัน สีย้อม และโลหะหนักโครงเมี่ยม**, วิทยานิพนธ์ปริญญาวิศวกรรมศาสตร์บัณฑิต สาขาวิชาเทคโนโลยีพระจอมเกล้าธนบุรี.

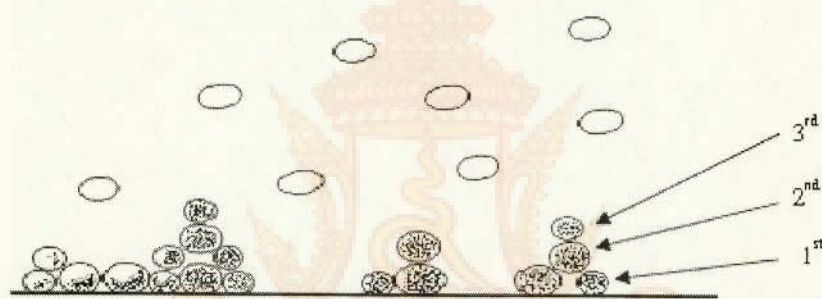
9. กฤติกา จารุทธวัย และวรรณนิกา อมาตยกุล, 2540, การผลิตถ่านกัมมันต์จากกล้าปาล์มโดยกระบวนการแตกตัวด้วยความร้อนและกระตุ้นด้วยไอน้ำ, วิทยานิพนธ์ปริญญาวิทยาศาสตรบัณฑิต สาขาวิศวกรรมศาสตร์ จุฬาลงกรณ์มหาวิทยาลัย.
10. จักริน นิธิจันทร์, 2537, การผลิตถ่านกัมมันต์ระดับขยายส่วนจากพืชโดยการนำไปเผาและกระตุ้นด้วยไอน้ำในฟลูอิไดซ์เบด, วิทยานิพนธ์ปริญญาวิทยาศาสตรบัณฑิต สาขาวิศวกรรมศาสตร์ จุฬาลงกรณ์มหาวิทยาลัย.
11. นเรศ จันทร์เทียน, วัชรศักดิ์ ฤกษ์ขุมทรัพย์ และวิทยา เจนจรัสโชค, 2534, การศึกษาความน่าจะเป็นในการนำอาดาลโคนคามาทำเป็นถ่านกัมมันต์, กรุงเทพฯ จุฬาลงกรณ์มหาวิทยาลัย.
12. รติกร อิสรassenี, 2539, การผลิตถ่านกัมมันต์จากยางรถยนต์ใช้แล้วโดยการกระตุ้นด้วยไอน้ำร้อนยิ่งวด, วิทยานิพนธ์ปริญญาวิทยาศาสตรบัณฑิต สาขาวิศวกรรมศาสตร์ จุฬาลงกรณ์มหาวิทยาลัย.
13. ราภุจิ ประชาศิริ, 2541, การผลิตถ่านกัมมันต์จากกล้าปาล์มน้ำมันโดยการกระตุ้นด้วยพลังงานไมโครเวฟ, วิทยานิพนธ์ปริญญาวิทยาศาสตรบัณฑิต สาขาวิศวกรรมศาสตร์ จุฬาลงกรณ์มหาวิทยาลัย.
14. ศุภลักษณ์ กิตชัย และอรุณ ขาวเมืองน้อย, 2538, การผลิตถ่านกัมมันต์จากกล้าปาล์มน้ำมันโดยกระบวนการกระตุ้นด้วยไอน้ำร้อนยิ่งวดในเบนนิ่ง, วิทยานิพนธ์ปริญญาวิทยาศาสตรบัณฑิต สาขาวิศวกรรมศาสตร์ จุฬาลงกรณ์มหาวิทยาลัย.
15. สุรangs รุกขอนันตากุล และอภิสิทธิ์ บริดาวรรณเดช, 2537, การผลิตถ่านกัมมันต์จากกล้าปาล์มน้ำมันโดยวิธีการกระตุ้นด้วยไอน้ำอิมดั๊ทิ่ยิ่งวดในฟลูอิไดซ์เบด, วิทยานิพนธ์ปริญญาวิทยาศาสตรบัณฑิต สาขาวิศวกรรมศาสตร์ จุฬาลงกรณ์มหาวิทยาลัย.
16. สมใจ ขาวชีพพันธุ์รุ่ง, 2545, การศึกษาการผลิตถ่านกัมมันต์จากแกลบ, สารสารเพื่อการเผยแพร่ผลงานทางวิชาการ งานด้านวิศวกรรมศาสตร์และเทคโนโลยี, ปีที่ 29, ฉบับที่ 2, หน้า 1.
17. อุไรวรรณ ธรรมรัตตคุณ, 2523, การทำถ่านกัมมันต์จากกล้ามมะพร้าวโดยการกระตุ้นด้วยไอน้ำ, งานวิจัยเพื่อบริการอุตสาหกรรม กองวิจัย กระทรวงวิทยาศาสตร์เทคโนโลยีและสิ่งแวดล้อม.

18. J.E. Atwater, J.R. Akse and T.-C. Wang, 2001, "Preparation of silicon-carbide-coated activated carbon using a high-temperature fluidized bed reactor", **Journal of Chemical Engineering Science**, [Electronic], Vol. 56, No. 8., pp. 2685-2693, Available : Science Direct [2006, January 15].
19. Juan F. Gonzalez, Jose M. Encinar and Canmen M. Gonzalez-Garcia, 2005, "Preparation of activated carbon from used tyres by gasification with steam and carbon dioxide", **Journal of applied surface science**, [Electronic], Available : Science Direct [2006, January 15].
20. Martin-Gullon, M. Asensio R. Font and A. Marcilla, 1999, "Steam-activated carbon from a bituminous coal in a continuous multistage fluidized bed pilot plant", **Journal of carbon**, [Electronic], Vol. 34, No. 12., pp. 1515-1520, Available : Science Direct [2006, January 15].
21. เกศิณี สาวงโภ, กัทรนันท์ ชัยชนะ และวสันต์ พราทิพย์เจริญ, 2546, การพัฒนาสารกรุดความชื้นสังเคราะห์ด้วยวิธีโซล-เจล, วิศวกรรมเคมี คณะวิศวกรรมศาสตร์ มหาวิทยาลัยเทคโนโลยีพระจอมเกล้าธนบุรี.
22. ประวิทัย ตันจันวนิ, 2540, เอกสารประกอบคำสอน 09-320-286 เคมีตะตะถิสต์, แผนกเอกสารการพิมพ์, หน้า 33-34.
23. วีระศักดิ์ อุดมกิจเดชา และคณะ, 2543, "เครื่องมือวิจัยทางวิทยาศาสตร์ : ทฤษฎีและหลักการทำงานเบื้องต้น", โรงพิมพ์แห่งจุฬาลงกรณ์มหาวิทยาลัย, หน้า 289-305.
24. แม่น อัมรสถิที, อัมร เพชรสม, 2539, หลักการและเทคนิคการวิเคราะห์เชิงเครื่องมือ, ชวนพิมพ์, หน้า 108-136.

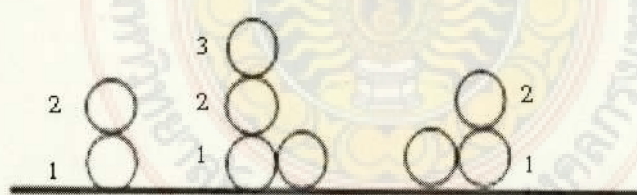
## ภาคผนวก

### A สมการของ Brunauer-Emmett-Teller (BET) [21]

ในปี 1933 Brunauer-Emmett-Teller ได้ศึกษากลไกของการดูดซับต่อจาก Langmuir ในส่วนที่เกี่ยวกับการจัดเรียงโมเลกุลของสารดูดซับในชั้นที่สูงกว่า ทั้งนี้ เพราะก่อนหน้านั้นเขาได้หลักฐานจากการทดลองที่ยืนยันได้แน่ชัดว่า การดูดซับจะไม่เกิดขึ้นเพียงครั้งเดียว แต่จะมีการดูดซับในชั้นที่สองและชั้นที่สูงกว่าติดตามมาด้วยเสมอ ตามแนวความคิดของ BET ถือว่าเมื่อระบบอยู่ในสมดุลที่ความดันย่อยในแต่ละฐานดูดซับบนพื้นที่ผิวจะมีโมเลกุลของสารถูกดูดซับจำนวนหนึ่งกลับตัวอยู่บนฐานดูดซับแต่ละฐานมากน้อยต่างกัน ดังแสดงในรูปที่ A1 และ รูปที่ A2



รูปที่ A1 แบบจำลองการดูดซับโมเลกุลหลายชั้น



รูปที่ A2 The BET model for adsorption

จากข้อสมมติฐานทั้งหมดจะให้สมการดังต่อไปนี้ [22]

$$\frac{P}{V(P_0 - P)} = \frac{1}{V_m C} + \frac{(C-1)P}{V_m CP_0} \quad (A1)$$

โดยที่	$V$ คือ ปริมาตรของแก๊สที่อุกคูดซับที่ความดัน $P$
	$V_m$ คือ ปริมาตรของแก๊สที่อุกคูดซับเพื่อกีดเป็นแบบชั้นเดียว (monolayer)
	$P_0$ คือ ความดันไอยومตัว (saturation pressure) ของแก๊สที่อุณหภูมิคงคล่อง
	$C$ คือ ค่าคงที่ โดยมีความสัมพันธ์กับค่าความร้อนของการคูดซับ และค่าความร้อนของการก่อการเป็นของเหลวของแก๊ส

$$C = e^{(q_i - q_L)RT} \quad (A2)$$

โดยที่	$q_i$ คือ ค่าความร้อนของการคูดซับของการเกิดชั้นแรก
	$q_L$ คือ ค่าความร้อนของการก่อการเป็นของเหลวของแก๊สที่มาคูดซับบนชั้นอื่นๆ ทั้งหมด

ถ้า  $q_i > q_L$  จะสอดคล้องกับ adsorption isotherm ชนิดที่ 2 แต่ถ้า  $q_i < q_L$  จะสอดคล้องกับ adsorption isotherm ชนิดที่ 3

จากสมการ เมื่อเขียนกราฟระหว่าง  $P/V(P_0-P)$  กับ  $P/P_0$  จะให้กราฟเส้นตรงที่มีความชัน (slope) เท่ากับ  $(C-1)/V_m C$  และจุดตัด (intercept) เท่ากับ  $1/V_m C$  จากค่าความชันและจุดตัดสามารถใช้หาค่า  $V_m$  และ  $C$  ได้ สมการของ BET สามารถใช้ได้กับการคูดซับจำนวนมากที่มีค่า  $P/P_0$  อยู่ระหว่าง 0.05 - 0.3 และช่วงนี้ปักติดจะใช้สำหรับวัดค่าพื้นที่ผิว เมื่อค่า  $P/P_0$  เพิ่มสูงขึ้นจะเกิดการคูดซับแบบหลายชั้น (multilayer adsorption) และ pore condensation ทำให้เส้นกราฟไม่เป็นเส้นตรง สำหรับสารที่มีรูพรุนแคนมาก ตัวอย่างเช่น สารพากซิโอลิต (Zeolite) ช่วงที่เป็นเส้นตรงที่ได้จากการพล็อต สมการของ BET จะเกิดที่ค่า  $P/P_0$  ต่ำมาก ประมาณ 0.01 หรือ น้อยกว่า

จากสมการ  $V_m = 1/(S+1)$  เมื่อ  $S$  คือ ค่าความชันซึ่งมีค่าเท่ากับ  $(C-1)/V_m C$  และ  $I$  คือ จุดตัด ที่มีค่าเท่ากับ  $1/V_m C$

$$S + 1 = \frac{1}{V_m C} [(C - 1) + 1] = \frac{1}{V_m} \quad (A3)$$

ค่าพื้นที่ผิวของตัวเร่งปฏิกิริยาสามารถคำนวณได้จาก  $V_m$  ถ้ารู้พื้นที่โดยเฉลี่ยของไมเลกุลที่มาคูดซับ

inert vapor ได้ ก็ตามที่สามารถควบคุมแน่นได้ สามารถใช้ในวิธีของ BET แต่เพื่อให้ได้ผลการวัดที่น่าเชื่อถือ ไม่เลกุลควรจะเลิกและมีลักษณะเป็นทรงกลม จะใช้ในไตรเจนเหลวเป็นตัวให้ความเย็นและใช้แก๊สในไตรเจนเป็นตัวถูกดูดซับเนื่องจากมีราคาถูกและมีความบริสุทธิ์ ในไตรเจนจะให้ลักษณะของ adsorption isotherm ชนิดที่ 2 บนผิวน้ำทึบหมด

ความดันไอยุ่อยของของแก๊สในไตรเจนจะมีค่าอยู่ในช่วงประมาณ 10 – 100 kPa เพื่อให้ได้ค่า  $P/P_0$  อยู่ในช่วง 0.05- 0.30



## B การวิเคราะห์โครงสร้างโดยกล้องจุลทรรศน์อิเล็กตรอนแบบส่องกราด (Scanning electron microscope, SEM) [23]

### B1 ส่วนประกอบและการทำงานของเครื่อง

ในเครื่อง SEM ประกอบไปด้วยส่วนประกอบหลักๆ ที่สำคัญ ดังต่อไปนี้

1. แหล่งกำเนิดอิเล็กตรอน (Electron source)
2. อิเล็กโทรแมกнетิกเลนส์ (Electro magnetic lens) หรือคลัวด์ทำหน้าที่ควบคุมการส่องกราดของลำอิเล็กตรอน
3. ปั๊มสูญญากาศและระบบควบคุมความดัน (Control pressure system)
4. ช่องใส่ตัวอย่าง (Specimen chamber)
5. ตัวตรวจสัญญาณอิเล็กตรอน (Electron signal detector)
6. อุปกรณ์สร้างภาพ (Imaging devices)

### B2 การเตรียมตัวอย่าง

ในการวิเคราะห์และการศึกษาการใช้เครื่อง SEM เพื่อให้ได้ภาพที่ดีนั้น นอกจากจะขึ้นกับประสิทธิภาพหรือความสามารถของเครื่องแล้วยังขึ้นกับชนิดของตัวอย่างและเทคนิคการเตรียมตัวอย่างที่เหมาะสมอีกด้วย ซึ่งสิ่งที่ควรคำนึงถึงในการเตรียมตัวอย่างเพื่อศึกษาโดยเครื่อง SEM มีรายละเอียดโดยสังเขปดังนี้

### B3 ประเภทตัวอย่าง

เป็นวัสดุตัวอย่างหรือผงวัสดุตัวอย่างที่เป็นของแข็งความดันต่ำมากกว่า 1 หรือเท่ากับ  $10^3$  ทอร์

### B4 ขนาด

ขนาดของตัวอย่างถูกจำกัดโดยขนาดของช่องใส่ตัวอย่าง และแทนว่างตัวอย่างของเครื่อง SEM ซึ่งแตกต่างกันแล้วแต่บริษัทและรุ่นที่ผลิต โดยในบางรุ่นอาจวางตัวอย่างขนาดใหญ่ได้ถึงประมาณ 15 ถึง 30cm อย่างไรก็ตามขอบเขตของการส่องกราดของลำอิเล็กตรอนจะจำกัดอยู่ในวงพื้นที่ไม่เกิน 4 ถึง 8cm

### B5 การเตรียมตัวอย่าง

#### - การตัดตัวอย่างบนแท่นวางตัวอย่าง

กรณีตัวอย่างเป็นชิ้นงานก้อนน้ำเข้าศึกษาในเครื่องต้องทำการตัดชิ้นงานเข้ากับก้านวางตัวอย่าง ซึ่งส่วนใหญ่ทำด้วยโลหะ มีลักษณะเป็นรูปทรงกลมมีก้านที่มีขนาดเส้นผ่านศูนย์กลางและความสูงเหมาะสมไม่ได้พอดีกับช่องวางในฐาน วางตัวอย่างและใช้สารยึดติดตัวอย่างเข้ากับก้านวางตัวอย่าง วิธีการทำโดยการทาหรือติดสารยึดติดตัวอย่างลงบนแผ่นหน้าของก้านวางตัวอย่างและติด

ตัวอ่ายงค์านที่ไม่ต้องการศึกษาลงบนแผ่นหน้าก้านวางตัวอย่าง ทิ้งให้ติดสนิทหรือแห้งดีระยะนี้ ในกรณีตัวอ่ายงไม่นำไฟฟ้า ต้องนำตัวอ่ายงนั้นไปผ่านขั้นตอนการฉาบด้วยโลหะก่อนนำໄไปศึกษา

กรณีตัวอ่ายงเป็นพองมักใช้สารยึดติดตัวอ่ายงจำพวกที่เป็นเทปการสองหน้า ติดด้านบนของก้านวางตัวอ่ายงและรอยพองตัวอ่ายงให้กระจายลงบนด้านหน้าของก้านวาง จากนั้นใช้ลงยางเป่าลมและปัดฝุ่นและเศษของพองตัวอ่ายงที่ไม่ยึดติดบนก้านวาง จากนั้นจึงนำเข้าเครื่อง SEM เพื่อทำการศึกษาต่อไป หรือทำการฉาบผิวตัวอ่ายงด้วยโลหะ กรณีตัวอ่ายงไม่นำไฟฟ้า

#### - การเคลือบ (Coating) ผิวชิ้นงาน

ในการเคลือบหรือฉาบผิวตัวอ่ายงนิยมใช้สารตัวนำไฟฟ้าจำพวกโลหะหนักที่ไม่เลกุลขนาดเล็ก เช่น คาร์บอน ทอง และ โลหะผสมทอง-พัลลาเดียม เป็นต้น โดยมีจุดประสงค์เพื่อเพิ่มสมบัติในการนำไฟฟ้าให้กับตัวอ่ายง ทั้งนี้หลักการเนื้องต้นของการฉาบผิวคือ ต้องกระทำภายใต้ภาวะสุญญากาศและให้กระแสไฟฟ้าที่เหมาะสม เพื่อให้โลหะหนักเปลี่ยนสภาพจากแท่งโลหะมาเป็นไม่เลกุล และตกลงบนผิวตัวอ่ายงในอัตราส่วนเดียวกัน ทำให้โลหะฉาบผิวตัวอ่ายงได้เป็นเนื้อเดียวกัน



## C การวิเคราะห์สมบัติทางเคมีโดยเครื่องฟูเรียร์ทรายฟอร์ม อินฟราเรดสเปกโตรมิเตอร์

### (Fourier Transform Infrared Spectrometer, FT-IR) [24]

#### C1 หลักการของเครื่อง

ฟูเรียร์ทรายฟอร์ม อินฟราเรดสเปกโตรมิเตอร์ (Fourier Transform Infrared Spectrometer) ใช้วิธีวัดที่ต่างไปจากเครื่องมือสเปกโตรสโคปทั่วไป คือ วัดความเข้มของแสงต่อความยาวคลื่น หรือ กำลังขยายที่ความยาวคลื่นต่างๆ กันอย่างต่อเนื่องเทียบกับเวลา เรียกว่า Time-domain Spectroscopy จากนั้น Time-domain spectrum จะถูกเปลี่ยนเป็น frequency-domain spectrum ด้วย Fourier transform จากการใช้คอมพิวเตอร์ สิ่งที่สเปกตรัมทั้งสองแตกต่างกันจริงๆ ก็คือ frequency-domain spectrum เป็นสเปกตรัมที่ได้จากการวัดความถี่ต่างๆ กันทีละครั้ง ในช่วงระยะเวลาอันหนึ่งแต่ Fourier transform spectrum ได้จากการวัดความถี่ต่างๆ กันพร้อมกันหมด ดังนั้น Fourier transform จึงช่วยทำให้การวิเคราะห์รวดเร็วขึ้น การแยก (resolution) ก็ดีขึ้น หรือเป็นการทำให้ signal-to-noise ratio ดีวิธีธรรมชาติ เพราะการวัดด้วยเครื่องมือรวมค่าจะเป็นแบบวัดทีละความถี่ (sequentially) แต่ FT-IR วัดที่ความถี่ต่างๆ อย่างต่อเนื่อง (simultaneously) เรียกว่า Fellgett's advantage สามารถใช้ circular entrance aperture และ entrance slit ได้ ทำให้กำลังแสงสูงขึ้นด้วย ทำให้การแยกดีขึ้น และการวิเคราะห์ง่ายและสะดวกด้วยการใช้คอมพิวเตอร์ควบคุมการทำงาน อย่างไรก็ได้ เครื่องฟูเรียร์ทรายฟอร์ม อินฟราเรดสเปกโตรมิเตอร์มีราคาแพงแต่ต้องเสียค่าใช้จ่ายในการบำรุงรักษาสูงเนื่องจากต้องเก็บในห้องควบคุมความชื้นตลอดเวลา

#### C2 การเตรียมตัวอย่าง

การวิเคราะห์สารตัวอย่างที่เป็นของแข็ง โดยไม่มีผลของตัวทำละลายหรือสารอื่นๆ ผสมอยู่เกี่ยวข้อง นั่นคือมีแต่เฉพาะตัวอย่างเท่านั้น จำเป็นจะต้องทำให้สารตัวอย่างมีลักษณะบางมากๆ เป็นฟิล์ม ที่หนาประมาณ 0.01-0.1 mm เพื่อให้แสงผ่านได้เทคนิคต่างๆ ที่เลือกใช้ขึ้นอยู่กับสมบัติทางกายภาพของสารนั้นด้วย เทคนิคต่างๆ มีดังต่อไปนี้

1. ใช้วิธีอัดและรีดให้เป็นแผ่นบางๆ ด้วยโลหะบนแผ่นโลหะเรียบ หรือแผ่นพลาสติกหรือบนแผ่นที่ลอกด้วยพลาสติกที่ทนความร้อน เมื่อนำสารตัวอย่างไปอัดและรีดจนได้แผ่นบางๆ หรืออาจให้ความร้อนในขณะอัดและรีดด้วยกีดี เทคนิคนี้เหมาะสมที่จะใช้กับสารตัวอย่างที่เป็นพลาสติก ถ้าสารตัวอย่างไม่แข็งมากนัก อาจใช้ windows 2 แผ่น รีดสารตัวอย่างกีดี แต่จะต้องระวังการแตกของ windows ด้วย

2. ใช้วิธีหลอม ถ้าสารตัวอย่างมีมวลไม่ถูกต้อง อาจหลอมเหลวได้ง่าย แล้วนำสารตัวอย่างที่หลอมเหลวเทลงไปบนแผ่นโลหะเรียบให้เป็นแผ่นบางๆ หรือเทลงไปในระหว่างแผ่น windows 2 แผ่นประกบกัน แล้วทิ้งไว้ให้เย็น

3. ในการมีที่สารตัวอย่างเป็นพากชีวสาร พลาสติก หรืออื่นๆ เป็นต้น อยู่ในรูปเป็นก้อน หรือเป็นแท่ง สามารถใช้ไมโครโทมตัดให้เป็นแผ่นบางๆ ได้

4. ใช้วิธีทำให้เป็นสารละลาย โดยให้สารตัวอย่างละลายในตัวทำละลายที่ระเหยง่ายๆ แล้วนำสารละลายนั้นเทลงบนแผ่นกระดาษ หรือแผ่นโลหะที่ขัดมัน หรือแผ่นพลาสติก หลังจากตัวทำละลายระเหยออกไปแล้ว ใช้มีดตัดแผ่นฟิล์มออกมา ถ้าสารตัวอย่างนั้นไม่ละลายน้ำ ให้นำแผ่นฟิล์มจุ่มลงในน้ำหลังจากทำให้แห้งแล้วสังเกตเห็นว่าแผ่นฟิล์มตรงกลางจะบางกว่าที่ขอบ เนื่องจากความเข้มข้นของสารละลายไม่เป็นเนื้อเดียวกัน ซึ่งสามารถแก้ไขได้โดยใช้สารละลายใหม่มีความเข้มข้นมาก ที่สุดเท่าที่จะทำได้ อย่างไรก็ตาม วิธีนี้ยังคงมีตัวทำละลายหลงเหลืออยู่อีกน้ำหนึ่งเล็กน้อย

5. ใช้ Mull technique วิธีนี้ได้รับความนิยมนากสำหรับการวิเคราะห์สารตัวอย่างที่เป็นของแข็ง ใช้สารตัวอย่าง 2-3 mg บดให้ละเอียดด้วยโกร่งอะเกրต หรือ ball mill เล็กๆ แล้วหยด Nujol ลงไป 1-2 หยด แล้วบดต่อไปจนเป็นเนื้อเดียวกัน แล้วนำสารตัวอย่างที่บดได้นี้ไปใส่ลงบน NaCl window หรือ window อย่างอื่นเพียงเล็กน้อย แล้วเอาอีกแผ่นประกน ถูกไปมาจนทั่วแผ่น นำไปใส่ใน sample holder เพื่อวิเคราะห์ต่อไป

6. ใช้ KBr-pellet technique นับว่าเป็นเทคนิคที่มีประโยชน์มากอีกเทคนิคนึง โดยใช้สารพากอัดค่าไอล์ด์ เช่น KBr ที่เป็นของแข็งผสมกับสารตัวอย่าง บดให้เข้ากันในโกร่งอะเกต แล้วนำไปอัดจะได้สารเป็นแผ่นใส สามารถนำไปวิเคราะห์ได้โดย ส่วนวิธีทำKBr-pellet ใช้สารตัวอย่างประมาณ 2.0 mg ผสมกับ KBr 100-200 mg ในโกร่งอะเกรต หรือ Ball mill แล้วบดให้ละเอียดจนเป็นเนื้อเดียวกัน ตามปกติการทำ KBr-pellet ควรให้มีสารตัวอย่างเข้มข้นประมาณ 0.1-2 % แต่ถ้าจะเปลี่ยนแปลงปริมาณได้ จึงต้องคำนึงถึงคุณภาพของสารตัวอย่างนั้น คุณภาพลินและอินฟารอด ได้ดีเพียงใด เมื่อบดดีแล้วนำไปใส่ในเครื่องอัดซึ่งเรียกว่า die หลังจากเปิดปืนคุณภาพออกประมาณ 1 นาที จึงจะเริ่มอัดด้วยเครื่องอัด ซึ่งอาจเป็น hydraulic press อัดประมาณ 10 ตัน หลังจากลดความดันและปลดปืนออก จาก die แล้ว จึงนำตัวอย่างที่เป็น pellet ใส่บางอุกมาอย่างระมัดระวัง เพราะอาจแตกหรือหักได้ จากนั้นใส่ลงใน disc holder เพื่อนำไปวิเคราะห์ต่อไป

## ประวัติคณบดีนักวิจัย

### หัวหน้าโครงการวิจัย

1. ชื่อ - นามสกุล (ภาษาไทย) นาย ไชยยันต์ ไชยยะ  
ชื่อ - นามสกุล (ภาษาอังกฤษ) Mr. Chaiyan Chaiya
2. เลขหมายบัตรประจำตัวประชาชน 3-1202-00156-44-0
3. ตำแหน่งปัจจุบัน ผู้ช่วยศาสตราจารย์ระดับ 7
4. หน่วยงานและสถานที่ที่อยู่ที่ติดต่อได้สะดวก  
สาขาวิศวกรรมเคมี คณะวิศวกรรมศาสตร์  
มหาวิทยาลัยเทคโนโลยีราชมงคลกรุงเทพ  
2 ถนนนาลงลินจี้ แขวงทุ่งมหาเมฆ เขตสาทร กรุงเทพฯ  
รหัสไปรษณีย์ 10120 โทรศัพท์ 0 2287 9600 ต่อ 1201  
E-mail address chaiyan.c@rmutk.ac.th

### 5. ประวัติการศึกษา ปริญญาเอก Ph.D.

สาขาวิชา Environmental Technology,  
Joint Graduate school of Energy and Environment  
(JGSEE), Thailand

### 6. สาขาวิชาการที่มีความชำนาญพิเศษ (แตกต่างจากภูมิการศึกษา) ระบุสาขาวิชาการ

Chemical Engineering, Activated carbon, Adsorption technology,  
Material science

### 7. ประสบการณ์ที่เกี่ยวข้องกับการบริหารงานวิจัยทั้งภายในและภายนอกประเทศไทย

#### 7.1 หัวหน้าโครงการวิจัย :

- การผลิตถ่านกัมมันต์จากการกาแฟโดยใช้ฟลูอิไดเซซัน โควน้ำ งปม. แผ่นดิน 2548
- การสังเคราะห์เส้นใยซิลิกาด้วยวิธี โซล-เจล โดยใช้เทคนิคอเล็ก trotspinning งปม. แผ่นดิน 2548
- การแยกโลหะหนักออกจากสารละลายด้วยถ่านกัมมันต์จากกระ吝ะพร้าวโดยใช้หอดูดซับแบบชั้นตึง งปม. แผ่นดิน 2549
- อิทธิพลของสารกระตุนที่มีต่อหมุนน้ำที่และประสิทธิภาพในการดูดซับ ของถ่านกัมมันต์ที่ผลิตจากกาแฟ งปม. แผ่นดิน 2550
- การผลิตใบไอดีเซลในครื่องปฏิกรณ์แบบกึ่งกระแสไฟฟ้า ใช้ตัวเร่งปฏิกรณ์แบบวิวิชพันธุ์ งปม. แผ่นดิน 2550
- การสังเคราะห์ตัวเร่งปฏิกรณ์นิกเล็อกอิไซด์แบบเส้น ไขด้วยวิธี โซล-เจล โดยใช้เทคนิค อเล็ก trotspinning สกว.

- การผลิตถ่านกัมมันต์จากเปลือกเมล็ดยางพาราโดยใช้ฟลูอิไดเซชัน ไออนน้ำ งปม.แผ่นดิน 2551

- การผลิตไบโอดีเซลจากน้ำมันพืชใช้แล้วโดยการใช้ตัวเร่งปฏิกิริยาแบบวิธีพันธุ์ งปม.แผ่นดิน 2551

- อิทธิพลของสารกระตุ้นที่มีต่อหมู่ทำหน้าที่และประสิทธิภาพในการคัดซับ ของถ่านกัมมันต์ที่ผลิตจากเปลือกเมล็ดยางพารา งปม.แผ่นดิน 2552

- การสังเคราะห์ไบโอดีเซลจากน้ำมันที่ผ่านกระบวนการทอดเนื้อหมูโดยใช้ตัวเร่งแบบวิธีพันธุ์ สนพ.2551

## 7.2 งานวิจัยที่ทำเสร็จแล้ว :

1. Chaiya C., Synthesis of Silica Fiber with Sol-Gel Method by Electro-Spinning Technique, Proceedings of the 55th Canadian Chemical Engineering Conference, Metro Toronto Convention Centre, Ontario, Canada, 2005
2. ไชยยันต์ ไชยยะ ทวีวรรณ์ เกษยอินทร์ และอุลิษา ใจเอื้อ, การสังเคราะห์ถ่านกัมมันต์จากกาแฟโดยใช้ชิงค์คลอไรค์, 2548, การประชุมสัมมนาทางวิชาการมหาวิทยาลัยเทคโนโลยีราชมงคล ครั้งที่ 21, 28-30 มีนาคม 2548, โรงแรมเชียงใหม่ภูคำ, จังหวัดเชียงใหม่
3. ไชยยันต์ ไชยยะ และ ภาวนี สายอุดม, การสังเคราะห์เส้นใยซิลิกาโดยวิธีโซล-เจลโดยใช้เทคนิคอิเล็ก trostipinnig, งานประชุมวิชาการวิศวกรรมเคมีและเคมีประยุกต์แห่งประเทศไทยครั้งที่ 15, นานาเทคโนโลยีและพลังงานกับการพัฒนาอุตสาหกรรมเคมี, 27-28 ตุลาคม 2548, มหาวิทยาลัยบูรพา, จังหวัดชลบุรี
4. ไชยยันต์ ไชยยะ และ โสธิญา นุยแก้ว, การผลิตถ่านกัมมันต์จากการกาแฟโดยใช้ฟลูอิไดเซชัน ไออนน้ำ, งานประชุมวิชาการวิศวกรรมเคมีและเคมีประยุกต์แห่งประเทศไทย ครั้งที่ 16, 26-27 ตุลาคม 2549, มหาวิทยาลัยเกษตรศาสตร์, กรุงเทพ
5. Boonamnuayvitaya V., Chaiya C. and Jarudilokkul S., Removal of heavy metals by adsorbent prepared from pyrolyzed coffee residues and clay, Separation and Purification Technology, 35, 11-22.
6. Boonamnuayvitaya V., Chaiya C. and Tanthapanichakoon W., The preparation and characterization of activated carbon from coffee residue, Journal of Chemical Engineering of Japan, 37, 1504-1512.
7. Chaiya, C. and Boonamnuayvitaya, V. 2000. The Adsorption of Heavy Metal Ions with Adsorbent Comprised of Coffee Residue, Proceedings of the 1st Asian Particle Technology Symposium, Bangkok, Thailand, 66.
8. Chaiya, C. and Boonamnuayvitaya, V. 2003. Adsorption of Toluene Vapor under Humid Condition by Activated Carbon Produced from Coffee Residue, Proceedings

- of the 2nd Regional Conference on Energy Technology Towards a Clean Environment, Phuket, Thailand, 2 : 1079-1085.
9. Chaiya, C. and Boonamnuayvitaya, V. 2003. Adsorption of Toluene Vapor under Humid Condition by Activated Carbon produced from Coffee Residue, proceedings of the Regional Conference on Advances in Petrochemicals and Polymers in the New Millennium, 22-25 July 2003, Le royal meridian hotel, Bangkok.
  10. Chaiya, C. and Boonamnuayvitaya, V. 2003. Production and Characterization of Activated Carbon from Coffee Bean Residuals, Proceedings of the Materials Development and Particle Technology (MaDPart2003), The Center of the Excellence in Particle Technology, 14 Oct 2003, Mandarin hotel, Bangkok.
  11. Chaiya, C. and Boonamnuayvitaya, V. 2003. Preparation of Activated Carbon from Coffee Residue : Characterization and Toluene Vapor Adsorption under Humidity, Proceedings of the 2nd Asian Particle Technology Symposium, Department of Chemical & Process Engineering, Universiti Kebangsaan, 16-19 Dec 2003, Penang, Malaysia.

7.3 งานวิจัยที่กำลังทำ : ชื่อข้อเสนอการวิจัย แหล่งทุน และสถานภาพในการทำวิจัยว่า

ได้ทำการวิจัยลุล่วงแล้วประมาณร้อยละเท่าใด

- การสังเคราะห์ตัวเร่งปฏิกิริยานิเกิลออกไซด์แบบเส้นไขควายวิธีโซล-เจลโดยใช้เทคนิคอลีกโตรสปินนิ่ง ศกร.ร้อยละ 95
- การผลิตถ่านกัมมันต์จากเปลือกเมล็ดยางพาราโดยใช้ฟลูอิడเชชันไอน้ำ งปม.แผ่นดิน 2551 ร้อยละ 50
- การผลิตไนโอดีเซลจากน้ำมันพืชใช้แล้วโดยการใช้ตัวเร่งปฏิกิริยาแบบวิธพันธุ์ งปม.แผ่นดิน 2551 ร้อยละ 50
- อิทธิพลของสารกระตุ้นที่มีต่อหมู่ทำหน้าที่และประสิทธิภาพในการดูดซับของถ่านกัมมันต์ที่ผลิตจากเปลือกเมล็ดยางพารา งปม.แผ่นดิน 2552 ร้อยละ 50
- การสังเคราะห์ไนโอดีเซลจากน้ำมันที่ผ่านกระบวนการกรองโดยใช้ตัวเร่งแบบวิธพันธุ์ สนพ.2551 ร้อยละ 50

## นักวิจัยคนที่ 1

1. ชื่อ - นามสกุล (ภาษาไทย) นางสาววรารගรณ์ ธนากุลรังสรรค์  
ชื่อ - นามสกุล (ภาษาอังกฤษ) MISS WARAPORN TANAKULRUNGSANK
2. เลขหมายประจำตัวประชาชน 3 1008 00092 33 7
3. ตำแหน่งปัจจุบัน ผู้ช่วยศาสตราจารย์
4. หน่วยงานที่อยู่ที่สามารถติดต่อได้สะดวก  
 สาขาวิชาวิศวกรรมเคมี คณะวิศวกรรมศาสตร์  
 มหาวิทยาลัยเทคโนโลยีราชมงคลธัญญ์  
 2 ถนนนางลินลี่ เขตสาทร กรุงเทพฯ 10120  
 โทรศัพท์ 0 2287 9734  
 โทรสาร 0 2287 9734  
 e-mail: warapornt@rmut.ac.th

## 5. ประวัติการศึกษา

ปีที่จบ การศึกษา	ระดับ ปริญญา	อักษรย่อปริญญา และชื่อเต็ม	สาขาวิชา	วิชาเอก	ชื่อสถาบัน การศึกษา	ประเทศ
2536	เอก	D. Eng. Doctor of Engineering	Catalyst Engineering	Catalyst Engineering	Kyoto University	ญี่ปุ่น
2530	โท	ว.ศ.ม. วิศวกรรมศาสตร์ มหาบัณฑิต	วิศวกรรมเคมี	วิศวกรรมเคมี	จุฬาลงกรณ์ มหาวิทยาลัย	ไทย
2521	ตรี	ว.ท.บ. วิทยาศาสตร์ บัณฑิต	เคมีวิศวกรรม	เคมีวิศวกรรม	จุฬาลงกรณ์ มหาวิทยาลัย	ไทย

6. สาขาวิชาการที่มีความชำนาญพิเศษ (แตกต่างจากผู้อื่นในการศึกษา) ระบุสาขาวิชาการ  
วิศวกรรมเคมี วิศวกรรมตัวเร่งปฏิกิริยา
7. ประสบการณ์ที่เกี่ยวข้องกับการบริหารงานวิจัยทั้งภายในและภายนอกประเทศไทย โดยระบุสถานภาพในการทำ  
วิจัยว่าเป็นผู้อำนวยการแผนงานวิจัย หัวหน้าโครงการวิจัย หรือผู้ร่วมวิจัยในแต่ละข้อเสนอการวิจัย

## 7.1 ผู้อำนวยการแผนงานวิจัย: ชื่อแผนงานวิจัย

### 7.2 หัวหน้าโครงการวิจัย: ชื่อโครงการวิจัย

7.2.1 การศึกษาการนำบัคคลพิมพ์เกิดจากไอของสารประกอบชั้ลเฟอร์โดยใช้เทคนิค XPS และ DRIFT ด้วยปฏิกริยาการใช้แสง ร่วมกับตัวเร่งปฏิกริยาไทเทเนียมนาโนเมตรที่สังเคราะห์ด้วยเทคนิคการเผาแบบเฟลมสเปรย์

7.2.2 การควบคุมโครงสร้างรูปrunขนาดเม็ดของตัวเร่งปฏิกริyanิเกลอกอกไชด์

7.2.3 การสังเคราะห์พอลิ(เมทธิลเมทาคริเลต) ที่กราฟต์บนแป้งข้าวโพด โดยใช้โพแทสเซียมเบอร์ชัลเฟตเป็นสารเริ่มปฏิกริยา

### 7.3 งานวิจัยที่ทำเสร็จแล้ว : ชื่อผลงานวิจัย ปีที่พิมพ์ การเผยแพร่และแหล่งทุน (อาจมากกว่า 1 เรื่อง)

1. การสังเคราะห์อนุภาคไทเทเนียมนาโนเมตรด้วยเทคนิคการเผาแบบเฟลมสเปรย์ การประชุม มหาวิทยาลัยเทคโนโลยีราชมงคลวิชาการ ครั้งที่ 1 ระหว่างวันที่ 27 – 23 สิงหาคม 2551 ณ โรงแรมธรรมรงค์ ชนา อำเภอเมือง จังหวัดตรัง งบประมาณประจำปี 2550
2. การสังเคราะห์พอลิ(เมทธิลเมทาคริเลต) กราฟต์บนแป้งข้าวโพด โดยใช้โพแทสเซียมเบอร์ชัลเฟต เป็นสารเริ่มปฏิกริยา การประชุมวิชาการวิศวกรรมเคมีและเคมีประยุกต์แห่งประเทศไทย ครั้งที่ 17 ระหว่างวันที่ 29 – 30 ตุลาคม 2550 ณ โรงแรม ดิเอมเพรส อำเภอเมือง จังหวัดเชียงใหม่ งบประมาณประจำปี 2550
3. การควบคุมโครงสร้างรูปrunขนาดเม็ดของตัวเร่งปฏิกริyanิเกลอกอกไชด์ งบประมาณ ผลประโยชน์ประจำปี 2549
4. การแยกโลหะหนักออกจากสารละลายด้วยถ่านกัมมันต์จากกระบวนการพิริ化 โดยใช้หอคุดชับ แบบชั้นตึง งบประมาณประจำปี 2549
5. การสังเคราะห์ตัวเร่งปฏิกริยาโลหะออกไชด์ด้วยวิธีโซล-เจลเพื่อเคลือบบนเยื่อแผ่นอะลูมินา สำหรับสังเคราะห์สารประกอบโอลีฟิน งบประมาณผลประโยชน์ประจำปี 2548 หัวหน้าโครงการ
6. การสังเคราะห์เส้นใยซิลิกาด้วยวิธีโซล-เจล โดยใช้เทคนิคօเล็กโทรสปินนิ่ง งบประมาณ ผลประโยชน์ประจำปี 2548 ผู้ร่วมวิจัย
7. การผลิตถ่านกัมมันต์จากการกากกาแฟโดยใช้ฟลูอิไดเซชัน ไอน้ำ งบประมาณผลประโยชน์ประจำปี 2548 ผู้ร่วมวิจัย
8. การสร้างอีบูลิโอมิเตอร์วัดปริมาณแอลกอฮอล์ความเข้มข้นสูง งบประมาณผลประโยชน์ประจำปี 2548 ผู้ร่วมวิจัย
9. กระถางต้นไม้จากวัสดุเหลือใช้ทางการเกษตร งบประมาณผลประโยชน์ประจำปี 2548 ผู้ร่วมวิจัย

10. การนำบัณฑิตเสียจากโรงงานอุตสาหกรรมสิ่งทอคุณภาพภูมิริยาฟโตแครเตะไอลชิต โดยใช้ไทยเนี่ย การประชุมสัมมนาทางวิชาการ สถาบันเทคโนโลยีราชมงคล ครั้งที่ 21 ระหว่างวันที่ 28 – 30 มีนาคม 2548 ณ โรงแรมเชียงใหม่ภูคำ อําเภอเมือง จังหวัดเชียงใหม่ งบประมาณประจำปี 2546 (งบวัสดุฝึก) สถาบันเทคโนโลยีราชมงคล วิทยาเขตเทคนิค กรุงเทพฯ
11. การปรับปรุงน้ำมันปาล์มดิบเป็นเชื้อเพลิงสำหรับเครื่องยนต์ดีเซลหมุนเวียน การประชุมสัมมนาทางวิชาการ สถาบันเทคโนโลยีราชมงคล ครั้งที่ 20 ระหว่างวันที่ 11 – 13 กุมภาพันธ์ 2547 ณ โรงแรมอมรินทร์ลาภุณ อําเภอเมือง จังหวัดพิษณุโลก งบประมาณประจำปี 2545 สถาบันเทคโนโลยีราชมงคล
12. การผลิตถ่านอัดก้อนจากผงถ่านแอนตราไซต์และวัสดุเหลือทิ้งทางเกษตร การประชุมสัมมนาทางวิชาการ สถาบันเทคโนโลยีราชมงคล ครั้งที่ 20 ระหว่างวันที่ 11 – 13 กุมภาพันธ์ 2547 ณ โรงแรมอมรินทร์ลาภุณ อําเภอเมือง จังหวัดพิษณุโลก งบประมาณประจำปี 2545 (งบวัสดุฝึก) สถาบันเทคโนโลยีราชมงคล วิทยาเขตเทคนิคกรุงเทพฯ
13. การศึกษาสมบัติการดูดซับของถ่านกัมมันต์. 2543 รายงานการประชุมสัมมนาทางวิชาการ สถาบันเทคโนโลยีราชมงคล ครั้งที่ 17. 3, 740-752 โครงการวิจัยและพัฒนาหน้ากากป้องกันสารพิษทางทหาร งบประมาณประจำปี 2541 กองทัพอากาศ กระทรวงกลาโหม
14. The influence of base type on the characterization of a nickel oxide catalyst formed by a sol-gel technique, 2005, Proceeding of the International Conference on Recent Advances in Mechanical & Materials Engineering (ICRAMME 05), May 30-31, 2005, Kuala Lumpur, Malaysia, Paper No. 57.
15. Modification of Crude Palm Oil to Diesel Engine Fuel, 29<sup>th</sup> Congress on Science and Technology of Thailand, October 20-22, 2003, Khon Kean, Thailand, SI-3 งบประมาณประจำปี 2545 สถาบันเทคโนโลยีราชมงคล
16. The effect of silica added on large surface area of nanocrystalline titania”, Proceeding of the 10<sup>th</sup> International Ceramics Congress: Part B, Section D Sintering Science and Technology, Florence, Italy, July 2002, p.101-108 ทุนมหาวิจัยอาวุโส สำนักงานกองทุนสนับสนุนการวิจัย (สกว.)
17. Phase transformation behavior of nanocrystalline  $\chi$ -alumina powder obtained by thermal decomposition of AIP in inert organic solvent, 2004, *Journal of Materials Science* 39 (10): 2417-2421 ทุนกาญจนากิจเอก สำนักงานกองทุนสนับสนุนการวิจัย (สกว.)
18. Synthesis of thermally stable micro spherical  $\chi$ -alumina by thermal decomposition of aluminum isopropoxide in mineral oil, 2003, *Inorganic Chemistry Communication* 6: 930-934 ทุนกาญจนากิจเอก สำนักงานกองทุนสนับสนุนการวิจัย (สกว.)

19. The influence of Si-O-Zr bonds on the crystal-growth inhibition of zirconia prepared by the glycothermal method, 2003, *Journal of Material processing Technology* 136: 186-189 ทุนกาญจนากิเมก สำนักงานกองทุนสนับสนุนการวิจัย (สกอ.)
20. Critical nanoparticle size for thermal stability, 2003, *Journal of Materials Science Letters*, 22: 1587-1589 ทุนแม่ชีวิจัยอาวุโส สำนักงานกองทุนสนับสนุนการวิจัย (สกอ.)
21. Synthesis of thermally stable micro spherical chi-alumina by thermal decomposition of aluminum isopropoxide in mineral oil, 2003, *Inor. Chem. Comm.*, 6 930-934, ทุนกาญจนากิเมก สำนักงานกองทุนสนับสนุนการวิจัย (สกอ.)
22. Effect of crystallite size and calcination temperature on the thermal stability of single nanocrystalline chromium oxide: expressed by novel correlation, 2003, *Materials Research Innovation*, 7, 118-123 ทุนแม่ชีวิจัยอาวุโส สำนักงานกองทุนสนับสนุนการวิจัย (สกอ.)
23. New correlation for the effects of the crystallite size and calcination temperature on the single iron oxide nano-crystallites, 2003, *Crystal Growth & Design*, 2 (3), 215-210 ทุนแม่ชีวิจัยอาวุโส สำนักงานกองทุนสนับสนุนการวิจัย (สกอ.)
24. Synthesis of large-surface area silica-modified zirconia by the glycothermal method, 2002, *Journal of Materials Science Letters*, 21 (18), 1461-1464 ทุนกาญจนากิเมก สำนักงานกองทุนสนับสนุนการวิจัย (สกอ.)
25. Thermal Stability of Silica-Modified Titania Ultrafine Particles Synthesized by the Glycothermal Method, 2000, *Ceramic Transactions*, 115, 643-654 ทุนแม่ชีวิจัยอาวุโส สำนักงานกองทุนสนับสนุนการวิจัย (สกอ.)
26. One pot solvothermal synthesis of thermal stable, porous silica-modified alumina powders by supercritical removal of organic solvents, 2000, *Journal of Metals, Materials and Minerals*, 9 (2), 35-54 ทุนแม่ชีวิจัยอาวุโส สำนักงานกองทุนสนับสนุนการวิจัย (สกอ.)
27. Effect of organic solvents on the thermal stability of porous silica-modified alumina powders prepared via one pot solvothermal synthesis, 2000 *Inorganic Chemistry Communication*, 3, 671-676, 2000. ทุนแม่ชีวิจัยอาวุโส สำนักงานกองทุนสนับสนุนการวิจัย (สกอ.)
28. Synthesis of large-surface area silica-modified titania ultrafine particles by the glycothermal method, 2000, *J. Material Science Letters*, 19, 1439-1443 ทุนแม่ชีวิจัยอาวุโส สำนักงานกองทุนสนับสนุนการวิจัย (สกอ.)
29. Mechanism of Diesel Exhaust Gas Abatement by Synthetic Zeolite ZSM-5, 1998, *Journal of Metals, Materials and Minerals*, 7 (2), 32-38 ทุนวิจัยบัณฑิตศึกษา จุฬาลงกรณ์มหาวิทยาลัย

30. Selective Aromatization of Propane on Metallosilicate Catalysts , 1996, Journal of Science Faculty, Chiengmai University, 23 (2), 42-49 งบประมาณประจำปี 2537 สถาบันเทคโนโลยีราชมงคล
31. Inui, T., K. Fujioka, Y. Fujii, T. Takeguchi, H. Nishiyama and W. Tanakulrungsank, "Highly Active Catalysts for Syngas Production to Methanol and More Valuable Hydrocarbons", *Study of Surface Science and Catalysis*, 1993. ผู้ร่วมวิจัย
32. Inui, T., K. Fujioka, W. Tanakulrungsank and T. Takeguchi, "Spillover Effect in Methane Reforming Reactions in Ni-based Composite Catalysts Modified with Precious Metals", *Study of Surface Science and Catalysis*, 1993. ผู้ร่วมวิจัย
33. Takeguchi, T., W. Tanakulrungsank and T. Inui, "Separation and/or Concentration of CO<sub>2</sub>-N<sub>2</sub> Gaseous Mixture by Pressure-Swing Adsorption using Metal-incorporated Microporous Crystals with High Surface Area", *Gas Separation and Purification*, 7, 3, 1993. ผู้วิจัย
34. Inui, T., S. Shibata and W. Tanakulrungsank, "Purification of O<sub>2</sub>-N<sub>2</sub> Gaseous Mixture by Pressure-Swing Adsorption using Na-A Zeolites", *Gas Separation and Purification*, 6, 185, 1992. ผู้ร่วมวิจัย

7.4 งานวิจัยที่กำลังทำ : ชื่อข้อเสนอการวิจัย แหล่งทุน และสถานภาพการทำวิจัย ว่าได้ทำการวิจัย ลุล่วงแล้วประมาณเท่าใด

7.4.1 การศึกษาการนำบัมเพิลพิย์ที่เกิดจากไอของสารประกอบซัลเฟอร์โดยใช้เทคนิค XPS และ DRIFT ด้วยปฏิกิริยาการใช้แสง ร่วมกับตัวเร่งปฏิกิริยาไทด์เนียมนาโนเมตรที่สังเคราะห์ด้วยเทคนิคการเผาแบบไฟฟลามสเปรย์ ได้รับทุนสนับสนุนงานวิจัยจากงบประมาณประจำปี 2551 หัวหน้าโครงการ ทำการวิจัยลุล่วงแล้ว 90%

## นักวิจัยคนที่ 2

1. ชื่อ นางสาวปทุมพิพิญ ตันทับทิมทอง  
Miss Pathumthip Tonhubthimthong

2. ตำแหน่งปัจจุบัน ผู้ช่วยศาสตราจารย์

3. หน่วยงานที่อยู่ที่สามารถติดต่อได้สะดวก  
สาขาวิชาศึกกรรมเคมี คณะศึกกรรมศาสตร์  
มหาวิทยาลัยเทคโนโลยีราชมงคลรังสิต  
โทรศัพท์/โทรสาร 0 2287 9734, 0 2287 9600 ต่อ 1210, 1201  
e-mail : [t.pathumthip@hotmail.com](mailto:t.pathumthip@hotmail.com)

## 4. ประวัติการศึกษา

ปีที่จบ	ระดับ	อักษรย่อ	สาขาวิชา	วิชาเอก	ชื่อสถาบัน	ประเทศ
การศึกษา	ปริญญา	และชื่อเต็ม			การศึกษา	
2545	เอก	วศ.ด.	วิศวกรรมศาสตร์	วิศวกรรมเคมี	มหาวิทยาลัยเทคโนโลยีราชมงคลรังสิต	ไทย
		คุณภูบัณฑิต			จอมเกล้าธนบุรี	
2538	โท	วท.ม.	วิทยาศาสตร์	เคมีเทคนิค	จุฬาลงกรณ์มหาวิทยาลัย	ไทย
		มหาบัณฑิต				
2531	ตรี	วท.บ.	วิทยาศาสตรบัณฑิต	เคมี	มหาวิทยาลัยเชียงใหม่	ไทย

5. สาขาวิชาการที่มีความชำนาญพิเศษ (แต่ก่อต่างจากวุฒิการศึกษา) ระบุสาขาวิชาการ  
การสกัดสารคุ้วครัวบนไครออกไซด์วิกฤตยั่งยืน การดูดซับ

6. ประสบการณ์ที่เกี่ยวข้องกับการบริหารงานวิจัยทั้งภายในและภายนอกประเทศ โดยระบุสถานภาพในการทำวิจัยว่าเป็นผู้อำนวยการแผนงานวิจัย หัวหน้าโครงการวิจัย หรือผู้ร่วมวิจัยในแต่ละเรื่อง

6.1 ผู้อำนวยการแผนงานวิจัย : ชื่อแผนงานวิจัย

6.2 หัวหน้าโครงการวิจัย : ชื่อโครงการวิจัย

ลำดับที่	ชื่อโครงการวิจัย	แหล่งทุน	ปีงบประมาณ
1	การพัฒนาระถางต้นไม้จากไยมะพร้าว	เครือข่ายงานวิจัยภาคกลาง ตอนล่าง	2547
2	การสกัดสารนิมบินจากเมล็ดสะเดา	งบประมาณผลประโยชน์	2548
3	กระถางต้นไม้ชำร่าจากวัสดุเหลือใช้ทาง การเกษตร	งบประมาณผลประโยชน์	2548
4	การผลิตกระถางเพาะชำจากธรรมชาติ	งบประมาณผลประโยชน์	2548
5	กระถางต้นไม้จากวัสดุเหลือใช้ทางการเกษตร	งบประมาณแผ่นดิน	2548
6	สกัดสารออกฤทธิ์จากฟ้าทะลายโจรด้วย かるบอนไดออกไซด์วิกฤตยังคง	งบประมาณแผ่นดิน	2549
7	การสกัดน้ำมันหอมระ夷จากไม้กฤษณา	งบประมาณแผ่นดิน	2550
8	การพัฒนาการผลิตน้ำอ่อนไทย	งบประมาณแผ่นดิน	2551
9	การพัฒนาวิธีการอบคั่วเทียน	งบประมาณผลประโยชน์	2551
10	การสกัดน้ำมันจากเมล็ดชะมดต้น ( <i>Hibiscus abelmoschus</i> Linn.)	งบประมาณแผ่นดิน	2552

### 6.3 งานวิจัยที่ทำสำเร็จแล้ว : ชื่อผลงานวิจัย ปีที่พิมพ์ การเผยแพร่ และแหล่งทุน

ปทุมพิพิญ ตันทับทิมทอง, มาริสา จินะดิษฐ์, สุรัตน์ บุญพึ่งและจริพล กลินบุญ. “การพัฒนาระถาง  
ต้นไม้จากไยมะพร้าว” (หัวหน้าโครงการ) ได้รับทุนสนับสนุนงานวิจัยจากเครือข่ายภูมิภาคกลางตอนล่าง  
ประจำปีงบประมาณ 2547.

ปทุมพิพิญ ตันทับทิมทอง. “การสกัดสารนิมบินจากเมล็ดสะเดา” (หัวหน้าโครงการ) ได้รับทุน  
สนับสนุนงานวิจัยจากการบัญชี ประจำปี 2548.

ปทุมพิพิญ ตันทับทิมทอง, สุรัตน์ บุญพึ่ง, มาริสา จินะดิษฐ์ และ วรารณ์ ธนากรุ่งสรรค์. “การ  
ผลิตกระถางเพาะชำจากธรรมชาติ” (หัวหน้าโครงการ) ได้รับทุนสนับสนุนงานวิจัยจากบัญชีประจำปีงบประมาณ  
ผลประโยชน์ ปี 2548.

สุรัตน์ บุญพึ่ง และปทุมพิพิญ ตันทับทิมทอง. “การสกัดสารออกฤทธิ์ทางยาจากพันชั่ง” (ผู้ร่วม  
วิจัย) ได้รับทุนสนับสนุนงานวิจัยจากการบัญชี ประจำปี 2548.

ปทุมพิพิญ ตันทับทิมทอง, สุรัตน์ บุญพึ่ง, มาริสา จินะดิษฐ์, วรารณ์ ธนากรุ่งสรรค์,  
ไชยยันต์ ไชยยะ และฉันท์ วงศ์ วังสะจันทน์ทัน. “กระถางต้นไม้ชำร่าจากวัสดุเหลือใช้ทางการเกษตร”  
(หัวหน้าโครงการ) ได้รับทุนสนับสนุนงานวิจัยจากการบัญชีประจำปีงบประมาณแผ่นดิน ปี 2548.

ปทุมพิพิญ ตันทับทิมทอง, โสธิยา ชิโนดม, สุรัตน์ บุญพึ่ง, มาริสา จินะดิษฐ์, ไชยยันต์  
ไชยยะ และฉันท์ วงศ์ วังสะจันทน์ทัน. “กระถางต้นไม้ชำร่าจากวัสดุเหลือใช้ทางการเกษตร” (หัวหน้า  
โครงการ) ได้รับทุนสนับสนุนงานวิจัยจากการบัญชีประจำปีงบประมาณผลประโยชน์ ปี 2548.

มาริสา จินะดิษฐ์ และปทุมพิพิญ ตันทับทิมทอง. “การผลิตกระถางต้นไม้จากเศษใบไม้”  
(ผู้ร่วมวิจัย) ได้รับทุนสนับสนุนงานวิจัยจากการบัญชีประจำปีงบประมาณผลประโยชน์ ปี 2549.

ปุ่มพิพย์ ตันทับทิมทอง และมาริสา จินะดิษฐ์. “สกัดสารออกฤทธิ์จากพืชทางการค้า ค่ารับอนไดออกไซด์วิกฤติบีบัด” (หัวหน้าโครงการ) ได้รับทุนสนับสนุนงานวิจัยจากบประมาณแผ่นดิน ปี 2549.

#### International Journal

Tonthubthimthong, P., Chuaprasert, S., Douglas, P. and Luewisuttichat, W., Wittaya Teppaitoon and La-eid Pengsopa. 2004. “Nimbin Extraction from Neem Seeds using Supercritical CO<sub>2</sub> and a Supercritical CO<sub>2</sub> -Methanol Mixture” **Journal of Supercritical fluids.** 30: 287-301.

(ผู้วิจัย)

Tonthubthimthong, P., Chuaprasert, S., Douglas, P. and Luewisuttichat, W. 2001. “Supercritical CO<sub>2</sub> Extraction of Nimbin from Neem Seeds-an Experimental Study” **Journal of Food Engineering.** 47: 289-293. (ผู้วิจัย)

#### International & Regional Conference

Tonthubthimthong, P., Ajchariyapagorn, A., Douglas, S., Douglas, P. L. and Pongamphai, S. 2005. “Simulation of Nimbin Extraction by Using Aspen Plus” **the 88<sup>th</sup> Canadian Chemistry Conference and Exhibition.** May 28-June 1. Saskatoon Centennial Convention Centre Saskatoon Saskatchewan Canada. (ผู้ร่วมวิจัย)

Tonthubthimthong, P., Chinadit, M., Boonpung, S., Supanya, C., Tanuwong, S. and Tanakulrungsank, W. 2005. “Cultivate Flowerpot Production from Agricultural Waste Materials”, **The 3rd EMSES International Symposium Eco-Energy and Material Science and Engineering Symposium.** April 6-9. Lotus Hotel Pang Suan Kaew Chiangmai Thailand. (ผู้วิจัย)

Tonthubthimthong, P., Chuaprasert, S., Douglas, P., Luewisuttichat, W., Teppaitoon, W. and Pengsopa, L. 2002. “Nimbin Extraction from Neem Seed using Supercritical CO<sub>2</sub> and a Supercritical CO<sub>2</sub> – Methanol Mixture” **International Conference on Innovations in Food Processing Technology and Engineering.** December 11 – 13. AIT Thailand. (ผู้วิจัย)

Tonthubthimthong, P., Chuaprasert, S., Douglas, P., Luewisuttichat, W., Teppaitoon W. and Pengsopa, L. 2001. “Effect of Particle Size, Methanol:CO<sub>2</sub> Ratio and Temperature on Nimbin Extraction from Neem Seeds using Supercritical CO<sub>2</sub>” **Canadian Society for Chemical Engineering 2001 Conference.** October 17. Halifax Nova Scotia Canada. (ผู้วิจัย)

Tonthubthimthong, P., Chuaprasert, S. and Luewisuttichat, W. 1999. “Extraction of Medicinal Substances from Neem Seeds using Supercritical Fluid Extraction-A Preliminary Study” **Ragional Symposium on Chemical Engineering 1999.** November 22-24. B.P. Smilar Beach Hotel Songkla Thailand. (ผู้วิจัย)

### Local Conference

ปทุมพิพิช ต้นทับทิมทอง, 2551, “การสกัดน้ำมันหอมระ夷จากไม้กฤษณา” มหาวิทยาลัยเทคโนโลยีราชมงคลวิชาการ ครั้งที่ 1 “ถ่ายทอดงานวิจัยสู่สังคม เพื่อการพัฒนาอย่างยั่งยืน”, 27–29 สิงหาคม, โรงแรมรินทร์ ธนา จังหวัดรังสิต.

ปทุมพิพิช ต้นทับทิมทอง, 2550, “เทคนิคการสกัดสารนิมบินจากเมล็ดสะเดา” การประชุมวิชาการชุมชนคณะปฏิบัติงานวิทยาการ อพ.สธ. ครั้งที่ 3 “ทรัพยากรไทย : ประโยชน์แท้แก่นหาด”, 30 ตุลาคม – 2 พฤศจิกายน 2550, ณ อาคารพิพิธภัณฑ์ธรรมชาติวิทยาศาสตร์และทะเลไทย เข้ามาขอ อำเภอสัตหีบ จังหวัดชลบุรี.

เจณณा ณีพงษ์สวัสดิ์, สุชาวดี วาสิกนุตร, ปทุมพิพิช ต้นทับทิมทอง และมาริสา จินะดิษฐ์. 2550. “การสกัดสารออกฤทธิ์ทางยาจากพื้นาทีโดยด้วยการบอนไดออกไซด์วิคตบัดยิ่ง” การประชุมวิชาการ ครั้งที่ 45 มหาวิทยาลัยเกษตรศาสตร์. 30 มกราคม - 2 กุมภาพันธ์. มหาวิทยาลัยเกษตรศาสตร์ วิทยาเขตบางเขน.

(ผู้วิจัย)

ปทุมพิพิช ต้นทับทิมทอง, มาริสา จินะดิษฐ์, สุรัตน์ บุญพิ่ง, วรารณ์ ชนะกุลรังสรรค์, ธิดารัตน์ มนติร์ และอุษาวดี ไม้คง. 2548. “การผลิตกระถางต้นไม้จากวัสดุเหลือใช้ทางเกษตร” การประชุมสัมมนาทางวิชาการ สถาบันเทคโนโลยีราชมงคล ครั้งที่ 21. 28–30 มีนาคม. โรงแรมเชียงใหม่ ภูคำ อำเภอเมือง จังหวัดเชียงใหม่. (ผู้วิจัย)

ชชวนาย์ สุขมั่น, ปทุมพิพิช ต้นทับทิมทอง, กฤณณ์ ห่วงเจริญกุลชัย และ คุณเดช งามสมจิต. 2548. “การศึกษาสภาพที่เหมาะสมในการผลิตไวน์สีระแหง” การประชุมสัมมนาทางวิชาการ สถาบันเทคโนโลยีราชมงคล ครั้งที่ 21. 28–30 มีนาคม. โรงแรมเชียงใหม่ ภูคำ อำเภอเมือง จังหวัดเชียงใหม่. (ผู้ร่วมวิจัย)

ปทุมพิพิช ต้นทับทิมทอง, จุฑาลักษณ์ จิระรัตนกุล และ ประทุมรัตน์ แสนพล. 2547. “การปรับปรุงคุณภาพของเป็นมันสำปะหลัง โดยการดัดแปลงด้วยสารโซเดียมไนโตรฟอสเฟต” การประชุมสัมมนาทางวิชาการ สถาบันเทคโนโลยีราชมงคล ครั้งที่ 20. 11–13 กุมภาพันธ์. โรงแรมอมรินทร์ ลากูน อำเภอเมือง จังหวัดพิษณุโลก. (ผู้วิจัย)

ปทุมพิพิช ต้นทับทิมทอง, สุภากรณ์ เชื้อประเสริฐ, วีໄล ลีอิวสุทธิชาติ, วิทยา เทพไพบูลย์ และ ละเอียด เพ็งโสภา. 2546. “การสกัดนิมบินจากเมล็ดสะเดาโดยใช้การบอนไดออกไซด์วิคตบัดยิ่งบัดและ การบอนไดออกไซด์-เมทานอลวิคตบัดยิ่งบัด” การประชุมวิชาการและงานแสดงผลิตภัณฑ์วิทยาศาสตร์ และ เทคโนโลยีแห่งประเทศไทย ครั้งที่ 29. 20–22 ตุลาคม. ศูนย์ประชุมเอนกประสงค์กาญจนากิจเอก มหาวิทยาลัยขอนแก่น จังหวัดขอนแก่น. (ผู้วิจัย)

ปทุมพิพิช ต้นทับทิมทอง, สุภากรณ์ เชื้อประเสริฐ, วีໄล ลีอิวสุทธิชาติ, วิทยา เทพไพบูลย์ และ ละเอียด เพ็งโ沙发上. 2545. “การสกัดนิมบินจากเมล็ดสะเดาโดยใช้การบอนไดออกไซด์วิคตบัดยิ่งบัด : ผลของ ขนาดอนุภาค, อัตราส่วนระหว่างเมทานอลต่อสารบอนไดออกไซด์ และอุณหภูมิ” การประชุมวิชาการวิศวกรรมเคมีและเคมีประยุกต์แห่งประเทศไทย ครั้งที่ 12. 8–9 พฤศจิกายน. โรงแรมโซล ทวิน ทาวเวอร์ กรุงเทพฯ. (ผู้วิจัย)

ปทุมทิพย์ ตันทับทิมทอง, สุภากรณ์ เชื้อประเสริฐ และ วีໄໄ ลือวิสุทธิชาติ. 2543. “การศึกษา  
สภาวะที่เหมาะสมในการสักดิษณารนิมบินจากแม่ด็ดสะเค้าโดยใช้การบ่อน ได้ออก “ใช้คิดกุตยิ่งယวด” การประชุม<sup>1</sup>  
วิชาการวิศวกรรมเคมีและเคมีประยุกต์แห่งประเทศไทย ครั้งที่ 10. 26–28 ตุลาคม. ไนท์ บางนา กรุงเทพฯ.  
(ผู้วิจัย)

6.4 งานวิจัยที่กำลังทำ : ชื่อข้อเสนอการวิจัย แหล่งทุน และสถานภาพในการทำวิจัยว่าได้ทำการวิจัย  
ถูกต้องแล้วประมาณร้อยละเท่าใด

ปทุมทิพย์ ตันทับทิมทอง, มาริสา จินะดิษฐ์, ไชยยันต์ ไชยยะ และชัชวาลย์ สุขมั่น. “การสักดิ์  
นำมันหอมระ夷จากไม้กฤษณา” (หัวหน้าโครงการ) ได้รับทุนสนับสนุนงานวิจัยจากงบประมาณแผ่นดิน ปี  
2550 ทำการวิจัยถูกต้องแล้วประมาณ 90 %

ปทุมทิพย์ ตันทับทิมทอง และนันทวรรณ กลืนจำปา. “พัฒนาการผลิตน้ำอ่อนไทย” (หัวหน้าโครงการ)  
ได้รับทุนสนับสนุนงานวิจัยจากงบประมาณแผ่นดิน ปี 2551 ทำการวิจัยถูกต้องแล้วประมาณ 70 %

ปทุมทิพย์ ตันทับทิมทอง, นันทวรรณ กลืนจำปา และไชยยันต์ ไชยยะ.“การพัฒนาวิธีการอบควัน  
เทียน” (หัวหน้าโครงการ) ได้รับทุนสนับสนุนงานวิจัยจากงบประมาณผลประโยชน์ ปี 2551 ทำการวิจัยถูกต้อง  
แล้วประมาณ 60 %

